

საქართველოს ტექნიკური უნივერსიტეტი

GEORGIAN TECHNICAL UNIVERSITY

ГРУЗИНСКИЙ ТЕХНИЧЕСКИЙ УНИВЕРСИТЕТ

---

---

ISSN 1512-0996

გ რ მ ა გ ბ 0  
TRANSACTIONS  
Т Р У Д Ы

№2(492)



03000 – TBILISI – ТБИЛИСИ  
2014

## **სარედაქციო კოლეგია:**

ა. ფრანგიშვილი (თავმჯდომარე), ლ. ქლიმიაშვილი (თავმჯდომარის მოადგილე), ზ. გასიტაშვილი (თავმჯდომარის მოადგილე), ა. აბრალავა, გ. აბრამიშვილი, ა. აბშილავა, თ. ამბროლაძე, ქ. ბარათაშვილი, თ. ბაციკაძე, ჯ. ბერიძე, თ. გაბადაძე, ჯ. გახოკიძე, თ. გელაშვილი, ა. გიგინეგიშვილი, ალ. გრიგორიძე, ე. ელიზარაშვილი, ს. ესაძე, ვლ. ვარდოსანიძე, უ. ზვიადაძე, თ. ზუმბურიძე, დ. თავეგლიძე, ბ. იმნაძე, ი. კვეთელავა, ტ. კვიციანი, ზ. კიბაძე, თ. ლომინაძე, ი. ლომიძე, ბ. მაცაბერიძე, თ. მეგრელიძე, მ. მესხი, ა. მოწონელიძე, ლ. მძინარიშვილი, დ. ნატროშვილი, ნ. ნაცვლიშვილი, შ. ნემსაძე, დ. ნოვაძე, გ. სალუქევაძე, ქ. ქოქრაშვილი, ე. ქუთელია, ა. შარვაშიძე, მ. ჩეიძე, ზ. წვერაიძე, თ. ჯაგოდნიშვილი, თ. ჯიშკარიანი.

## **EDITORIAL BOARD:**

A. Prangishvili (chairman), L. Klimiashvili (vice-chairman), Z. Gasitashvili (vice-chairman), A. Abralava, G. Abramishvili, A. Abshilava, T. Ambroladze, E. Baratashvili, T. Batsikadze, J. Beridze, M. Chkheidze, E. Elizbarashvili, S. Esadze, T. Gabadadze, J. Gakhokidze, O. Gelashvili, A. Gigineishvili, Al. Grigolishvili, B. Imnadze, T. Jagodnishi, T. Jishkariani, Z. Kiknadze, K. Kokrashvili, E. Kutelia, I. Kveselava, T. Kvitsiani, T. Lominadze, I. Lomidze, M. Matsaberidze, L. Mdzinariashvili, T. Megrelidze, M. Meskhi, A. Motzonelidze, D. Natroshvili, N. Natsvlishvili, Sh. Nemsadze, D. Nozadze, G. Salukvadze, A. Sharvashidze, D. Tavkhelidze, Z. Tsveraidze, Vl. Vardosanidze, O. Zumburidze, U. Zviadadze.

## **РЕДАКЦИОННАЯ КОЛЛЕГИЯ:**

А.И. Прангишвили (председатель), Л.Д. Климиашвили (зам. председателя), З.А. Гаситашвили (зам. председателя), А.Г. Аbralава, Г.С. Абрамиашвили, А.В. Абшилава, Т.А. Амброладзе, Е.Ш. Бараташвили, Т.В. Бацикадзе, Дж.Л. Беридзе, Вл.Г. Вардосанидзе, Т.Г. Габададзе, Дж.В. Гахокидзе, О.Г. Гелашвили, А.В. Гигинеишвили, Ал.Р. Григолишвили, Т.А. Джагоднишвили, Т.С. Джишакариани, У.И. Звиададзе, О.Г. Зумбуридзе, Б.Л. Имнадзе, И.С. Квеселава, Т.А. Квициани, З.Г. Кикнадзе, К.А. Кокрашвили, Е.Р. Кутелия, И.Б. Ломидзе, Т.Н. Ломинадзе, М.И. Мацаберидзе, Л.Д. Мдзинариашвили, Т.Я. Мегрелидзе, М.А. Месхи, А.Н. Моционелидзе, Д.Г. Натроши, Н.В. Нацвалишвили, Ш.А. Немсадзе, Д.А. Нозадзе, Г.Г. Салуквадзе, Д.Д. Тавхелидзе, З.Н. Цвераидзе, М.М. Чхеидзе, А.М. Шарвашидзе, Э.Н. Элизбарашвили, С.Ю. Эсадзе.



საგამომცემლო სახლი „ტექნიკური უნივერსიტეტი“, 2014

Publishing House “Technical University”, 2014

Издательский дом “Технический Университет”, 2014

<http://www.gtu.ge/publishinghouse/>



Verba volant,  
scripta manent

## ლალი ბოდელიანი – სახელმწიფო მეცნიერი და პირსეული აღმზრდელი



საქართველოს სამეცნიერო, საინჟინრო საზოგადოება განსაკუთრებული სიობოთი და პატივისცემით მიესალმება პიდროტექნიკური დარგის გამოჩენილ მეცნიერსა და მკვლევარს, ინჟინერთა მრავალი თაობის აღმზრდელს, ეროვნული უმაღლესი განათლების ოვალსაჩინო მოდგაწესა და ორგანიზატორს, ტექნიკურ მეცნიერებათა დოქტორს, პროფესორ ლალი ლოდელიანს გაზაფხულის ამ უმშვენიერეს და ულამაზეს დღეს, რომელიც მისი ღრმად შინაარსიანი და სამაგალითო ბიოგრაფიის დამამშვენებელი დღეა. ქალბატონმა ლალიმ, რომელიც საყოველთაოდ ცნობილ და ტრადიციულ ქართულ ოჯახში აღიზარდა, საამაურ ცხოვრებისეული გზა განვლო და უანგარო საქმიანობით მრავალ თაობას ქვეყნისა და ხალხის ერთგულების სანიმუშო მაგალითი უჩვენა.

საშუალო სკოლის წარჩინებით დამთავრების შემდეგ, საქართველოს პოლიტექნიკური ინსტიტუტის სამშენებლო ფაკულტეტზე ინჟინერ-პიდროტექნიკოსის უმაღლესი განათლება მიიღო, რის შემდეგაც მუშაობდა საქართველოს მელიორაციისა და წყალთა მეურნეობის საპროექტო ინსტიტუტ „საქსახწყალპროექტში“ ინჟინრად, 1969-1971 წწ. კი – ამიერკავკასიის სამეცნიერო-კვლევით ინსტიტუტ „პიდრომეტეოროლოგიის“ პიდროლოგიის განყოფილების ინჟინრად და უმცროს მეცნიერ თანამშრომლად. სწორედ ამ პერიოდში მეცნიერებაში გადადგმული პირველი ნაბიჯები აღმოჩნდა ახალგაზრდა მკვლევრისათვის განსაკუთრებით ნაყოფიერი, რაც, საბოლოოდ, 1974 წელს საკანდიდატო დისერტაციის დაცვით დაგვირგვინდა. ამავე წელს იგი მიწვეულია საქართველოს პოლიტექნიკური ინსტიტუტის სამშენებლო ფაკულტეტის პიდრავლიკის კათედრის ასისტენტად, სადაც შემდგომ წლებში გაიარა გზა დოცენტამდე. 1993 წელს მან წარმატებით დაიცვა დისერტაცია და მოიპოვა ტექნიკურმეცნიერებათა დოქტორის სამეცნიერო ხარისხი, მალევე მას ამავე კათედრის პროფესორის წოდება მიენიჭა, რაც ქალბატონი ლალის სამეცნიერო-პედაგოგიური საქმიანობის საყოველთაო აღიარება გახლდათ. პარალელურად იგი 1998-2002 წწ. ქნერგეტიკისა და პიდროსაინჟინრო სამეცნიერო-კვლევით ინსტიტუტში იყო სადისერტაციო საბჭოს წევრი. 1997 წელს პროფესორი ლ. ლოდელიანი ერთსულოვნად აირჩიეს პიდროსაინჟინრო ფაკულტეტის დეკანად და სადისერტაციო საბჭოს თავმჯდომარედ. ამ საპატიო თანამდებობებზე მან 2005 წლამდე იღვაწა და მნიშვნელოვანი სამუშაოები შეასრულა ფაკულტეტზე სასწავლო და სამეცნიერო საქმიანობის რეფორმირებისათვის, ტექნიკურ-ტასის საერთაშორისო პროექტების განხორციელებით.

საქართველოს ტექნიკური უნივერსიტეტის ცხოვრებაში განსაკუთრებულ მოვლენად იქცა პროფესორ ლ. ლოდელიანის ხელმძღვანელობით გალერეა „უნივერსის“ დაფუძნება, რომელიც უნივერსიტეტის პროფესიული განვითარების, მეცნიერებისა და კულტურის საერთაშორისო ეროვნულ ცენტრად იქცა და, რომელსაც იგი დღევანდლამდე წარმატებით უძღვება. ქალბატონი ლალი არის 10-ზე მეტი საერთაშორისო პროექტის კოორდინატორი, რითაც უდიდესი წვლილი შეიტანა ქვეყანაში უმაღლესი საინჟინრო განათლების კველა საფეხურზე თანამედროვე საერთაშორისო სტანდარტების დამკვიდრებაში. მისმა პროფესიონალიზმა განაპირობა ის, რომ 2005 წლიდან დღემდე პროფესორი ლ. ლოდელიანი საქართველოს ტექ-

ნიკური უნივერსიტეტის რეფორმებისა და განათლების საკორდინაციო საბჭოს კოორდინატორი გახდავთ. ამ პერიოდიდან დღემდე ქალბატონი ლალი ეროვნული გამოცდების საპროცედურო კომისიისა და საქართველოს პარლამენტის სოციალური კომიტეტის წევრია.

2005 წლიდან დღემდე სამშენებლო ფაკულტეტის პიდროსაინჟინრო დეპარტამენტს ხელმძღვანელობს, ხოლო 2006 წლიდან დღემდე პროფესიული განვითარების ცენტრის დირექტორია.

პროფესორი ლ. ლოდელიანი 100-ზე მეტი სამეცნიერო ნაშრომის, 3 მონოგრაფიისა და 3 სახელმძღვანელოს ავტორია. მის საერთაშორისო ავტორიტეტზე მეტყველებს ის, რომ არჩეულია რუსეთის საბუნებისმეტყველო მეცნიერებათა აკადემიის ნამდვილ წევრად, Sigma-Xi ამერიკელ მეცნიერთა საერთაშორისო ასოციაციის წევრად, საქართველოს საინჟინრო აკადემიის, საქართველოს ენერგეტიკის აკადემიის, საერთაშორისო ეკოლოგიური აკადემიის, პიდრაგლიკოსთა საერთაშორისო ასოციაციის, მეცნიერ და ინჟინერ ქალთა საერთაშორისო ასოციაციის (IWISE) წევრად. განსაკუთრებით აღსანიშნავია ქალბატონი ლალის მრავალწლიანი ნაყოფიერი მოღვაწეობა საქართველოს ტექნიკური უნივერსიტეტის აკადემიური საბჭოს შემადგენლობაში, სადაც იგი ნებისმიერ რთულ საკითხზე გაბედულად გამოთქვამს თავის პრინციპულ შეფასებასა და საქმიან წინადადებებს. უდიდესი როლი შეასრულა მეცნიერის საქმიანობამ მსოფლიოს მოწინავე უნივერსიტეტებთან საქართველოს ტექნიკური უნივერსიტეტის დაახლოებისა და მათი გამოცდილების გაზიარების თვალსაზრისით. განსაკუთრებით აღსანიშნავია აშშ-ში საყოველთაოდ ცნობილ აოვას უნივერსიტეტისა და საქართველოს ტექნიკური უნივერსიტეტის საქმიანი კონტაქტების განსახორციელებლად გაწეული ძალისხმევა. ახლახან გაფორმდა ამ ორ უნივერსიტეტს შორის ურთიერთობანამშრომლობის მემორანული ახალი ვადით, რაც დიდად წაადგება ჩვენს ქვეყანაში აგრარული დარგების განვითარებასა და სოციალური პრობლემების მოგვარებას.

ნაყოფიერი სამეცნიერო-პედაგოგიური მოღვაწეობისათვის პროფესორი ლ. ლოდელიანი დაჯილდოებულია „ლირსების ორდენით“ და „ლირსების მედლით“. ყველაზე დიდ ჯილდოდ ქალბატონი ლალი მიიჩნევს იმ სითბოსა და პატივისცემას, რასაც მის მიმართ გულწრფელად ავლენენ კოლეგები და სტუდენტები, ყველა ვინც კი მასთან თანამშრომლობს და დაუდალავად შრომობს.

არაჩვეულებრივი სულიერებით საქსე და უმაღლესი დირსებით შემკული ოჯახის დედაბობი გახდავთ ქალბატონი ლალი და ეს არის მისი ყველაზე დიდი ბედნიერება.

პროფესორ ლალი ლოდელიანის დვაწლი ფასდაუდებელია, უპირველეს ყოვლისა, მისი საქვეუნო მნიშვნელობით.

დღეგრძელობასა და ახალ გამარჯვებებს გისურვებთ, ქალბატონო ლალი, ჩვენი ქვეყნის მშობლიური უნივერსიტეტისა და ოქვენი ულამაზესი ოჯახის საკეთილდღეოდ.

საქართველოს ტექნიკური უნივერსიტეტი  
საქართველოს საინჟინრო აკადემია  
საქართველოს ენერგეტიკის აკადემია

**მეტალურგიიდან ჩართველობიამდე  
(პროფ. რაულ ბვეტაძე – 80)**



ცნობილ მეტალურგსა და ქართველოლოგს, ტექნიკის მეცნიერებათა დოქტორს, საქართველოს ტექნიკური უნივერსიტეტის სრულ პროფესორ რაულ გვეტაძეს, 2014 წლის მაისში 80 წელი შეუსრულდა.

რ. გვეტაძე 1952-1957 წლებში საქართველოს პოლიტექნიკური ინსტიტუტის პრდეპრიზმანის განისაზღვდა. მან 1957 წელს ფრიადზე დაამთავრა საქართველოს პოლიტექნიკური ინსტიტუტის მეტალურგიის ფაკულტეტი ინჟინერ-მეტალურგის სპეციალობით.

მან შრომითი საქმიანობა ქუთაისის საავტომობილო ქარხანაში დაიწყო, შემდეგ მუშაობდა თბილისის ქარხანა „ცენტროლიტში“. 1960 წლიდან დღემდე პედაგოგიურ და სამეცნიერო მუშაობას ეწევა საქართველოს ტექნიკურ უნივერსიტეტში.

1973-1983 წწ. რ. გვეტაძე სამსხმელო წარმოების კათედრის გამგის თანამდებობაზე მუშაობდა. იგი საქართველოს ტექნიკური უნივერსიტეტის სამსხმელო ლაბორატორიის დამაარსებელია, სადაც დღემდე ხდება საკონსტრუქციო და მხატვრული სხმულების წარმოება. რ. გვეტაძემ აღმოაჩინა გამორჩეული თვისებების საკონსტრუქციო მასალა – მაღალი სიმტკიცის დეფორმირებადი თუკი, რომელიც ტრადიციული თუკისგან განსხვავებით გამოირჩევა პლასტიკური დეფორმაციის უნარით.

პროფ. რ. გვეტაძე ერუდირებული ინჟინერია, არის მნიშვნელოვანი პროექტების ავტორი, ფლობს ქართულ, რუსულ და ფრანგულ ენებს. ტექნიკის დარგში გამოქვეყნებული აქვს 100-ზე მეტი სამეცნიერო ნაშრომი. მისი ნაშრომები გამოქვეყნებულია ქართულ, რუსულ და ინგლისურ ენებზე უცხოურ და საერთაშორისო, აღიარებულ გამოცემებში, მონაწილეობდა საერთაშორისო და ადგილობრივ სამეცნიერო კონფერენციებში. არის 7 მეცნიერებათა დოქტორისა და 2 მაგისტრანტის კონსულტანტი. პროფ. რ. გვეტაძე არის 17 გამოგონებისა და პატენტის ავტორი.

რუსთავის ქარხანა „ხალიბში“ მან შექმნა 8-ტონიანი თუკის ბოჭვების ჩამოსხმის ტექნოლოგია, ხოლო თბილისის ქარხანა „ცენტროლიტში“ მძიმე სხმულების (3-10ტ) ჩამოსხმის ახალი ტექნოლოგია. პროდუქცია იგზავნებოდა საპორტო ამწევების მწარმოებელ ცნობილ იტალიურ ფირმა „ფანტუციში“.

კაცობრიობის განვითარებაში ქართული ეთნოსის განსაკუთრებული კულტურული წელი და მეტალურგიასა და დამწერლობასთან იყო დაკავშირებული. ამან განაპირობა ის, რომ მეტალურგიაში წარმატებული მეცნიერი დაინტერესდა ქართული დამწერლობათმცოდნეობის პრობლემატიკით, ეპიგრაფიკული ძეგლებით, ქართული კულტურული მემკვიდრეობით.

რ. გვეტაძე თვლის, რომ დღეს უკვე თამამად შეგვიძლია ვაცნობოთ მსოფლიოს საზოგადოებას, რომ ქართული ასომთავრული ანბანი ანტიკური ეპოქის ქართული ცივილიზაციის

საკაცობრიო მნიშვნელობის შედევრია, რადგან მასში მოიპოვება ენციკლოპედიური ხასიათის ცნობები ასტრონომიის, მათემატიკის, ქრონოლოგიისა და თეოლოგიის დარგებში და, ამდენად, ის მართლაც ქართული მწიგნობრობის უბადლო ძეგლია.

ქართველებს ოდითგანვე პქონდათ არა მარტო საკუთარი დამწერლობა, არამედ ასტრონომიულ ციკლებზე დაფუძნებული ეროვნული წელთაღრიცხვის სისტემაც.

წარმატებული მეცნიერი ლირსეული ოჯახის ბურჯია. მას პყავს შესანიშნავი მეუღლე, 3 შვილი, 8 შვილიშვილი და 1 შვილთაშვილი.

იუბილარს, პროფესორ რაულ გვერდეს, ვუსურვებთ ჯანმრთელობას, ხანგრძლივ სიცოცხლეს და წარმატებას მეტალურგიიდან ქართველოლოგიამდე კვლევა-ძიების ჭეშმარიტებისაპერ მიმავალ გზაზე.

*ქიმიური ტექნიკოლოგიისა და მეტალურგიის ვაკუუმტექნიკი*

# შინაგასი

## მშენებლობა

ლ. გალდავა. ბეტონის ბრავიტაციული კაშხლის დაძაბულ-დეფორმირებული მდგრმარეობა წყალსაცავის ჰსკერზე ჰიდროსტატიკური წევის ბათვალისწილებით.....	9
ა. მოწონელიძე, ლ. გალდავა. ნელი სტატიკური ციკლური დატვირთვის გავლენა სეჭრის ბრავიტაციული კაშხლის სიმარტვეს.....	12
დ. კუჭუხიძე, ნ. მურჯულია, ს. გიურგაშვილი. სათბობის ეკონომიკა საქართველოს არაბაზიზიცირებულ რეგიონებში ადგილობრივი მყარი საწვავით მოშვავი გათბობის მაღალებების გამოყენებით .....	17

## სამორ საქმე და გეოლოგია

ნ. ქაჯაია, ნ. ჯაფარიძე, შ. ჯანაშვილი. საყდრისის კვირაცხეოვლის შპნის ოქროს მინერალიზაციის ცვალებადობის მათემატიკური მოდელირება .....	21
--	----

## ქიმიური ტექნოლოგია, მეტალურგია

ო. მიქაელი, ა. კანდელაკი, ი. ნახუცრიშვილი, ნ. მაისურაძე, გ. მიქაელი. ცერიუმის გავლენა ძრომალუმინიანი მხურვალმილები ზოლადის მაღალტემატიკურულ კოროზიაზე.....	28
ა. თუთბერიძე, კ. პაპავა, ს. მებონია. საწარმოო კიროგებში საიმედო ექსაერიმენტის დაგებმვის მეთოდიკის შესახებ.....	32

## სატრანსპორტო, მანქანათმშენებლობა

გ. ტყეშელაშვილი, ა. მებონია. ეკონომიკური სუბიექტების კონკურენციული კოლიტიკა და მისი როლი მცხვნის ეკონომიკის განვითარებაში .....	36
თ. მეგრელიძე, ვ. ლვაჩლიანი, გ. გუგულაშვილი, ე. სადაღაშვილი, ბ. ლვაჩლიანი. მცხოვრილი ცენტრული სამსახურის მრავალკომპონენტიანი საკვებ-სამკურნალო კონდუქტორის მიღების გაუმჯობესების გზები.....	40
თ. მეგრელიძე, გ. მეგრელიძე, რ. გახოკიძე, ვლ. თალაკვაძე, გ. ბასილაძე. სამაცივრო კამერის ჰაერში რობონის კონცენტრაციის და მოქმედების ხანგრძლივობის გავლენა ხილისა და ბოსტნეულის ცივად შენახვის პროცესზე .....	44
ზ. ჯაფარიძე, მ. ხოშტარია. მუხის კასრში საკონიაკე საირტის დამველების ექსტრაქციული პროცესის კინეტიკა.....	48

## არქიტექტურა, ურბანისტიკა, დიზაინი

თ. ქუთათელაძე, გ. ბაგრატიონ-დავითაშვილი. თბილისის არქიტექტურა XIX-XX საუკუნეების მიჯნაზე.....	51
--	----

## **პიზენისიშვილინგი**

<b>ა. კობიაშვილი, ნ. ფაილოძე, კ. რამაზაშვილი.</b> ავტომატიზაციის ეფექტურობა წარმოების სფეროში.....	55
<b>06 ფორმატიდა, მართვის სისტემები</b>	
<b>თ. ფალავა, ნ. მაისურაძე, მ. ბერიძე, ი. კალანდაძე, ნ. ესიავა.</b> მაღალენერგეტიკული პროცესებით დასხივებული პრისტალების გამოკვლევა ჭოტო-ჰოლის ეფექტის მეთოდი.....	61
<b>მ. მეცხვარიშვილი, მ. ბერიძე, ი. კალანდაძე, ქ. ბარამიძე.</b> სტრონციუმის გარბონატის ნაზილაკების გავლენა სამარიუმის მანგანიტის მაგნიტურ თვისებებზე .....	68
<b>ავტორთა საძიებელი</b> .....	71
<b>ავტორთა საყურადღებოდ</b> .....	72

# CONTENTS

## BUILDING

<b>L. Galdava.</b> STRAINED-DEFORMATED CONDITION OF CONCRETE GRAVITATION DAM TAKING INTO ACCOUNT THE HYDROSTATIC PRESSURE AT THE BOTTOM OF RESERVOIR.....	9
<b>A. Motsonelidze, L. Galdava.</b> EFFECT OF SLOW STATIC CYCLIC LOADING ON THE STRENGTH OF A CONCRETE GRAVITY DAM .....	12
<b>D. Kutchukhidze, N. Murghulia, S. Giutashvili.</b> FUEL ECONOMY BY USING SOLID FUEL HIGH-EFFICIENCY HEATING BOILERS WITHIN NON-GASIFIED AREAS OF GEORGIA.....	17

## MINING AND GEOLOGY

<b>N. Kajaia, N. Japaridze. Sh. Janashvili.</b> MATHEMATICAL MODELING OF THE VARIATION OF GOLD MINERALIZATION IN THE AREA OF KVIRATSKHOVELI AT SAKDRISI ORE DEPOSIT.....	21
--	----

## CHEMICAL TECHNOLOGY, METALLURGY

<b>O. Mikadze, A. Kandelaki, I. Nakhutsrishvili, N. Maisuradze, G. Mikadze.</b> INFLUENCE OF CERIUM ON THE HIGH TEMPERATURE CORROSION OF CHROMIUM-ALUMINIUM HEAT-RESISTING STEEL.....	28
<b>A.Tutberidze, K. Papava, S. Mebonia.</b> ON THE METHODS OF PLANNING A RELIABLE EXPERIMENT IN PRODUCTION CONDITIONS .....	32

## TRANSPORT, MECHANICAL ENGINEERING

<b>G. Tkeshelashvili, A.Mebonia.</b> COMPETITION POLICY OF ECONOMIC SUBJECTS AND ITS ROLE IN DEVELOPMENT ECONOMY OF COUNTRY.....	36
<b>T. Megrelidze, V. Gvachiani, G. Gugulashvili, E. Sadagashvili, B. Gvachiani.</b> MANY-COMPONENT NUTRITIVE-MEDICAL PRODUCTS RECEIVING IMPROVEMENT WAYS FROM VEGETABLE RAW MATERIALS.....	40
<b>T.Megrelidze, G.Megrelidze, R.Gakhokidze, V.Talakvadze, G.Basiladze.</b> INFLUENCE OF OZONE CONCENTRATION IN THE AIR OF REFRIGERATION CAMERA AND ACTION CONTINUANCE ON FRUITS AND VEGETABLE COOL KEEPING PROCESS .....	44
<b>Z. Japaridze, M. Khoshtaria.</b> THE KINETICS OF THE EXTRACTION PROCESS WITH THE COGNAC ALCOHOL EXPOSURES IN OAK BARRELS.....	48

**ARCHITECTURE, URBANISTICS, DESIGN**

<b>T. Kutateladze, G. Bagration-Davitashvili.</b> TBILISI'S ARCHITECTURE ON THE EDGE OF XIX-XX CENTURIES.....	51
--	----

**BUSINESS-ENGINEERING**

<b>A. Kobiashvili, N. Pailodze, K. Ramazashvili.</b> EFFICIENCY OF AUTOMATIZATION IN THE SCOPE OF PRODUCTION.....	55
--	----

**INFORMATICS, MANAGING SYSTEMS**

<b>T. Paghava, N. Maisuradze, M. Beridze, I. Kalandadze, N. Esiava.</b> INVESTIGATION OF CRYSTALS IRRADIATED BY HIGH-ENERGY PROTONS THROUGH THE PHOTO-HALL METHOD .....	61
<b>M. Metskhvarishvili, M. Beridze, I. Kalandadze, K. Baramidze.</b> INFLUENCE OF STRONTIUM CARBONATE PARTICLES ON THE MAGNETIC PROPERTY OF SAMARIUM MANGANITE .....	68

<b>AUTHORS INDEX</b> .....	71
<b>TO THE AUTORS ATTENTION</b> .....	74

# СОДЕРЖАНИЕ

## СТРОИТЕЛЬСТВО

<b>Л.А. Галдава.</b> НАПРЯЖЕННО-ДЕФОРМИРОВАННОЕ СОСТОЯНИЕ БЕТОННОЙ ГРАВИТАЦИОННОЙ ПЛОТИНЫ С УЧЕТОМ ГИДРОСТАТИЧЕСКОГО ДАВЛЕНИЯ НА ДНО ВОДОХРАНИЛИЩА .....	9
<b>А.Н. Моцонелидзе, Л.А. Галдава.</b> ВЛИЯНИЕ МЕДЛЕННОЙ СТАТИЧЕСКОЙ ЦИКЛИЧЕСКОЙ НАГРУЗКИ НА ПРОЧНОСТЬ БЕТОННОЙ ГРАВИТАЦИОННОЙ ПЛОТИНЫ .....	12
<b>Д.Г. Кучухидзе, Н.Н. Мургулиа, С.Г. Гиуташвили.</b> ЭКОНОМИЯ ТОПЛИВА В ОТЕЧЕСТВЕННЫХ КОТЛАХ ОТОПЛЕНИЯ С ИСПОЛЬЗОВАНИЕМ ЭФФЕКТИВНОГО ТВЁРДОГО ТОПЛИВА В НЕГАЗИФИЦИРОВАННЫХ РЕГИОНАХ ГРУЗИИ .....	17

## ГОРНОЕ ДЕЛО И ГЕОЛОГИЯ

<b>Н.А. Каджая, Н.Н. Джапаридзе, Ш.Г. Джанашвили.</b> МАТЕМАТИЧЕСКОЕ МОДЕЛИРОВАНИЕ ИЗМЕНЧИВОСТИ МИНЕРАЛИЗАЦИИ ЗОЛОТА НА УЧАСТКЕ КВИРАЦХОВЕЛИ САКДРИССКОГО МЕСТОРОЖДЕНИЯ .....	21
---	----

## ХИМИЧЕСКАЯ ТЕХНОЛОГИЯ, МЕТАЛЛУРГИЯ

<b>О.И. Микадзе, А.З. Канделаки, И.Г. Нахуциришвили, Н.И. Майсурладзе, Г.О. Микадзе.</b> ВЛИЯНИЕ ЦЕРИЯ НА ВЫСОКОТЕМПЕРАТУРНУЮ КОРРОЗИЮ ХРОМО-АЛЮМИНИЕВОЙ ЖАРОСТОЙКОЙ СТАЛИ .....	28
<b>А.И. Тутберидзе, К.Г. Папава, С.А. Мебония.</b> О МЕТОДИКЕ ПЛАНИРОВАНИЯ НАДЕЖНОГО ЭКСПЕРИМЕНТА В ПРОИЗВОДСТВЕННЫХ УСЛОВИЯХ.....	32

## ТРАНСПОРТ, МАШИНОСТРОЕНИЕ

<b>Г.В. Ткешелашвили, А.С. Мебония.</b> КОНКУРЕНТНАЯ ПОЛИТИКА ЭКОНОМИЧЕСКИХ СУБЪЕКТОВ И ЕЕ РОЛЬ В РАЗВИТИИ ЭКОНОМИКИ СТРАНЫ .....	36
<b>Т.Я. Мегрелидзе, В.В. Гвачлиани, Г.Л. Гугулашвили, Э.З. Садагашвили, Б.В. Гвачлиани.</b> К ВОПРОСУ УСОВЕРШЕНСТВОВАНИЯ СПОСОБА ПОЛУЧЕНИЯ МНОГОКОМПОНЕНТНЫХ ЛЕЧЕБНО-ПИЩЕВЫХ РАСТИТЕЛЬНЫХ ПРОДУКТОВ .....	40
<b>Т.Я. Мегрелидзе, Г.Т. Мегрелидзе, Р.А. Гахокидзе, В.В. Талаквадзе, Г.Л. Басиладзе.</b> ВЛИЯНИЕ КОНЦЕНТРАЦИИ ОЗОНА В ВОЗДУХЕ ХОЛОДИЛЬНОЙ КАМЕРЫ И ПРОДОЛЖИТЕЛЬНОСТИ ЕГО ВОЗДЕЙСТВИЯ НА ПРОЦЕСС ХОЛОДИЛЬНОГО ХРАНЕНИЯ ФРУКТОВ И ОВОЩЕЙ .....	44

<b>З.Ш. Джапаридзе, М.Г. Хоштания. КИНЕТИКА ЭКСТРАКЦИОННОГО ПРОЦЕССА ПРИ ВЫДЕРЖКЕ КОНЬЯЧНОГО СПИРТА В ДУБОВЫХ БОЧКАХ .....</b>	<b>48</b>
<b>АРХИТЕКТУРА, УРБАНИСТИКА, ДИЗАЙН</b>	
<b>Т.Г. Кутателадзе, Г.Н. Багратион-Давиташвили. АРХИТЕКТУРА ТБИЛИСИ НА РУБЕЖЕ XIX-XX ВЕКОВ .....</b>	<b>51</b>
<b>БИЗНЕС-ИНЖЕНЕРИНГ</b>	
<b>А.А. Кобиашвили, Н.Р. Паилодзе, К.Т. Рамазашвили. ЭФФЕКТИВНОСТЬ АВТОМАТИЗАЦИИ В СФЕРЕ ПРОИЗВОДСТВА .....</b>	<b>55</b>
<b>ИНФОРМАТИКА, СИСТЕМЫ УПРАВЛЕНИЯ</b>	
<b>Т.А. Пагава, Н.И. Майсурадзе, М.Г. Беридзе, И.Г. Каландадзе, Н.А. Эсиава. ИССЛЕДОВАНИЕ ОБЛУЧЕННЫХ ВЫСОКОЭНЕРГЕТИЧЕСКИМИ ПРОТОНАМИ КРИСТАЛЛОВ МЕТОДОМ ФОТО-ХОЛЛ – ЭФФЕКТА.....</b>	<b>61</b>
<b>М.Р. Мецихваришвили, М.Г. Беридзе, И.Г. Каландадзе, К.К. Барамидзе. ВЛИЯНИЕ ЧАСТИЦ КАРБОНАТА СТРОНЦИЯ НА МАГНИТНЫЕ СВОЙСТВА МАНГАНИТА САМАРИЯ.....</b>	<b>68</b>
<b>ПЕРЕЧЕНЬ АВТОРОВ .....</b>	<b>71</b>
<b>К СВЕДЕНИЮ АВТОРОВ .....</b>	<b>76</b>

# სამშენებლო სექცია

უაკ 627.824

გეტონის ბრავიტაციული კაშხლის დაძაბულ-დეფორმირებული მდგომარეობა  
ზყალსაცავის ჰსპერზე პიღროსტატიკური წნევის ბათვალის წინებით

ლ. გალდავა

პიდორინულერიის დეპარტამენტი, საქართველოს ტექნიკური უნივერსიტეტი, საქართველო, 0175,  
თბილისი, მ. კოსტავას 68<sup>o</sup>

E-mail: leontina.galdava@gmail.com

**რეზიუმე:** მოცემულია ბეტონის გრავიტაციული კაშხლის სიმტკიცის ანალიზი როგორც მშენებლობის დროს, ისე ექსპლუატაციისას. განხილულია სისტემა „კაშხალი-ფუძე-წყალსაცავი“. გარდა კაშხლის საკუთარი წონისა და მის სადაწნეო წახნაგზე პიდროსტატიკური წნევისა, გათვალისწინებულია წყალსაცავის ფსკერზე წყლის პიდროსტატიკური წნევის მოქმედება. გაანალიზებულია ამ სამი ძალის გავლენა კაშხლის დაძაბულ-დეფორმირებულ მდგომარეობაზე მათი სხვადასხვა კომბინაციის დროს. დადგენილია წყალსაცავის ფსკერზე პიდროსტატიკური წნევის გავლენა კაშხლის დაძაბულ-დეფორმირებულ მდგომარეობაზე. კონკრეტულ საანგარიშო ობიექტად აღებულია 60მ სიმაღლის გრეისის კაშხალი (შვეიცარია).

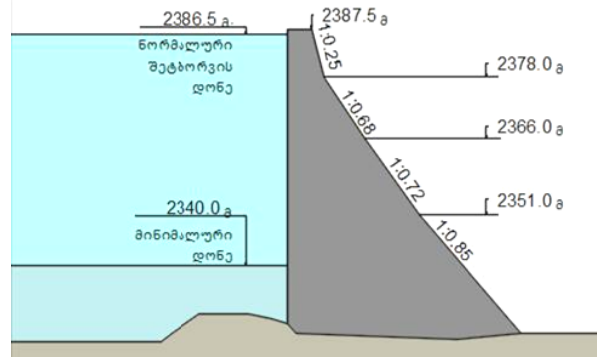
**საკვანძო სიტყვები:** გრავიტაციული კაშხალი; კლდოვანი ფუძე; პიდროსტატიკური წნევა; საკონტაქტო კერძო; დაძაბულ-დეფორმირებული მდგომარეობა.

## 1. შესავალი

კაშხლის, სიმტკიცის გაანგარიშების მეთოდები ე.წ. ელემენტარულ მეთოდთან – ბეტონის მასიური კაშხლის პირველ ანალიზურ საანგარიშო მეთოდთან შედარებით მნიშვნელოვნად დაიხევა. დღეს კაშხლის გაანგარიშებისას ძირითადად იყენებენ სასრული ელემენტების მეთოდს, რომელიც უძლიერესი საკვლევი იარაღია მკვლევრისათვის და ყველა შესაძლო საანგარიშო შემთხვევის გათვალისწინების შესაძლებლობას იძლევა. სწორედ ამ მეთოდს ვიყენებთ დასახული ამოცანის შესასწავლად.

## 2. ძირითადი ნაწილი

განხილულია საანგარიშო სისტემა „გრავიტაციული კაშხალი – კლდოვანი ფუძე – წყალსაცავი“, ბრტყელი დეფორმაციისას. გრავიტაციული კაშხლის ნიმუშად აღებულია 60 მ სიმაღლის გრეისის კაშხალი (შვეიცარია), რომლის სადაწნეო წახნაგი ვერტიკალურია და ცვალებადი დახრის უდაწნეო წახნაგი (0,68-დან 0,85-მდე). კაშხლის ზედა მონაკვეთის დახრა, ზღვის დონიდან 2387,5-დან 2378 მ-მდე არის – 0,25. კაშხლის ცენტრალური, ყველაზე მაღალი, განივი კვეთი მოცემულია 1-ელ ნახ-ზე.



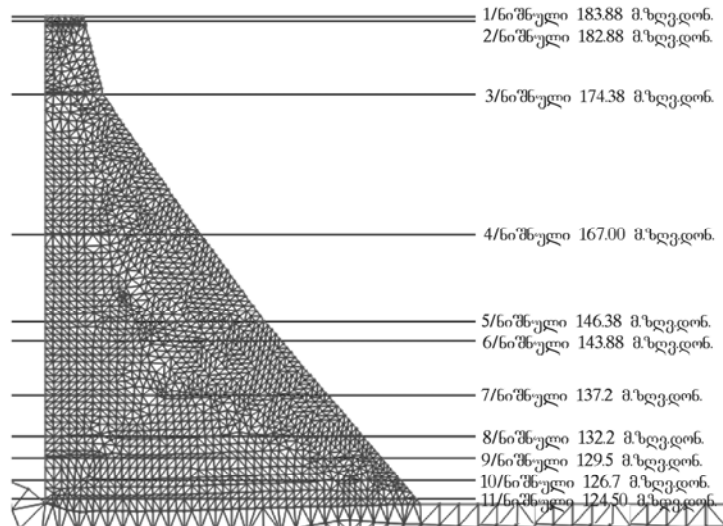
ნახ. 1. გრავიტაციულ კაშხალ გრეისის განივი კვეთი

კაშხლის ფუძე კლდოვანი და ერთგვაროვანია. მისი დრეკადობის მოდული  $E_g = 1*10^4$  მგპა, ხოლო პუსონის კოეფიციენტი  $\nu = 0,25$ . კაშხლის ბეტონის დრეკადობის მოდული  $E_s = 2*10^4$  მგპა, ხოლო პუსონის კოეფიციენტი  $\nu = 0,2$ .

სისტემა დაყოფილია ბაზისებურად, სამკუთხა ელემენტებად. სულ 17022 ელემენტია. ამ რაოდენ

ნობიდან უშუალოდ კაშხალზე მოდის 3526 ელე-  
მენტი. კვანძების საერთო რაოდენობაა 8790.

საანგარიშო სქემის ძირითადი ნაწილი მოცე-  
მულია მე-2 ნახ-ზე.



**ნახ. 2. სისტემის “გრეისის კაშხალი – ფუძე – წყალსაცავი”  
საანგარიშო სქემა სასრული ელემენტების მეთოდით**

განხილულია სამი საანგარიშო შემთხვევა:

1. კაშხალზე მოქმედებს მხოლოდ საკუთარი წონა;
2. კაშხალზე მოქმედებს საკუთარი წონა და პიდროსტატიკური წნევა სადაწნეო წახნაგზე (ნორმალური საექსპლუატაციო მდგომა-  
რეობა);
3. კაშხალზე მოქმედებს საკუთარი წონა, პი-  
დროსტატიკური წნევა სადაწნეო წახნაგზე  
და ვერტიკალური პიდროსტატიკური წნევა  
წყალსაცავის ფსკერზე.

სამივე შემთხვევისათვის გაანგარიშებულია  
გადაადგილება, ფარდობითი დეფორმაცია, ძაბ-  
ვის კომპონენტები, მთავარი ძაბვა და მათი მი-  
მართვულებები როგორც ბადის ელემენტებში,  
ისე კვანძებში.

მიღებული კრიტერიუმითან მოვიყ-  
ვანთ მხოლოდ რამდენიმე შედეგს, რომლებიც  
საშუალებას გვაძლევენ გამოვიტანოთ დასკვნა-  
ოუ რა გავლენას ახდენს წყალსაცავის ფუძეზე  
ზემოქმედება კაშხლის დაძაბულ-დეფორმირე-  
ბულ მდგომარეობაზე.

შედეგების ანალიზისათვის შევარჩიეთ ათი  
განივი კვეთი და ერთი თხემის სიბრტყე. ბუნე-  
ბრივია, სისტემის კველაზე კრიტიკული და სა-  
პასუხისმგებლო კვეთი (კვეთი №11) არის კაშ-  
ხალსა და ფუძეს შორის.

ცხრილის ზედა ფრაგმენტში მოცემულია  
კვეთის ნორმერი და მდებარეობა ზღვის დონიდან,  
ხოლო ქვედა, ძირითადი ნაწილში – კვანძების  
ნუმერაცია, კოორდინატები, აგრეთვე  $\sigma_y$  ძაბვები  
კვანძებში შემდეგი საანგარიშო შემთხვევები-  
სათვის:

- საანგარიშო სისტემაზე მოქმედებს მხო-  
ლოდ საკუთარი წონა და პიდროსტატიკუ-  
რი წნევა კაშხლის სადაწნეო წახნაგზე;
- სისტემაზე მოქმედებს საკუთარი წონა,  
პიდროსტატიკური წნევა სადაწნეო წა-  
ხნაგზე და პიდროსტატიკური წნევა წყალ-  
საცავის ფსკერზე.

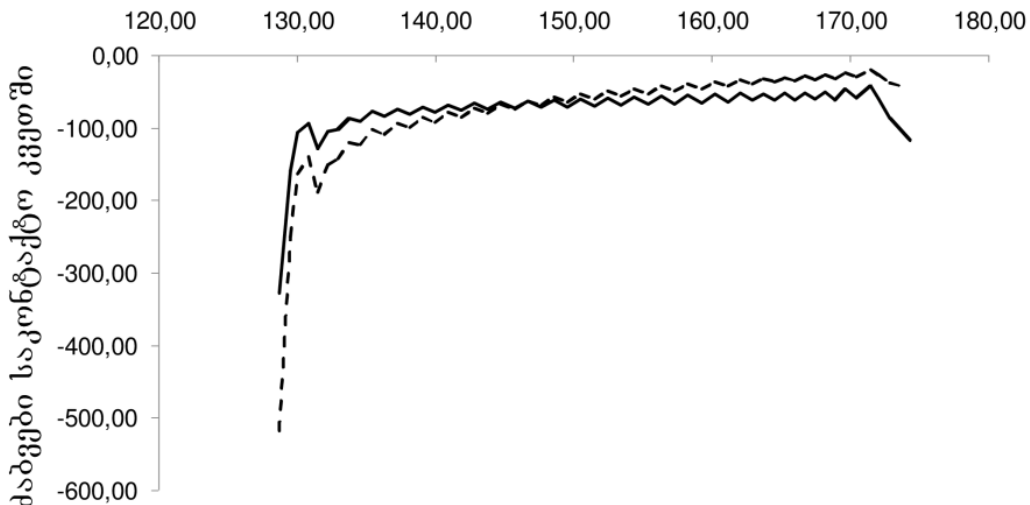
კვანძი №7080 არის კაშხლის სადაწნეო წახ-  
ნაგისა და ფუძის ზედაპირის გადაკვეთის წერ-  
ტილი, ხოლო კვანძი №7359 – უდაწნეო წახნა-  
გისა და ფუძის ზედაპირის გადაკვეთის წერტი-  
ლი, ცხრილში მოყვანილი სხვა წერტილები მათ  
შორის მდებარეობს.

ძაბვების გრაფიკული გამოსახულებები (ეპი-  
ურები) მოცემულია მე-3 ნახ-ზე. შედეგების  
ანალიზი გვიჩვნებს რომ წყალსაცავის ფსკერ-  
ზე მოქმედი ვერტიკალური პიდროსტატიკური  
წნევა შესამჩნევ გავლენას ახდენს კაშხლის  
წახნაგზე მოქმედი ძაბვის მნიშვნელობზე, თუმ-  
ცა კაშხლის ტანში ეს გავლენა უმნიშვნელოა.

ცხრილი

გასწორი	11
ნიშნული	124,5

წერტილი	7080	7310	7388	7383	7325	7324	7328	7327	7329	7359
X	128,72	129,50	132,19	132,96	134,58	135,44	138,13	139,04	139,96	144,73
Y	124,50	124,50	124,50	124,50	124,50	124,50	124,50	124,50	124,50	124,50
მხოლოდ საკუთარი წონა პიდროსტატიკური დაწევა სადაწნეო წახნაგზე	-328,45	-158,66	-104,34	-101,59	-90,78	-77,29	-80,51	-70,82	-78,06	-64,63
ყველა ძალის ერთობლივი მოქმედება	-517,80	-249,61	-150,40	-142,14	-122,31	-102,45	-99,28	-85,65	-91,84	-67,27



ნახ. 3.  $\sigma_y$  ძაბვები საკონტაქტო კვეთში (7080 – 7359). უწყვეტი და წყვეტილი ტეხილი -  $\sigma_y$  ძაბვები მეორე  
შემთხვევისათვის – ყველა ძალის ერთობლივი მოქმედება; მწვანე ტეხილი -  $\sigma_y$  ძაბვები პირველი  
შემთხვევისათვის – მხოლოდ საკუთარი წონა, პიდროსტატიკური წნევა სადაწნეო წახნაგზე

### 3. დასკვნა

1. ვერტიკალური პიდროსტატიკური წნევა წყალსაცავის ფსკერზე შესამჩნევ გავლენას ახდენს კაშხლის წახნაგზე ძაბვის მნიშვნელობაზე, თუმცა კაშხლის ტანში ეს გავლენა პრაქტიკულად არ იგრძნობა. გავლენა განსაკუთრებით მნიშვნელოვანია სადაწნეო წახნაგისა და ფუძის სიბრტყის გადაკვეთის წერტილში (№7080). ამ წერტილში  $\sigma_y$  ძაბვის მნიშვნელობა  $-328,62 \text{ MPa}$  ( $-3,2862 \text{ მგან}$ ) მხოლოდ კაშხლის საკუთარი წონისა და სადაწნეო წახნაგზე პიდროსტატიკური

წნევის გათვალისწინებით,  $11,27\%-ით$  განსხვავდება იმავე წერტილში  $\sigma_y$  ძაბვის მნიშვნელობისაგან ( $-295,33 \text{ MPa}$  ანუ  $-2,9533 \text{ მგან}$ ) დამატებით ვერტიკალური პიდროსტატიკური წნევის გათვალისწინების შემთხვევაში;

2. ვერტიკალური პიდროსტატიკური წნევა წყალსაცავის ფსკერზე ამცირებს მკუმშავ ძაბვას. ეს იმას ნიშნავს, რომ ამ დამატებითი ძალური ფაქტორის გავლენა აუცილებლად გასათვალისწინებელია გაანგარიშებისას, განსაკუთრებით უფრო მაღალი კაშხლის გაანგარიშებისას.

UDC 627.824

## STRAINED-DEFORMATED CONDITION OF CONCRETE GRAVITATION DAM TAKING INTO ACCOUNT THE HYDROSTATIC PRESSURE AT THE BOTTOM OF RESERVOIR

**L. Galdava**Department of hydro- engineering, Georgian Technical University, 68<sup>b</sup>, M. Kostava str, Tbilisi, 0175, Georgia

**Resume:** This work focuses on the analysis of strength of concrete gravitation dams. The following forces are acting on the system “dam-foundation-reservoir”: dead load, hydrostatic pressure on the upstream side and the vertical hydrostatic pressure at the bottom of the reservoir. The analysis is done for different cases of load combinations. The quantitative and qualitative pictures of impact of hydrostatic pressure acting at the bottom of the reservoir on the general mode of deformation of structure are determined. As a specific object of analysis the 60 m height Grace Dam (Switzerland) is selected.

**Key words:** gravitation dam; rocky boundation; hydrostatic pressure; contact section; strained – deformed condition.

УДК 627.824

## НАПРЯЖЕННО-ДЕФОРМИРОВАННОЕ СОСТОЯНИЕ БЕТОННОЙ ГРАВИТАЦИОННОЙ ПЛОТИНЫ С УЧЕТОМ ГИДРОСТАТИЧЕСКОГО ДАВЛЕНИЯ НА ДНО ВОДОХРАНИЛИЩА

**Галдава Л.А.**Департамент гидроинженерии, Грузинский технический университет, Грузия, 0175, Тбилиси, ул. М. Костава, 68<sup>b</sup>

**Резюме:** Работа посвящена анализу прочности бетонной гравитационной плотины. На систему «плотина-основание-водохранилище» действуют: собственный вес, гидростатическая нагрузка на напорную грань и гидростатическая нагрузка на дно водохранилища. Сделан анализ при разных комбинациях этих силовых факторов. Установлены количественные и качественные картины влияния гидростатической нагрузки на дно водохранилища, на общее напряженно-деформированное состояние сооружения. В качестве конкретного расчетного объекта выбрана плотина Грейс (Швейцария) высотой 60 м.

**Ключевые слова:** гравитационная плотина; скалистое основание; контактное сечение; напряженно-деформированное состояние.

მიღებულია დასაბუქდავ 13.03.14

UDC 627.824

## EFFECT OF SLOW STATIC CYCLIC LOADING ON THE STRENGTH OF A CONCRETE GRAVITY DAM

**A. Motsonelidze, L. Galdava\***Department of hydro-engineering, Georgian Technical University, 68<sup>b</sup>, M. Kostava str, Tbilisi, 0175, Georgia

E-mail: leontina.galdava@gmail.com

**Resume:** This work focuses on a technique of static retrospective analysis of old concrete gravity dams. An attempt is made to match the material and structural model of a dam with the actual operation history of the

structure. The proposed technique consists of: a) non-linear-elastic fracture constitutive model for concrete in the plane strain condition and b) cyclic-induced degradation of stiffness and strength for dam concrete. Under cyclic loading the cycles of reservoir filling-discharge is

implied, i.e. loading-unloading of hydrostatic pressure to the dam and bottom of a reservoir. The number of cycles depends on the type of reservoir regulation.

**Key words:** gravity dam, rock foundation, cyclic loading, modulus of elasticity, strength of concrete, contact surface, stresses.

## 1. INTRODUCTION

There are presented the salient features of the various aspects of a numerical model for the analysis of existing gravity dams, which takes past loading history of the structure.

The constitutive model for the analysis of these dams is based on the nonlinear-elastic fracture formulation. The main advantage of this approach is that it can be easily implemented in any numerical analysis with the required input data for the model easily obtainable from the traditional uniaxial tests on concrete specimens. This model takes into account the effect of material fatigue under slow static cyclic loading. This approach allows us to account for the effect of the degradation of concrete strength under cyclic loading. To this end, the value of uniaxial compressive strength of concrete, in the constitutive equation can be substituted by the value of the strength of concrete, which has been appropriately modified in accordance with the number of loading-unloading cycles  $n$ .

## 2. THE BODY OF THE ARTICLE

The constitutive model based on the hypo-elastic (nonlinear-elastic fracture) formulation, is employed. This model realistically simulates a path-dependent irreversible stress-strain relationship. The main advantage of this approach is that it can be easily implemented in any numerical analysis with the required input data for the model easily obtainable from the traditional uniaxial tests on concrete specimens. The four-parameter failure criterion [1] is employed. This model is modified in order to take into account the effect of material fatigue under slow static cyclic loading. This approach allows us to account for the effect of the degradation of concrete strength (fatigue) under cyclic loading. To this end, the value of uniaxial compressive strength of concrete  $\sigma_c$  can be substituted by the value of the strength of concrete, which has been appropriately modified in accordance with the number of loading-unloading cycles  $n$ :

$\sigma_c = \sigma_c(n)$ . The value of strain  $\varepsilon_c$  associated with the maximum uniaxial compressive stress of concrete may also be modified in accordance with the number of loading-unloading cycles  $n$ :  $\varepsilon_c = \varepsilon_c(n)$ . It is obvious, that cyclic loading causes the degradation of concrete stiffness. This effect is accounted for the present model by means of modifying the value of the initial modulus of elasticity in accordance with the number of loading-unloading cycles  $n$ :  $E_0 = E_0(n)$ .

Cycling loading exhibits significant nonlinear behaviour and drastic changes in material properties of concrete. The result is a considerable degradation of material properties of concrete, as the number of applied loading-unloading cycles increases. In the present work, the empirical relationships based on the experimental findings on cyclic behaviour [2] are adopted. Very briefly, following the tests carried out on the concrete specimens of Enguri arch dam, which were subjected to slow static cyclic compressive loading, the following relationships were established to define the degradation of the material properties of concrete in relation to loading-unloading cycles:

$$\begin{aligned}\sigma_c(n) &= (1 - a_\sigma^n \lg n) \sigma_c \\ E_0(n) &= (1 - a_E^n \lg n) E_0 \\ \varepsilon_c(n) &= (1 - a_\varepsilon^n \lg n) \varepsilon_c\end{aligned}\quad (1)$$

where parameters  $a_\sigma^n$ ,  $a_E^n$  and  $a_\varepsilon^n$  define the degradation of the material properties of concrete under slow static cyclic loading and  $n$  is the number of loading-unloading cycles in accordance with the operation history of a gravity dam (it corresponds to the number of loading-unloading cycles of the reservoir during the operation of the dam).

The specific values of these parameters may only be determined by carrying out cyclic tests on concrete specimens. Nevertheless, a careful study of the results of the investigations suggests, that the values of the above parameters do vary within the following ranges:

$$\begin{aligned}0.05 \leq a_\sigma^n &\leq 0.25 \\ 0.10 \leq a_E^n &\leq 0.30 \\ 0.10 \leq a_\varepsilon^n &\leq 0.30\end{aligned}\quad (2)$$

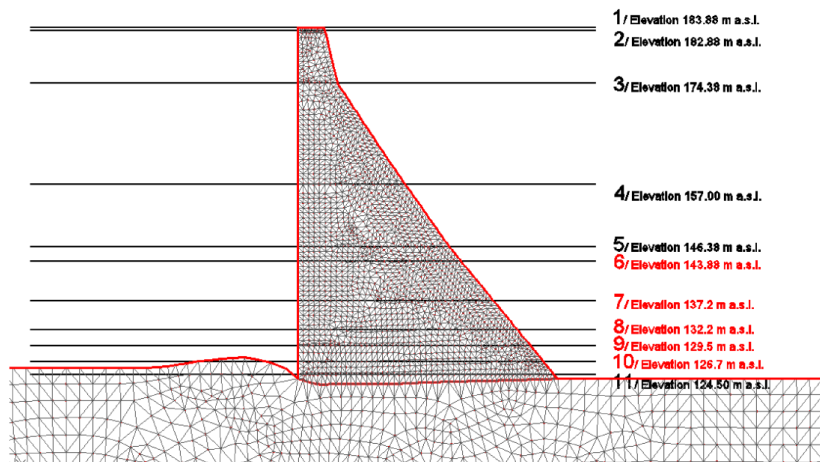
Generally, the degree of degradation of the material properties of concrete increases in the number of loading-unloading cycles  $n$ .

The “dam-foundation-reservoir” system, within the plane strain problem, was considered. As a prototype of gravity dam the 60 m height Grace dam (Switzerland) was

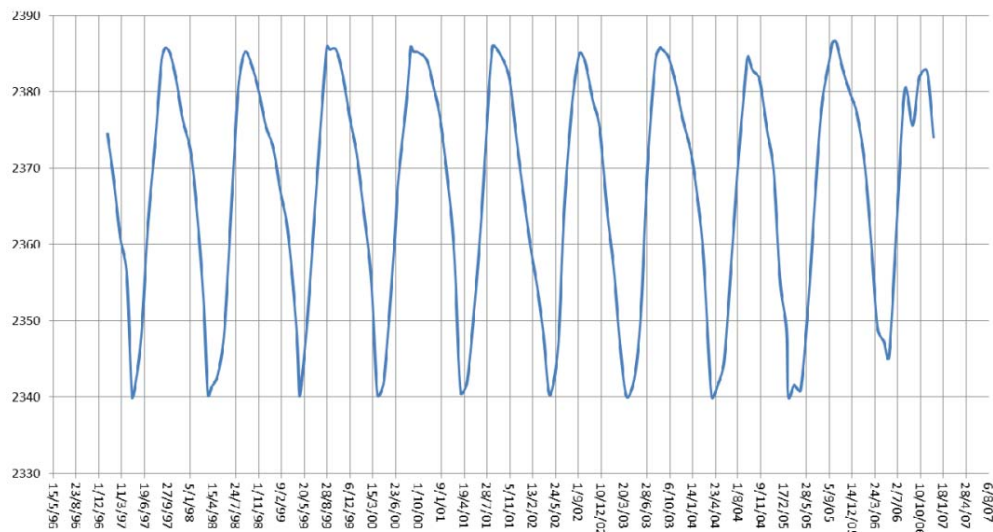
adopted, which has vertical upstream face and downstream face with varying slope (0,68-0,85). The slope of upper part of this dam (between  $\nabla$  2387,5 and  $\nabla$  2378,0 m a.s.l.) equals 0,25. The dam has rock and uniform foundation. Its modulus of elasticity  $E_f = 1 \cdot 10^6$  t/m<sup>2</sup> and Poisson's ratio  $\nu = 0,25$ . The initial modulus of elasticity of dam concrete  $E_0 = 2 \cdot 10^6$  t/m<sup>2</sup> and Poisson's ratio  $\nu = 0,2$ . The system is divided into a mesh of triangular elements.

The system is divided into a mesh of triangular elements.

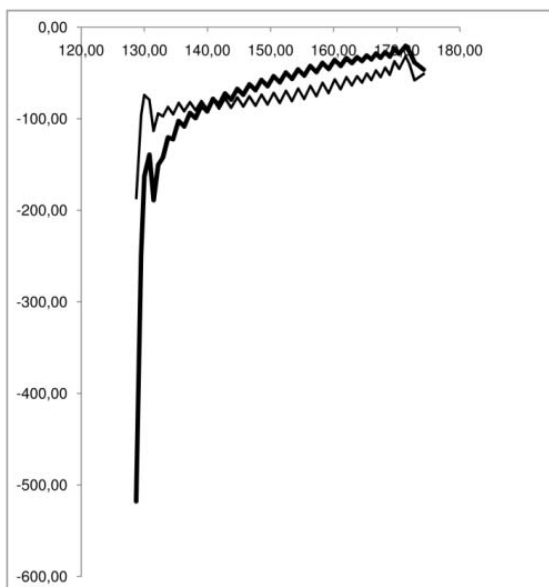
The total number of elements is 17022. From this amount the dam itself has 3526 elements. The total number of nodes is 8790. The major part of calculation scheme is shown on Fig. 1. The regulation scheme of the Grace reservoir is shown on Fig. 2. As this graph shows, the reservoir is of seasonal regulations. 48 years passed since its commissioning, i.e.  $n = 48$ .



**Figure 1. FEM scheme of the system “Grace dam-foundation-reservoir”**



**Figure 2. Scheme of regulation of the Grace reservoir**



**Figure 3.**  $\sigma_y$  stresses along the section #11 (contact surface) in  $t/m^2$

— Standard (dead load, hydrostatic pressure on the upstream surface and bottom of the reservoir);  
— Taking into account the cyclic loading

Computations were carried out according to the following sequence:

1. The design version of the system “dam-foundation-reservoir” was considered. As a modulus of elasticity of dam concrete its initial value  $E_0$  was adopted. Hydrostatic pressure and dead load are acting on a dam. The nodal displacements, strains, stress components, major stresses and their directions were determined;

2. The major stresses were analyzed by the expressions (1) and (2) taking into account the number of loading-unloading cycles  $n = 48$ . The values of the modulus of elasticity were specified. The initial modulus of elasticity  $E_0 = 2 \cdot 10^6 t/m^2$  was transformed into  $E(48) = 0,4 \cdot 10^6 t/m^2$  due to the cycles;

3. The system was computed again taking into account the specified value of the modulus of elasticity.

From the large number of results the only one, distribution of  $\sigma_y$  stresses along the section #11 (contact surface between dam and foundation), is presented on Fig. 3. The results clearly show, that due to cyclic loading the values of stresses are significantly reduced in the cross point of the foundation surface and upstream face.

At the other points of the section the values of stresses are changed to a little degree.

### 3. CONCLUSION

It is necessary to take into account the number of slow static cyclic loadings, when computing the mode of deformation of gravity dams has a long term operation history, because they significantly change the picture of stress distribution at the upstream face. Trend of changes is negative, i.e. the compressive stresses are reduced toward the tension stresses.

### References

1. S.S. Hsieh, E.C. Ting and W.F. Chen (1979) ‘An Elastic-Fracture Model for Concrete’, Proc. 3d Eng. Mech. Div. Spec. Conf., ASCE, Austin, Tex., 437-440;
2. V.Osidze, D. Khoperia. (1987) “Deformation Parameters of Concrete of Inguri Arch Dam subject to Static Cyclic Compressive Loading”, in Construction of Hydro Power Stations in Mountainous Regions, EnergoAtomIzdat, Moscow., pp. 52-58, (Rus).

**უაგ 627.824**

**627.824 სტატიკური ციკლური დატვირთვის ბაზების პეტონის გრავიტაციული პაშელის სიმტკიცეზე**

**ა. მოწონელიძე, ლ. გალდავა**

პიდროინუინერიის დეპარტამენტი, საქართველოს ტექნიკური უნივერსიტეტი, საქართველო, 0175,  
თბილისი, მ. კოსტავას 68<sup>6</sup>

**რეზიუმე:** მოცემულია ძველი ბეტონის გრავიტაციული კაშელის სტატიკური რეტროსპექტული ანალიზი. აქცენტი კეთდება ნაგებობის სტრუქტურისა და მასალის მუშაობაზე ექსპლუატაციის ისტორიის გათვალისწინებით. შემოთავაზებული მეთოდიკა ყერდნობა: 1) არატრაქციად დრეკადი რღვევის მოდელს ბრტყელი დეფორმაციისას და 2) კაშელის ბეტონის სიხისტისა და სიმტკიცის მაჩვენებლების შემცირების პრინციპს ციკლური დატვირთვის შედეგად. ციკლურ დატვირთვაში იგულისხმება წყალსაცავის ავსება-დაცლა ანუ სადაწეო წახნაგა და წყალსაცავის ფსკერზე პიდროსტატიკური წნევის მოდება-მოხსნა. ციკლის რაოდენობა დამოკიდებულია წყალსაცავის რეგულირების სახეზე.

**საკვანძო სიტყვები:** კაშელის გრავიტაციული ძალა; მთის ქანი; კლდე; ციკლური დატვირთვა; დრეკადობის მოდული; ბეტონის სიმტკიცე; კონტაქტური ზედაპირი; ძაბვა.

**УДК 627.824****ВЛИЯНИЕ МЕДЛЕННОЙ СТАТИЧЕСКОЙ ЦИКЛИЧЕСКОЙ НАГРУЗКИ НА ПРОЧНОСТЬ БЕТОННОЙ ГРАВИТАЦИОННОЙ ПЛОТИНЫ**

**Моцонелидзе А.Н., Галдава Л.А.**

Департамент гидроинженерии, Грузинский технический университет, Грузия, 0175, Тбилиси, ул. М. Костава 68<sup>6</sup>

**Резюме:** Работа посвящена статическому ретроспективному анализу старых бетонных гравитационных плотин. Акцент делается на работу структуры сооружения и его материала с учетом истории эксплуатации. Предлагаемая методика основывается на: 1) нелинейно-упругой модели разрушения в пределах плоской деформации и 2) принципе уменьшения показателей жесткости и прочности во время циклической нагрузки. Под циклическими нагрузками подразумевается наполнение-опорожнение водохранилища, т.е. приложение-снятие гидростатической нагрузки на напорную грань и дно водохранилища. Количество циклов зависит от вида регулирования водохранилища.

**Ключевые слова:** гравитационная сила плотины; горная порода; скала; циклическая нагрузка; модуль упругости; прочность бетона; контактная поверхность; напряжение.

*მიღებულია დასაბუქდად 13.03.14*

შაპ 662.76

**სათბობის ეკონომიკა საქართველოს არაბაზიზიცირებულ რეგიონებში  
აღგილობრივი მქარი საწვავით მომუშავე ბათბობის მაღალებების  
შვაბების გამოყენებით**

**დ. კუჭუხიძე, ნ. მურდულია, ს. გიუტაშვილი\***

წყალმომარაგების, წყალარინების, თბოაირმომარაგებისა და შენობათა საინჟინრო აღჭურვის დეპარტა-  
მენტი, საქართველოს ტექნიკური უნივერსიტეტი, საქართველო, 0175, თბილისი, გ. კოსტავას 68<sup>3</sup>

E-mail: sgutashvili@yahoo.com

**რეზიუმე:** განხილულია სათბობის ეკონომიკის საკითხები მყარი სათბობით მომუშავე გათბობის ქვაბების გამოყენებით. სამწუხაროდ, საქართველოში შეშა ფართოდ გამოიყენება სათბობად. ის ლიმიტირებული ენერგორესურსია, რომელიც სწრაფად მცირდება. შეშის საწვავად გამოყენება დაკავშირებულია ქვეყნის აუნაზღაურებელი სიმ-  
დიდრის – ტყის გაჩეხვასთან. ამ პრობლემის გადაწყვეტა შესაძლებელია ძირითადად დიდი მარგი ქმედების კოეფიციენტის მქონე მყარი საწვავით მომუშავე ქვაბების დანერგვით. ასეთი ქვაბების მქონების მქ კოეფიციენტი 88-92%-ია. ამ ქვაბების გამოყენება უზრუნველყოფს მაღალ ეკონომიკურ ეფექტურობას. შეშის ხარჯი მცირდება 2,5-ჯერ და მეტად (ტრადიციული, ძველი ტიპის ღუმლის მარგი ქმედების კოეფიციენტი არ აღემატება 25-30%-ს). იგი სავსებით აქმაყოფილებს სახანძრო უსაფრთხოების მოთხოვნებს. ქვაბების ექსპლუატაცია არ მოითხოვს მაღალ კვალიტეტის ცეცხლფარეშის მომსახურებას. ავტომატური მართვის სისტემა საიმედოდ მუშაობს საჭირო დაცვის გამოყენებით.

**საკვანძო სიტყვები:** გათბობის ქვაბი; მყარი სათბობი; არაგაზიფიცირებული რეგიონი; ეკო-ლოგია; წყის პროცესი; კენტილატორი.

## 1. შესავალი

საქართველოს ტყებს მრავალგვარი სოციალურ-ეკონომიკური და ეკონომიკური ფუნქცია აქვს (წყალმარებულირებელი, ნიადაგდაცვითი, სანიტარიულ-ჰიგიენური, საკურორტო-გამაჯანსაღებელი, რეკრეაციული და სხვა), რომელთა სწორად რეგულირებას და შენარჩუნება-გაძლიერებას დიდი სახელმწიფო მინიშვნელობა ენიჭება.

ძალიან მნიშვნელოვანია ტყის წყალმარებულირებელი ფუნქცია. ის ხელს უწყობს მდინარეებისა და წყლის სხვა რესურსების (ტყები, წყაროები და სხვა) ნორმალურ და თანაბარ მომარაგებას წყლით, აფერხებს წყალდიდობას, უზრუნველყოფს წყლის ხარისხის გაზრდას, იცავს მას დაბინძურებისგან. არანაკლებ მნიშვ-

ნელოვანია ტყის როლი ნიადაგის ნაყოფიერების გაზრდისა და ეროზისაგან დასაცავად. ტყე იძლევა მრავალგვარ ძვირფას პროდუქტება და ნედლეულს. ის არის მრავალფეროვანი ფაუნის აღილსამყოფელი. დიდია ტყის რეკრეაციული და ტურისტული მნიშვნელობა.

სამწუხაროდ, საქართველოში შეშა ფართოდ გამოიყენება სათბობად. საქართველოში არ არსებობს სამრეწველო ტყე, შეშა ლიმიტირებული ენერგორესურსია, რომელიც სწრაფად მცირდება. შეშის საწვავად გამოყენება დაკავშირებულია ქვეყნის აუნაზღაურებელი სიმდიდრის – ტყის გაჩეხვასთან.

## 2. ძირითადი ნაწილი

ამ პრობლემის გადაწყვეტა შესაძლებელია ალტერნატიული საწვავის გამოყენებით და დიდი მარგი ქმედების კოეფიციენტის მქონე მყარი საწვავით მომუშავე ქვაბების დანერგვით. ასეთი ქვაბების მქ კოეფიციენტი 88-92%-ია.

მაღალეფებული ქვაბი (იხ. სურათი) მუშაობის პრინციპითა და მოწყობილობით განსხვავდება კლასიკური ტიპის მყარი საწვავით მომუშავე ქვაბისაგან. ძირითადი განსხვავდება ქვაბის პრინციპი, რომელსაც საფუძვლად უდევს მყარი საწვავის თერმული დაშლა.

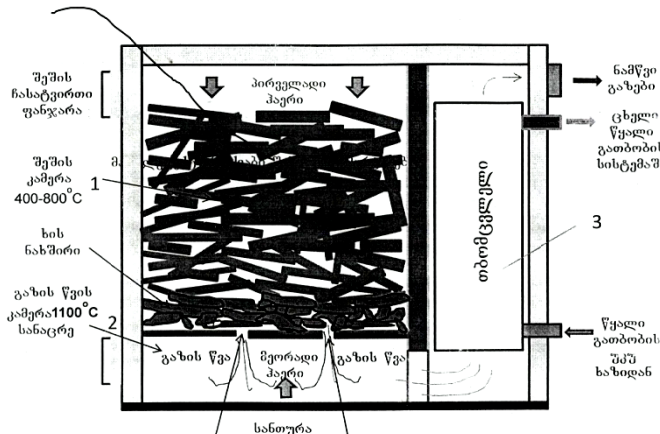
კონსტრუქციულად ის შედგება ერთმანეთზე განლაგებული ორი კამერისაგან. ზედა კამერა გათვალისწინებულია ხეტყის და მისი ნარჩენების ჩასატვირთად. აქვე ხდება მათი მშრალი გამოხდის პროცესი და გამოიყოფა აქროლადი გაზები – ძირითადად ნახშირწყალბადები, წყალბადი, ნახშირორგანგი და სხვა. შეშის მშრალი გამოხდის საბოლოო პროდუქტია ხის ნახშირი – პრაქტიკულად სუფთა ნახშირბადი. ცხელი აქროლადი გაზები პირველი კამერიდან გადადის მეორეში, სადაც წევა ხორციელდება დამატებითი მეორეული პარენის საშუალებით. გამოყოფილი სითბო გადაეცემა გაზი-წყალი ტიპის თბომცვლელს, წყალი თბება 90°C-მდე და ტუმბოს მეშვეობით მიეწოდება გათბობის და ცხელი წყლით მომარაგების სისტემას. წვისათვის საჭირო პარენი მიეწოდება შემბერი ვენტილატორის ან კვამლსაწოვის მეშვეობით. ისიც აღსა-

ნიშნავია, რომ ასეთ ქვაბზი გამავალი ნამწვი აირების ტემპერატურა საკმაოდ დაბალია.

თუ მხედველობაში მივიღებთ, რომ საქართველოში ხის მერქნის ძირითადი მომსხარებელი სოფლის მოსახლეობაა, რომელიც მთლიანი მოსახლეობის 47,5 %-ს შეადგენს და რომლის უდიდესი ნაწილისათვის სათბობის სხვა წყარო უბრალოდ მიუწვდომელია (მაღალი ფასისა და ტექნიკური საშუალებების არარსებობის გამო), ნათელი გახდება, რომ ხეტყის ასეთი მასშტაბით

გამოყენება ქვეყანას ეკოლოგიური კატასტროფის წინაშე დააუქნებს.

აღნიშნულ ეკოლოგიურ სიტუაციას შეიძლება მოჰყვეს: ტყის წყლის შემნახველი და მარეგულირებელი, აგრეთვე ნიადაგდამცავი ფუნქციების მკვეთრად გაუარესება, შედეგად – წყალდიდობებისა და მათ მიერ მიყენებული ზარალის გაზრდა პიდროლექტროსადგურის წყლით მომარაგების ციკლურობის დარღვევა, წყალსაცავების ჩამონაბანით დაბინძურება და ა.შ.



შესახე მომუშავე მაღალეფექტური ქვაბი (გამარტივებული სქემა)

სათბობის წვის პროცესი მიმდინარეობს ნელი ტემპით, რაც მნიშვნელოვნად ზრდის სათბობის ჩატვირთვის ინტერვალს და, შესაბამისად, ამცირებს საექსპლუატაციო ხარჯს.

სათბობის ჩატვირთვა ხდება 12-14 საათის ინტერვალით (შესაძლებელია ჩატვირთვის ინტერვალის გაზრდა 36 საათამდე). ქვაბი ადგურვილია აგტომატური მართვის სისტემებით, ექსპლუატაციის ვადა 15-20 წელია.

სათბობი პრაქტიკულად უნაცროდ იწვის და ეკოლოგიურად სუფთაა. ამ ქვაბის გამოყენება უზრუნველყოფს მაღალ ეკონომიკურ ეფექტურობას (შემის ხარჯი მცირდება 2,5-ჯერ და მეტად) ტრადიციულ, ძველი ტიპის ღუმელთან შედარებით, რომლის მარგი ქმედების კოეფიციენტი არ აღემატება 25-30%-ს და სავსებით აკმაყოფილებს სახანძრო უსაფრთხოების მოთხოვნებს.

ამ ქვაბის ექსპლუატაცია მარტივია ისეგა, როგორც გაზით მომუშავე ქვაბის ექსპლუატაცია. არ მოითხოვს მაღალეფალიფიციური ცეცხლფარეშის მომსახურებას. აგტომატური მართვის სისტემა საიმედოდ მუშაობს საჭირო დაცვის გამოყენებით.

სათბობად გამოიყენება ადგილობრივი ნედლეული: დაბალი ხარისხის შეშა, ხეტყის ნარ-

ჩენები, ხის ტოტები, ნახერი, თხილის ნაჭუჭი, მზესუმზირისა და სიმინდის დეროები და სხვა. შესაძლებელია ბიოსათბობის გამოყენებაც პლექებისა და ბრიკეტების სახით. საქართველოს საგამანათლებლო და სამეცნიერო განვითარების სააგენტოს დავალებით (განათლებისა და მეცნიერების სამინისტრო) შევისწავლეთ არაგაზიფიცირებული რაიონების საჯარო სკოლების: თბილისის 217-ე, კეთიჯვრისა და ძველი ქანდის სკოლების გათბობის სისტემათა პროექტები. ამ პროექტების მიხედვით გათბობის სისტემისათვის გათვალისწინებულია თხევად სათბობზე მომუშავე ქვაბები. ბრეთის საჯარო სკოლის პროექტის მიხედვით გათბობა ხორციელდება ბუნებრივი გაზით მომუშავე ქვაბის მეშვეობით.

### 3. დასკვნა

ჩვენი რეკომენდაციის საფუძველზე თხევადი სათბობით და ზოგიერთ შემთხვევაში გაზით მომუშავე ქვაბების ჩანაცვლება მიზანშეწონილია მყარი სათბობით მომუშავე მაღალეფექტიანი ქვაბებით, რომელთა მარგი ქმედების კოეფიციენტი აღემატება 90%-ს.

ტექნიკურ-ეკონომიკური გაანგარიშების შედარებითი ანალიზი მოცემულია 1-2 დანართებში.

დანართებიდან ჩანს, რომ (დიზენი) საწვავით მომუშავე ქვაბების ჩანაცვლებით მყარი სათბობით მომუშავე მაღალეფებური ქვაბებით სათბობის დირექტულება გათბობის სეზონზე დაახლოებით 4,5-ჯერ შემცირდება, ხოლო ბრეთის საჯარო სკოლაში ბუნებრივი აირით მომუშავე ქვაბის ჩანაცვლებით, ასევე მყარ სათბობზე მომუშავე ქვაბით, გათბობის სეზონზე საექსპლუატაციო დანახარჯები 1,8-ჯერ შემცირდა.

მაღალეფებური მყარი სათბობით წარმატებით შეიძლება გამოყენებულ იქნეს საზოგადოებრივ-ადმინისტრაციული, მრავალსართულიანი საცხოვრებელი შენობების, სკოლების, საბავშვო ბაღებისა და სხვა.

ბისა და სხვადასხვა უწყების შენობა-ნაგებობების გასათბობად და ცხელი წელით მოსამარაგებლად. ქვაბი კომპაქტურია და მისი დამონტაჟება შესაძლებელია მცირე ზომის სათავსში. საგანგებო შემთხვევებში მისი გამოყენება შესაძლებელია გადასაადგილებელ სითბოს წყაროდ.

გარდა აღნიშნულისა, ქვაბის კონსტრუქციის უმნიშვნელო ცვლილების შემთხვევაში სათბობის იმავე დანახარჯებით მისი გამოყენება შესაძლებელია საჭმლის მოსამზადებლადაც, როგორც, მაგალითად, თავდაცვისა და შინაგან საქმეთა სამინისტროების უწყებებში, სასაზღვრო დაცვის პოლიციაში, საბავშვო ბაღებში, დასასვენებელ სახლებსა და სხვა.

#### დანართი 1

**ბუნებრივი გაზით მომუშავე ქვაბისა და მყარი სათბობით მომუშავე ენერგოეფენტური ქვაბის ტექნიკურ-ეკონომიკური შედარებითი ანალიზი**

1	2	3	4	5	6	7	8	9	10	11
ქვაბის სიმძლავა- რებ, კბ	გათბობის სეზონი, დღ-ღ.	მუშაობის ხანგძლი- ვიბა, სთ/დღ-ღ.	ბუნებრივი გაზის უდაბლების თბორენიანი, კბ/კბ/კბ	გაზის ფასი, ლარი/მ	გაზის საითბრივი ხარჯი, მ/სთ	გაზის საათითბრივი ხარჯი სეზონზე, მ/გ.სეზ.	გაზის ლირგენდ. ლარი/გ.სეზ.	თანხის მოწოდისა გათბობის სეზონზე გაზის ქაბის შემცირება, დარი/გ.სეზ.	გათბობის სეზსასკ. ხარჯის შემცირება, დარი/გ.სეზ.	მარტივი უკავშირა, თვე
156	160	12	8400	0,75	17,75	34072	25554	13424	1.8-ჯერ	2.55
			3000	0,127	49,64	95313	12131			

#### დანართი 2

**სოლარის საწვავით მომუშავე ქვაბისა და მყარი სათბობით მომუშავე ენერგოეფენტური ქვაბის ტექნიკურ-ეკონომიკური შედარებითი ანალიზი**

1	2	3	4	5	6	7	8	9	10	11
ქვაბის სიმძლავა- რებ, კბ	გათბობის სეზონი, დღ-ღ.	მუშაობის ხანგძლი- ვიბა, სთ/დღ-ღ.	სოლარის საწვავის უდაბლების თბორენიანი, კბ/კბ/კბ	სოლარის ფასი, ლარი/ლ	სოლარის საითბრივი ხარჯი, მ/სთ	სოლარის ხარჯი სეზონზე, მ/გ.სეზ.	სოლარის ლირგენდ. ლარი/გ.სეზ.	თანხის გენორმისა გათბობის სეზონზე სოლარის ქაბის შემცირება, დარი/გ.სეზ.	სათბობის სეზსასკ. ხარჯის შემცირება, დარი/გ.სეზ.	მარტივი უკავშირა, თვე
400	160	12	10150	2.0	37.62	72234	25554	106862	4.1-ჯერ	0.84
			3000	0,127	127	244391	12131			

UDC 662.76

## FUEL ECONOMY BY USING SOLID FUEL HIGH-EFFICIENCY HEATING BOILERS WITHIN NON-GASIFIED AREAS OF GEORGIA

**D. Kutchukhidze, N. Murghulia, S. Giutashvili**

Departament of water-supply, drainage, heat-gas supply and engineering equipment of building, Georgian Technical University, 68<sup>b</sup>, M. Kostava str, Tbilisi, 0175, Georgia

**Resume:** Low-cost raw materials such as wood, logs, wood chips, wood waste, tree branches, nut shell, sunflower stems and maize stems and etc can be used as a fuel in this type of heating boilers.

Clean-burning fuel and increasing the surface area of fuel available to burn allows the efficiency /performance index/ reach up to 88-92%. This type of heating boilers consume the amount of wood, which is 2,5-3 times less, than the wood consumed by conventional boilers, the efficiency index does not reach up to any higher than 25-30%.

**Key words:** heating boilers; solid fuel; non-gasified region; ecology; type of burning regulator.

УДК 662.76

## ЭКОНОМИЯ ТОПЛИВА В ОТЕЧЕСТВЕННЫХ КОТЛАХ ОТОПЛЕНИЯ С ИСПОЛЬЗОВАНИЕМ ЭФФЕКТИВНОГО ТВЁРДОГО ТОПЛИВА В НЕГАЗИФИЦИРОВАННЫХ РЕГИОНАХ ГРУЗИИ

**Кучухидзе Д.Г., Мургулиа Н.Н., Гиуташвили С.Г.**

Департамент водоснабжения, водоотведения, теплогазоснабжения и инженерного оснащения зданий, Грузинский технический университет, Грузия, 0175, Тбилиси, ул. М. Костава, 68<sup>b</sup>

**Резюме:** Основным видом отопления в этом типе котлов используется более дешёвое сырье местного происхождения - низкокачественная древесина: бревна, порубочные остатки (ветви, скорлупа орехов, стебли подсолнечника и кукурузы и т.д.). В процессе полного сжигания топлива и увеличения площади поверхности возможно достичь более высокого значения КПД – 88-92%.

Котел потребляет в 2,5-3 раза меньше дров, по сравнению с традиционным старым котлом, коэффициент полезного действия которого не превышает 25%. Автоматическая система управления таким котлом работает с применением необходимой защиты.

**Ключевые слова:** отопительный котёл; твердое топливо; негазифицированный регион; экология; процесс горения; вентилятор.

გთავაზულია დახაბუჭებად 14.03.14

# სამთო-გეოლოგიური სექცია

შაპ 553.048:15.2.1

საყდრისის კვირაცხოვლის უბნის ოქროს მინერალიზაციის ცვალებადობის  
მათემატიკური მოდელირება

ნ. ქაჯაია\*, ნ. ჯაფარიძე, შ. ჯანაშვილი

გამოყენებითი გეოლოგიის დეპარტამენტი, საქართველოს ტექნიკური უნივერსიტეტი, საქართველო,  
0175, თბილისი, გ. კოსტავას 77

E-mail: nkajaja@mail.ru

**რეზიუმე:** განხილულია კვირაცხოვლის უბან-  
ზე გამოყოფილ ოქროს შემცველ სამმადნიან  
სხეულში მინერალიზაციის განაწილების ცვალებადობის თავისებურებები. სიხშირის მეთოდით  
გამოთვლილმა ვარიაციის კოეფიციენტებმა გვიჩვენა, რომ ყველაზე ზემოთ განლაგებულ პირველ  
სხეულში ოქროს განაწილება ერთობ არათანა-  
ბარია, ხოლო მეორე და მესამეში – უკიდურესად  
არათანაბარი. ცხადია, ასეთი ცვალებადობის შემთხვევაში პროგნოზული საერთო საშუალოს  
გამოთვლა დასინჯვის მონაცემთა საშუალო  
არითმეტიკულის გამოყენებით მიუღებელია. ალ-  
ბათობით-სტატისტიკური მეთოდით გამოვთვალეთ  
კლასების სიხშირესთან შეწონილი საშუალო და  
მას მივაკუთვნეთ მათემატიკური მოლოდინის  
სტატის. ფარდობითმა ცდომილებებმა საშუალო  
არითმეტიკულსა და საშუალო სიხშირესთან შე-  
წონილს შორის მიუღებლად მაღალ სიდიდეებს  
მიაღწია, რამაც ნათლად დაგვანახა, რომ ამ მი-  
ნერალიზაციის შემთხვევაში საშუალო არითმეტიკულისთვის მათემატიკური მოლოდინის სტა-  
ტის მინიჭება გაუმართლებელია.

სიხშირესთან შეწონილისა და საშუალო არი-  
ოთმეტიკულის შეფარდებით გამოვთვალეთ შეს-  
წონების კოეფიციენტი, რომელიც მოპოვებითი  
სამუშაოების დროს გააადვილებს მარაგების  
სწორად და ოპერატიულად გამოთვლას.

**საკვანძო სიტყვები:** ოქროს მინერალიზაცია;  
მინერალიზაციის ცვალებადობა; მათემატიკური  
მოლოდინი; ვარიაციის კოეფიციენტი; შესწორების კოეფიციენტი.

## 1. შესავალი

საყდრისის საბადო ბოლნისის მადნიანი  
რაიონის ერთ-ერთი მნიშვნელოვანი მინერალი-  
ზებული ტერიტორია. აქ სასარგებლო მინერა-  
ლიზაცია ორი ფორმაციითაა წარმოდგენილი:  
სპილენ-ოქროიანი და ოქროს შემცველი კვარ-  
ციტები. პირველ ფორმაციაში ორივე კომპონენ-  
ტი ძირითადია, მეორეში კი ოქრო ერთადერთი  
სასარგებლო ელემენტია. სპილენ-ოქროიანი  
ფორმაცია დამასხასიათებელია კვირაცხოვლის,  
დასავლეთ და აღმოსავლეთ ფოსტის ქედის და  
მამულისის უბნებისათვის. მეხუთე – ყაჩაღიანის  
უბანი ოქროს შემცველი კვარციტებითაა წარ-  
მოდგენილი. საერთოდ საყდრისის საბადოს  
ეკონომიკური დირებულება მასში ოქროს რა-  
დებულითაა განაირობებული, ვინაიდან ცალკე  
სპილენი რენტაბელურ გამადნებას არ წარ-  
მოადგენს.

ზემოხამოთვლილ ხუთ უბანს შორის ყვე-  
ლაზე დიდი და ყველაზე უკეთ შესწავლილი  
კვირაცხოვლია. ჩვენ გადავწყვიტეთ შეგვეს-  
წავლა ამ უბანზე ოქროს მინერალიზაციის გა-  
ნაწილების თავისებურებები, ვინაიდან ეს კვ-  
თილ მობილი ელემენტი, როგორც წესი, კონ-  
ცენტრაციის დიდი ცვალებადობით გამოირჩევა.

## 2. ძირითადი ნაწილი

საყდრისის საბადოს კვირაცხოვლის უბნის  
დეტალურად შესასწავლად გაყვანილია 23 თხრი-  
ლი, რომელთა საერთო სიგრძეა 2764.9მ. 19 ვერ-  
ტიკალური სვეტური ჭაბურღილი, როცა საერთო  
სიგრძეა 4753მ, და 11 მიწისქვეშა სამოო გამონა-  
მუშევარი, რომელთა ჯამური სიგრძეა 3301.5 მ.

მიწისქვეშა სამთო გამონამუშევრებით შესწავლითა ოთხი პორიზონტი: I პორიზონტი 842.0 მ დონეზე (შტოლნები №30 (843.0 მ), №39 (842.8 მ)), II პორიზონტი 835 მ დონეზე (შტოლნები №21 (838.3 მ), №24 (839.4 მ), №31 (833.3 მ)), III პორიზონტი 795 მ დონეზე (შტოლნები №22 (796.2 მ), №41 (793.8 მ), №25 (796.0 მ), №40 (797.0 მ)), IV პორიზონტი 718 მ დონეზე (შტოლნა №42 (718 მ)). აღებული რამდენიმე ათასი სინჯიდან 2447 გამოდგა თქროს შემცველი. საწარმომ ჩათვალია, რომ საწყის მინიმალურ შემცველობად შეიძლება მივიღოთ 0.3 გ/ტ და შემცველობის მიხედვით გამოყოფილი ზონები 0.3-0.6 გ/ტ, 0.6-0.8 გ/ტ, >0.8 გ/ტ.

მივიჩნიოთ, რომ ვინაიდან საბადოს დამუშავება მოხდება კარიერული (დია) წესით, კარგი იქნება, საძიებო შტოლნების ნიშნულებზე საპორიზონტო გეგმილების შედგენა, რაც ხელს შეუწყობს კარიერის საფეხურების ოპტიმალურ დაპროექტებას. ამ გეგმილების გარდა, თხრილების, ჭაბურღილების და მიწისქვეშა სამთო გამონამუშევრების დახმარებით შევადგინეთ რვა გარდიგარდმო და ერთი № 42 შტოლნის გასწვრივ გამაფალი ვერტიკალური ჭრილი. ყველა ამ მონაცემის ანალიზის შედეგად უბანზე გამოიყო სამი მინერალიზებული სხეული. მათ შორის ყველაზე მაღლა განლაგებული პირველი სხეული შიშვლდება ზედაპირზე და მისი გამადენებული ინტერვალია 920მ-დან 825მ-მდე, მეორე სხეულიც ზედაპირზე გამოდის პირველიდან სამხრეთ აღმოსავლეთით 18მ მოშორებით, მაქსიმალური ნიშნულით 887მ სიღრმეში იგი ვრცელდება 785 მეტრის დონემდე. მესამე სხეული ზედაპირზე არ გამოდის ის პირველი და მეორე სხეულიდან ჩრდილო-აღმოსავლეთითა განლაგებული და გამადენებული ინტერვალი 815-700 მეტრებს შორისაა მოთავსებული.

ამ სხეულებში თქროს მარაგების მისაღები სიზუსტით გამოსათვლელად აუცილებელია ამ კეთილშობილი შეტალის განაწილების ცვალებადობის თავისებურებების დადგენა. ეს საშუალებას მოგვცემს გავზარდოთ თქროს მოსალოდნებლი საშუალო შემცველობის – მათვარიკური მოლოდინის გამოვლის სანდონა. ცვალებადობა შევისწავლეთ ალბათობით-სტატისტიკური მათვარიკური მოდელით, რაც მონაცემთა ერთი რიგის კლასებად დაყოფასა და ამ კლასებში მონაცემთა რაოდენობის დადგენით

ე.წ. “სიხშირის მეთოდით” ვარიაციის კოეფიციენტის გამოთვლას გულისხმობს.

ჩვენ მიერ, ადრე, მიწისქვეშა გამონამუშევრების, ჭაბურღილების და თხრილებისთვის ცალ-ცალკე შედგენილმა მათვარიკურმა მოდელმა გააჩვენა, რომ ვარიაციის კოეფიციენტები მერყეობს 182.86%-დან (თხრილში) 218%-მდე (ჭაბურღილში). ამჟამად, მაღნიანი სხეულების გამოყოფის შემდეგ დავინტერესდით ამ სხეულებში ცვალებადობის ხარისხის მნიშვნელობებით. ამ მიზნით თოთოვეული მათგანისთვის მონაცემები დაგაჯგუფეთ ერთი რიგის კლასებად. დავოვალეთ კლასების პოპულაციები, ნებელობით გამოყოფილი ნულოვანი კლასით დაგნომრეთ “პლუს” და “მინუს” კლასებად (ცხრილები №№1,2,3 სვეტები 1-8).

იმავე სიხშირის მეთოდით გამოვთვალეთ ტიპური გადახრა (1) ფორმულით

$$\sigma = h \sqrt{\frac{\sum k_i a_i^2}{N} - \left( \frac{\sum k_i a_i}{N} \right)^2}, \quad (1)$$

სადაც  $h$  არის კლასებს შორის საზღვარი;  $k_i$  – კლასის პოპულაცია,  $a_i$  – ნებელობით არჩეული ნულოვანი კლასიდან “მინუს” და “პლუს” კლასების ნომერი,  $N$  – მონაცემთა საერთო რაოდენობა.

ვარიაციის კოეფიციენტის განსასაზღვრად ვისარგებლეთ ფორმულით

$$V = \frac{\sigma}{M_y} \times 100\%, \quad (2)$$

$$\text{აქ } M_y = \bar{c}_0 + \frac{\sum k_i a_i}{N} \times h, \quad (3)$$

სადაც  $\bar{c}_0$  არის ნულოვანი კლასის საშუალო მაჩვენებელი (ცხრილებში სვეტი 8).

შესაბამისი ცხრილების 1,2,3 სვეტების მონაცემების გამოყენებით თქროს განაწილების ცვალებადობის შესახებ მიღებული სამივე სხეულის მახასიათებლები მოცემულია მე-4 ცხრილში.

როგორც ამ ცხრილიდან ჩანს, I სხეულში თქროს განაწილება ერთობ არათანაბარია –  $V=126.96\%$ , მეორე და მესამე სხეულებში განაწილების ცვალებადობა კიდევ უფრო იზრდება და უკიდურესად არათანაბარია: მეორე სხეულისთვის  $V=279.08\%$ , მესამეში კი – 184.46%.

**ოქროს შემცველობის ცვალებადობის ინტენსიურობისა და საშუალო სიხშირესთან  
შეწონილის გამოთვლა პირველი სხეულისთვის**

კლასის ნაზღვრები	კლასის პოპულაცია $k_i$	კლასის ნომერი $a_i$	$k_i a_i$	$a_i^2$	$k_i a_i^2$	შემცველობ. ჯამი კლასები $C_i$ გ/ტ	კლასის ხარ. შემცველობა ცალკე გ/ტ	კლასის ხილიარება $W_i$	$W_i C_i$	$W_i k_i$
1	2	3	4	5	6	7	8	9	10	11
0,46	31	-1	-31	1	31	7,91	0,26	0,48	3,77	14,78
0,89	22	0	0	0	0	14,56	0,66	0,34	4,93	7,45
1,31	4	1	4	1	4	4,1	1,025	0,06	0,25	0,25
1,74	0	2	0	4	0	0	0	0	0	0
2,17	3	3	9	9	27	5,9	1,97	0,05	0,27	0,14
2,59	2	4	8	16	32	4,4	2,2	0,03	0,14	0,06
3,02	1	5	5	25	25	2,8	2,8	0,02	0,04	0,02
3,45	1	6	6	36	36	3,2	3,2	0,02	0,05	0,02
3,84	0	7	0	49	0	0	0	0	0	0
4,3	0	8	0	64	0	0	0	0	0	0
4,73	0	9	0	81	0	0	0	0	0	0
5,16	0	10	0	100	0	0	0	0	0	0
5,58	0	11	0	121	0	0	0	0	0	0
6,01	0	12	0	144	0	0	0	0	0	0
6,44	1	13	13	169	169	6,2	6,2	0,02	0,10	0,02
ჯამი	65		14		324	49,07			9,55	22,72
საშუალო			0,22		4,98	0,75				
გეაღრატი			0,05							

**ოქროს შემცველობის ცვალებადობის ინტენსიურობისა და საშუალო სიხშირესთან  
შეწონილის გამოთვლა მეორე სხეულისთვის**

კლასის ნაზღვრები	კლასის პოპულაცია $k_i$	კლასის ნომერი $a_i$	$k_i a_i$	$a_i^2$	$k_i a_i^2$	შემცველობ. ჯამი კლასები $C_i$ გ/ტ	კლასის ხარ. შემცველობა ცალკე გ/ტ	კლასის ხილიარება $W_i$	$W_i C_i$	$W_i k_i$
1	2	3	4	5	6	7	8	9	10	11
2.84	809	-1	-809	1	809	457.47	0.57	0.970	443.757	784.749
5.65	14	0	0	0	0	52.44	3.75	0.017	0.880	0.235
8.47	4	1	4	1	4	27.18	6.8	0.005	0.130	0.019
11.28	2	2	4	4	8	19.8	9.9	0.002	0.047	0.005
14.09	0	3	0	9	0	0	0	0	0	0
16.91	1	4	4	16	16	14.1	14.1	0.001	0.017	0.001
19.72	0	5	0	25	0	0	0	0	0	0
22.53	0	6	0	36	0	0	0	0	0	0

გაგრძელება

1	2	3	4	5	6	7	8	9	10	11
25.35	1	7	7	49	49	23.3	23.3	0.001	0.028	0.001
28.16	0	8	0	64	0	0	0	0	0	0
30.97	0	9	0	81	0	0	0	0	0	0
33.79	0	10	0	100	0	0	0	0	0	0
36.60	0	11	0	121	0	0	0	0	0	0
39.41	0	12	0	144	0	0	0	0	0	0
42.23	0	13	0	169	0	0	0	0	0	0
45.04	0	14	0	196	0	0	0	0	0	0
47.86	0	15	0	225	0	0	0	0	0	0
50.67	1	16	16	256	256	48.3	48.3	0.001	0.058	0.001
53.48	0	17	0	289	0	0	0	0	0	0
56.30	0	18	0	324	0	0	0	0	0	0
59.11	0	19	0	361	0	0	0	0	0	0
61.92	1	20	20	400	400	59.9	59.9	0.001	0.072	0.001
64.74	1	21	21	441	441	63.4	63.4	0.001	0.076	0.001
ჯამი			-733		1983	765.89			445.066	785.014
საშუალო			-0.88		2.38	0.92			0.567	
კვადრატი			0.77							

## ცხრილი 3

ოქროს შემცველობის ცვალებადობის ინტენსიურობისა და საშუალო  
სიხშირესთან შეწონილის გამოთვლა მესამე სხეულისათვის

კლასის სახელები	კლასის პრეცენტი ცას $k_i$	კლასის ნიზები $a_i$	$k_i a_i$	$a_i^2$	$k_i a_i^2$	შემცველობ. ჯამი კლასში $C_i / \delta$	კლასის საშ. შემცველობა ცასში, გ/ტ	კლასის სისურე $W_i$	$W_i C_i$	$W_i k_i$
1	2	3	4	5	6	7	8	9	10	11
6.4	859	-1	-859	1	859	581.97	0.68	0.966	562.331	830.012
12.77	19	0	0	0	0	155.3	8.17	0.021	3.319	0.406
19.14	4	1	4	1	4	63.1	15.775	0.004	0.283	0.017
25.51	1	2	2	4	4	21.6	21.6	0.001	0.024	0.001
31.88	2	3	6	9	18	58.8	29.4	0.002	0.132	0.004
38.25	1	4	4	16	16	34.4	34.4	0.001	0.038	0.001
44.62	1	5	5	25	25	44.1	44.1	0.001	0.050	0.001
50.99	1	6	6	36	36	50.6	50.6	0.001	0.060	0.001
57.36	0	7	0	49	0	0	0	0	0	0
63.73	0	8	0	64	0	0	0	0	0	0
70.1	0	9	0	81	0	0	0	0	0	0
76.47	0	10	0	100	0	0	0	0	0	0
82.83	0	11	0	121	0	0	0	0	0	0
89.2	0	12	0	144	0	0	0	0	0	0
95.57	0	13	0	169	0	0	0	0	0	0
101.94	0	14	0	196	0	0	0	0	0	0
108.31	0	15	0	225	0	0	0	0	0	0
114.68	0	16	0	256	0	0	0	0	0	0
121.05	0	17	0	289	0	0	0	0	0	0

გაგრძელება

1	2	3	4	5	6	7	8	9	10	11
127.42	0	18	0	324	0	0	0	0	0	0
133.79	0	19	0	361	0	0	0	0	0	0
140.16	0	20	0	400	0	0	0	0	0	0
146.53	1	21	21	441	441	144.8	144.8	0.001	0.163	0.001
ჯამი	889		-811		1403	154.67			566.398	830.446
საშუალო			-0.912		1.58	1.30				
კვადრატი			0.83							

ცხრილი 4

**ოქროს მინერალიზაციის ცვალებადობის მახასიათებლები კვირაცხოვლის სამიგე  
მაღნიანი სხეულისთვის**

მაღნიანი სხეული	მონაცემების რაოდენობა <i>N</i>	კლასებს შორის საზღ- ვარი <i>h</i>	ტიპური ანუ სტანდარ- ტული გადახრა <i>σ</i>	საშუალო, ნულოვანი კლასის მიხ- ედვით <i>M_y</i>	საშუალო არითმეტი- კული $\bar{C}_a$	ვარიაციის კოეფიც. <i>V%</i>
1	2	3	4	5	6	7
I	65	0.43	0.96	0.75	0.75	126.96
II	834	2.81	3.56	1.28	0.92	279.08
III	889	6.37	4.35	2.36	1.3	184.46

ოქროს მინერალიზაციის ცვალებადობის ასეთი მაღალი მაჩვენებლები გამორიცხავს მონაცემთა საშუალო არითმეტიკულისთვის შემცველობის პროგნოზული საერთო საშუალოს ანუ მათემატიკური მოლოდინის სტატუსის მინიჭებას. ამ უკანასკნელის გამოსათვლელად უნდა ვისარგებლოთ ალბათობის თეორიის ძირითადი პოსტულაცით, რომ შემთხვევითი მოვლენის გამორჩების შესაძლებლობა პირდაპირპორციულია ამ მოვლენის დაფიქსირების სისტემისა. მაშასადამე, თითოეული კლასის როლი პროგნოზული საშუალოს გამოთვლაში მათი პოპულაციის ანუ სისტემის შესაბამისია. ამის გამო, ჩვენ მათემატიკური მოლოდინის გამოსათვლე-

ლად შევავსეთ №1,2,3 ცხრილების მე-9, მე-10, მე-11 სვეტები და ვისარგებლეთ აპრობირებული ფორმულით

$$\bar{C}_p = \frac{\sum W_i C_i}{\sum W_i k_i}, \quad (4)$$

სადაც  $\bar{C}_p$  არის კლასის სისტემებთან შეწონილი საერთო საშუალო სიდიდე,  $W_i$  – თითოეული კლასის სისტემე  $\left( W_i = \frac{k_i}{N} \right)$ .

გამოთვლების შედეგები მოცემულია მე-5 ცხრილში.

ცხრილი 5

**მაღნიანი სხეულში საშუალო სისტემებთან შეწონილსა და საშუალო  
არითმეტიკულს შორის დამოკიდებულება**

სხეულის ნომერი	ვარიაციის კოეფიციენტი <i>V, %</i>	საშუალო არითმ. <i>C_a</i> გ/ტ	საშუალო შეწონილი <i>C_p</i> გ/ტ	ფარდობითი ცდომილება <i>δ%</i>	შეწონების კოეფიციენტი <i>K</i>
1	2	3	4	5	6
I	126.96	0.75	0.42	59.72	0.56
II	279.08	0.92	0.57	61.98	0.62
III	184.46	1.3	0.67	90.43	0.53

აქვე დაფიქსირებულია ორგორც  $\sigma$  ფარდობითი ცდომილებები, ისე საშუალო შეწონილისა და საშუალო არითმეტიკულის შეფარდებით გამოთვლილი შესწორების კოეფიციენტები. შემდგომში ამ კოეფიციენტების გამოყენება დააჩქარებს ექსპლუატაციის დროს ოპერატიული მარაგების გამოთვლას და ჩვენ საშუალო არითმეტიკულის გამოყენებით გამოთვლილი მარაგების შესწორების საშუალებას მოგვცემს.

### 3. დასკვნა

1. კერტიკალური ჭრილების, საპორიზონტო გეგმილებისა და ზედაპირული გამოსავალების ურთიერთშედარებით გამოყოფილია ოქროს შემცველი სამი სხეული, თოთოველ მათგანში მონერალიზაციის კერტიკალური გავრცელება თოქმის ას-ასი მეტრია;

2. ამ სხეულებისათვის სიხშირის მეთოდით გამოთვლილმა ვარიაციის კოეფიციენტმა აჩვენა, რომ სასარგელო მინერალიზაციის განაწილება პირველ სხეულში ერთობ არათანაბარია  $V_1 = 126.96\%$ ; მეორესა და მესამეში – უკიდურესად არათანაბარი (შესაბამისად  $V_2 = 279.08\%$ ,  $V_3 = 184.46\%$ ). ეს მაჩვენებლები გამორიცხავს მათვის გამოთვლილი საშუალო არითმეტიკულისთვის მათემატიკური მოდელინის სტატუსის მინიჭებას;

3. ალბათობის თეორიის ძირითად პოსტულატურები დაყრდნობით ჩვენ მათემატიკური მოდელინის სტატუსი მივანიჭეთ კლასების სიხშირესთან შეწონით გამოთვლილ საშუალო მაჩვენებლებს;

4. სიხშირესთან შეწონილის საშუალო არითმეტიკულთან შედარებამ გვიჩვენა, რომ მათ შორის  $\delta$  ფარდობითი ცდომილება მიუღებლად მაღალია  $\delta_1 = 59.72\%$ ,  $\delta_2 = 61.98\%$ ,  $\delta_3 = 90.43\%$ ;

5. საშუალო სიხშირესთან შეწონილის და საშუალო არითმეტიკულის შეფარდებით მივიღეთ შესწორების კოეფიციენტები. ეს კოეფი-

ციენტები საშუალებას მოგვცემს შევასწოროთ საშუალო არითმეტიკულით გამოთვლილი მარაგები, ხოლო მოპოვებითი სამუშაოების დროს მნიშვნელოვნად გაადვილებს და დააჩქარებს ოპერატიული მარაგების გამოთვლას.

### ლიტერატურა

1. Каджая Н.А., Джапаридзе Н.Н., Табатадзе М.Н. Особенности подсчета запасов полезных ископаемых месторождений с весьма и крайне неравномерным оруденением // Материалы научной сессии, посвященной 110-летию со дня рождения академика А.И.Джанелидзе. Тбилиси, 2000г., с. 402-406.
2. Каджая Н.А., Чомахидзе Н.А., Джапаридзе Н.Н., Табатадзе М.Н. Связь погрешности среднеарифметического значения данных геологических исследований с изменчивостью их распределения // Материалы научной конференции, посвященной 70-летию института и 95-летию академика Хабиба Абдуллаева, Ташкент, 2007, с. 77-79.
3. 6. ქაჯაია დ. ბლუაშვილი, 6. ჯაფარიძე, თ. ლიპარტია – ბოლნის დავით-გარეჯის ვერცხლის შემცველი არიტის მინერალიზაციის განაწილების მათემატიკური მოდელი // სტუ-ს შრომები №1(483). თბილისი, 2012, გვ. 32-36.
4. Каждан А.Б. и др. Математические модели в геологии и разведке полезных ископаемых. М.: Недра, 1979.- 168 стр.
5. 6. ქაჯაია – მუარი სასარგებლო წიაღისეულის მარაგები და მათი ანგარიშის საფუძვლები. დამხმარე სახელმძღვანელო. თბილისი: ტექნიკური უნივერსიტეტის გამომცემლობა, 2002-111 გვ.
6. 6. ჯაფარიძე, შ. ჯანაშვილი – საყდრისის ოქროს მინერალიზაციის თავისებურებანი მიწისქვეშა და მიწისზედა სამთო გამონამუშევრებსა და ჭაბურღილებში // სტუ-ს შრომები №3(489). თბილისი, 2013, გვ. 21-27.

**UDC 553.048:15.2.1**

## MATHEMATICAL MODELING OF THE VARIATION OF GOLD MINERALIZATION IN THE AREA OF KVIRATSKHOVELI AT SAKDRISI ORE DEPOSIT

**N. Kajaia, N. Japaridze. Sh. Janashvili**

Department of applied geology, Georgian Technical University, 77, M. Kostava str, Tbilisi, 0175, Georgia

**Resume:** The work considers the peculiarities of the variation in the mineralization distribution in three gold ore-bearing bodies, found in the area of Kviratskhoveli at Sakdrisi ore deposit.

The variation coefficients calculated by using the frequency method evidence, that the distribution of gold in the first body located in the most upper part is quite uneven, while the gold distribution in the second and third bodies is

extremely uneven. It is clear, that in terms of such variability, the calculation of the predictive batch mean value by using the mean arithmetical value of the sampling data is inadmissible. We used the probabilistic-statistical method to calculate the mean value weighted to the frequency of classes and assigned it the status of mathematical expectation. The relative errors between the mean arithmetical values and values weighted to average frequency reached inadmissible high values what has made it clear, that in terms of such mineralization, assigning the mean arithmetical value the status of mathematical expectation is inadmissible.

By correlating the value weighted to average frequency and the mean arithmetical value, we calculated the correction coefficient, which at mining will contribute to the correct and swift calculation of the deposit supplies.

**Key words:** gold mineralization; variation of mineralization; mathematical expectation; variation coefficient; correction coefficient.

УДК 553.048:15.2.1

## МАТЕМАТИЧЕСКОЕ МОДЕЛИРОВАНИЕ ИЗМЕНЧИВОСТИ МИНЕРАЛИЗАЦИИ ЗОЛОТА НА УЧАСТКЕ КВИРАЦХОВЕЛИ САКДРИССКОГО МЕСТОРОЖДЕНИЯ

**Каджая Н.А., Джапаридзе Н.Н., Джанашвили Ш.Г.**

Департамент прикладной геологии, Грузинский технический университет, Грузия, 0175, Тбилиси, ул. М. Костава, 77

**Резюме:** В статье рассмотрены особенности распределения минерализации в трех золотосодержащих рудных телах, выделенных на участке Квиратховели Сакдриссского месторождения.

Вычисленный методом частот коэффициент вариации показал, что в первом рудном теле распределение золота весьма неравномерное, а во втором и третьем – крайне неравномерное. Очевидно, что при такой изменчивости распределения, вычисление общего прогнозного среднего при помощи среднеарифметического данных опробования неприемлемо.

Вероятностно-статистическим методом вычислили средневзвешенное с частотой классов, присвоив ему статус математического ожидания. Относительная погрешность между средневзвешенным и среднеарифметическим значениями оказалась неприемлемо высокой, и это, в свою очередь, показало, что при данной минерализации неприемлемо присвоение статуса математического ожидания среднеарифметическому значению. Соотнеся средневзвешенное со среднеарифметическим, вычислили поправочный коэффициент, который обеспечит оперативный и правильный подсчет запасов при эксплуатации месторождения.

**Ключевые слова:** минерализация золота; изменчивость минерализации; математическое ожидание; коэффициент вероятности; поправочный коэффициент.

გილეგულია დახადვებად 13.03.14

# ქიმიური ტექნოლოგია და გეტალურბის სექცია

УДК 669.26

## ВЛИЯНИЕ ЦЕРИЯ НА ВЫСОКОТЕМПЕРАТУРНУЮ КОРРОЗИЮ ХРОМО-АЛЮМИНИЕВОЙ ЖАРОСТОЙКОЙ СТАЛИ

О.И. Микадзе<sup>1\*</sup>, А.З. Канделаки<sup>2</sup>, И.Г. Науцришвили<sup>1</sup>, Н.И. Майсурадзе<sup>1</sup>, Г.О. Микадзе<sup>1</sup>

<sup>1</sup>Департамент металлургии, материаловедения и обработки металлов, Грузинский Технический Университет, Грузия 0175, Тбилиси, ул. М. Костава, 69.

<sup>2</sup>Институт металлургии и материаловедения им. Ф.Н. Тавадзе, Грузия 0160, Тбилиси, пр. Ал. Казбеги 15.

E-mail: omikadze@yahoo.com

**Резюме:** В атмосфере воздуха при  $1200^{\circ}\text{C}$  исследована жаростойкость стали  $\text{Fe} + 16\% \text{Cr} + 5\% \text{Al} + +0,5\% \text{Zr} + 0,3\% \text{Ce}$  с высоким химическим сопротивлением, обладающей особенной коррозионной стойкостью в среде продуктов сгорания газообразного топлива при столь высоких температурах как  $1300 \pm 50^{\circ}\text{C}$ . В этом аспекте влияние церия на свойства стали в целом аналогично воздействию лантана, хотя в данном случае формирование диффузионных барьера из перовскитовых фаз в оксидной структуре не подтверждается.

**Ключевые слова:** жаростойкость; коррозия; адгезионность; кинетика.

### 1. ВВЕДЕНИЕ

Любая кинетическая модель окислительного процесса металлов и сплавов представляет собой упрощенную схему тех условий, по которой происходит прогнозирование реального процесса.

Начальная стадия окисления чисто химический процесс взаимодействия атомов кислорода и металла, дальнейшее течение которого сопровождается диффузией этих атомов через многофазный оксидный слой.

Окалины  $\text{Cr}_2\text{O}_3$  и  $\text{Al}_2\text{O}_3$  формирующие жаростойких и коррозионностойких сплавов характеризуются крайне низкими параметрами объемной диффузии, в которых основными артериями массопереноса, обус-

ловливающими их рост, являются границы растущих оксидных зерен. Поэтому одним из основных принципов разработки сплавов с высоким химическим сопротивлением является блокирование зернограничного транспорта, по крайней мере, одного из двух противоположно направленных диффузионных потоков взаимодействующих частиц [1–3].

Обычно зернограничные выделения второй фазы ускоряют, а не замедляют межкристаллитную коррозию металлов и сплавов. В этом аспекте отличаются сложные оксидные фазы типа перовскитов  $\text{RMO}_3$ , где  $\text{R}$  – один из редкоземельных металлов (лантан или иттрий [2,4]), а  $\text{M}$  означает  $\text{Cr}$  или  $\text{Al}$ . Локализованные формирования перовскитов, сегрегируясь на границах растущих зерен  $\text{Al}_2\text{O}_3$ , слабо влияют на внутреннюю диффузию кислорода и эффективно блокируют наружную катионную диффузию. Это равносильно уменьшению эффективной площади диффузии и ведет к изменению закона окисления от параболического к логарифмическому [1,3], т.е к торможению процесса.

В современной технике широко используют способность церия модифицировать сплавы на основе железа. Здесь действие  $\text{Ce}$  в целом аналогично действию  $\text{La}$ . Но, поскольку церий значительно дешевле и доступнее лантана, а также выделяется своей «нестандартной» валентностью (двойная валентность: +3 и +4) среди редких земель, применение  $\text{Ce}$  заслуживает как практический, так и теоретический интерес.

## 2. ОСНОВНАЯ ЧАСТЬ

### Результаты исследований и их обсуждение

Характер окисления исследуемого объекта фиксируемого состава, прежде всего, зависит от чистоты шихтовых материалов, условий плавки, изготовления и процедурной подготовки опытных образцов к эксперименту, а также от способа проведения этого эксперимента.

Эти аспекты неоднократно освещались ранее [5,6]. Ранее также было установлено, что в бинарной системе  $Fe-Cr$  максимальной жаростойкостью обладают сплавы, содержащие хром в интервале 16–20%. С учетом этого факта нами матрицей исследуемого сплава выбрана хромоалюминиевая сталь  $Fe+16\%Cr+5\%Al$ , дополнительно легированная цирконием (0,5%) и церием (0,3%). Как и следовало ожидать,  $Zr$  и  $Ce$  оказали позитивное влияние на жаростойкость матрицы, причем этот эффект усиливается при их совместном легировании [6]. Кроме того, снижение содержания хрома до 16% позволяет вести плавку на воздухе под флюсом и получать вполне технологические слитки, которые хорошо куются, прокатываются и обрабатываются резанием.

Удельные привесы трех параллельных образцов, изготовленных из оптимально легированной стали, выделяются крайне низкими значениями при  $1200^0C$ , не превышающими  $0,98 \text{ mg/cm}^2$  за 100 часов (рис.1).

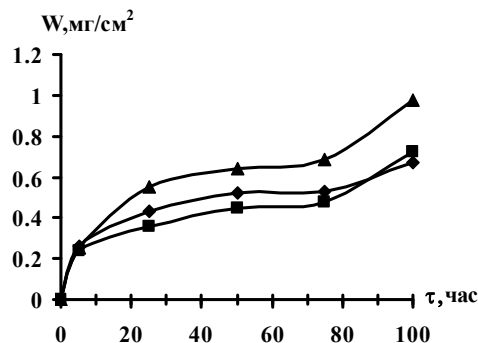


Рис.1. Кинетика окисления стали на воздухе при  $1200^0C$

Положительное влияние микродобавок церия особенно ярко проявляется на коррозионной стойкости стали, при его циклическом испытании в продуктах сгорания газообразного топлива (рис.2). Кинетика неизотермического окисления образцов при столь высокой температуре, какой является  $1300\pm50^0C$ , носит явно защитный характер и указывает на высокую адгерентность сформированной

окалины с металлической поверхностью в течение длительного периода.

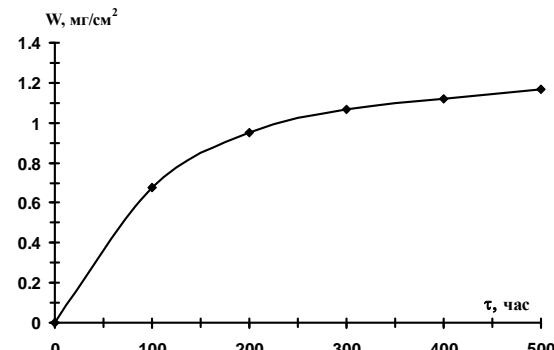


Рис.2. Кинетика окисления стали в среде топочных газов при  $1300\pm50^0C$

При исследовании начальных стадий изотермического окисления на воздухе этой же стали демонстрируется, что на формирование поверхностной пленки из оксида алюминия требуется 30-50 мин (рис.3); пленка затем утолщается противоположно направленными потоками взаимодействующих частиц. Важно при этом отметить, что медленно растущий протекторный слой длительное время сохраняет плотный контакт с металлической матрицей, обеспечивая жаростойкость и коррозионную стойкость материала.

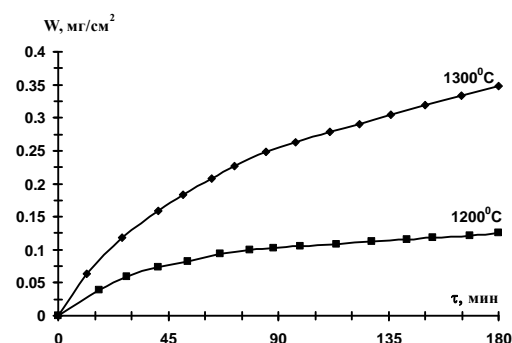


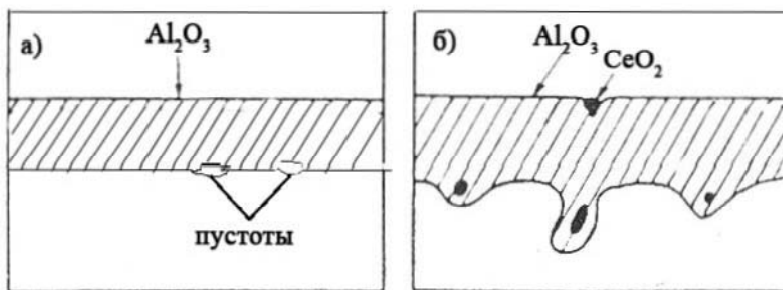
Рис.3. Начальные стадии окисления стали на воздухе

Следует отметить, что окалина, сформированная на безцерниевой стали, в процессе охлаждения от  $1200^0C$  отслаивается от матрицы. Неадгерентность окалины является результатом формирования множественных малых пустот на межфазовой границе сталь/окалина.

Стандартная свободная энергия формирования  $Al_2O_3$  и  $CeO_2$  при  $1200^0C$  на моль кислорода сос-

ставляет -801 и -787 кДж соответственно [4]. Эти значения довольно близки друг к другу и можно предположить, что  $Al$  и  $Ce$  могут окисляться одновременно на поверхности сплава. Затем  $CeO_2$  преимущественно растет вследствие высокой диффузионной проницаемости ионов кислорода сквозь этот оксид. Поэтому оксидные крепежные штифты избирательно появляются на границах зерен и выполняют роль

короткозамкнутых диффузионных путей кислорода для формирования  $Al_2O_3$ . Следовательно, растущая окалина из оксида алюминия может оказаться закрепленной штифтами из  $CeO_2$  [4], как это показано на рис.4. Основным фактором при этом качественного улучшения ее адгерентности является преодоление пустот на поверхности раздела окалины с матрицей.



С фактом классического «штифтового» закрепления окалины из  $Al_2O_3$  оксидами церия согласуется обнаруженное нами межкристаллитное распределение активных компонентов при высокотемпературном окислении хромоалюминиевой стали с присадками церия (рис.5).

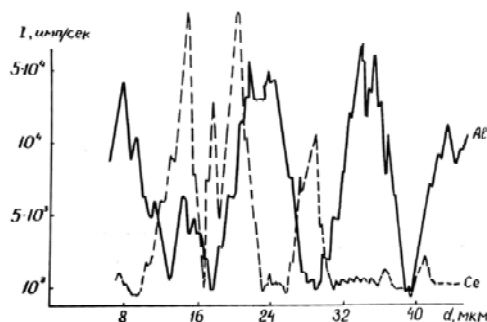


Рис.5. Концентрационные кривые распределения  $Al$  и  $Ce$  в окалине

Получение оксида трехвалентного церия намного сложнее, чем четырехвалентного, что практически исключает шанс формирования первовскитовых фаз церия ( $CeCrO_3$  или  $CeAlO_3$ ) по механизму образования хромита или алумината лантана:



подчеркивая специфику влияния церия на высокотемпературную коррозию жаростойких сплавов.

Высокое химическое сопротивление сплавов главным образом достигается посредством следующих двух факторов: снижением скорости окисления и улучшением адгерентности окалины. Сплавы эксплуатируются в переменном температурном поле, следовательно, сохранение защитной окалины является очень важным фактором длительной эксплуатации материала, особенно при его термоциклировании.

Переход на суперсверхкритические параметры (температуры и давления) водяного пара, используемого рабочей средой паросиловых блоков нового поколения, обеспечивает чистую утилизацию каменного угля и снижение эмиссии  $CO_2$  с одновременным повышением удельной мощности тепловых установок. В связи с этим, хромоалюминиевые стали с высоким химическим сопротивлением могут найти применение в качестве материала покрытия внутренней стороны паровых котлов и противостоять агрессивному воздействию плотного потока разогретого пара.

### 3. ЗАКЛЮЧЕНИЕ

Положительное влияние малых добавок церия на высокотемпературную коррозию хромо-алюминиевых сталей трудно объяснить одним простым механизмом, т.к. является результатом одновременного воздействия многих факторов, вносящих свой вклад в уменьшение скорости окисления при изотермическом развитии процесса и улучшение адгерентности окалины в процессе циклического окисления.

**ЛИТЕРАТУРА**

1. Tavadze F.N., Mikadze O.I., Keshelava N.P., Bulia B.P. J. Oxidation of Metals, 1986, v. 25, N5-6, pp.335-350.
2. Per Kofstad. High Temperature Corrosion. London and New York. Elsevier Applied Science, 1988, 558p.
3. Mikads O., Nakhutsrishvili I., Kandelaki A. Bulletin of Georgian National Academy of Sciences. 2011, v. 5, N2, pp.73-75.
4. Yasutoshi Saito. Selected Topics in High Temperature Chemistry. Amsterdam-Oxford-New York-Tokyo. Elsevier. 1989, pp.227-262.
5. Omar Mikadze, Aleksander Kandelaki. Bulletin of Georgian National Academy of Sciences. 2010, v. 4, N3, pp.66-69.
6. Зерекидзе Д.Г., Тавадзе Ф.Н., Микадзе О.И., Эбаноидзе Д.Д., Гилаури З.М. Сообщения АН ГССР, 1987, 126, №1, с.89-92.

**შაპ 669.26****ცერიუმის გავლენა ძრომალუმინიანი მხერვალმედები ფოლადის მაღალტემპერატურულ კოროზიაზი****ო. მიქაელი<sup>1</sup>, ა. კანდელაკი<sup>2</sup>, ი. ნახუცრიშვილი<sup>1</sup>, გ. მიქაელი<sup>1</sup>**<sup>1</sup>შეტალურგიის, მასალათმცოდნეობისა და ლითონების დამუშავების დეპარტამენტი, საქართველოს ტექნიკური უნივერსიტეტი. საქართველო, 0175, თბილისი, გ. კოსტავას 69.<sup>2</sup>ფერდინანდ თავაძის მეცნიერებელისა და მასალათმცოდნეობის ინსტიტუტი. საქართველო, 0160, თბილისი, ალ. კაზბეგის გამზირი 15.

**რეზიუმე:** პაერის ატმოსფეროში  $1200^{\circ}\text{C}$  ტემპერატურაზე შესწავლილია მხერვალმედეგობა  $\text{Fe}+16\%Cr+5\%Al+0,5\%Zr+0,3\%Ce$  შედგენილობის დიდი ქიმიური წინადობის მქონე ფოლადისა, რომელიც გამოირჩევა განსაკუთრებული კოროზიული მედეგობით აირადი საწვავის წვის პროდუქტების ატმოსფეროში ისეთ მაღალ ტემპერატურაზე, როგორიცაა  $1300 \pm 50^{\circ}\text{C}$ . ამასთან დაკავშირებით ცერიუმის გავლენა ფოლადის თვისებებზე თითქმის ანალოგიურია დანთანის ზემოქმედებისა, თუმცა ამ შემთხვევაში პეროვსკიტის ფაზის დიფუზიური ბარიერების ფორმირება ოქსიდის სტრუქტურაში არ დასტურდება.

**საკვანძო სიტყვები:** მხერვალმედეგობა; კოროზია; ადჰერენციულობა; კინეტიკა.**UDC 669.26****INFLUENCE OF CERIUM ON THE HIGH TEMPERATURE CORROSION OF CHROMIUM-ALUMINIUM HEAT-RESISTING STEEL****O. Mikadze<sup>1</sup>, A. Kandelaki<sup>2</sup>, I. Nakhutsrishvili<sup>1</sup>, N. Maisuradze<sup>1</sup>, G. Mikadze<sup>1</sup>**<sup>1</sup>Department of metallurgy, materials science and metal-working. Georgian Technical University, 69, M. Kostava str., Tbilisi, 0175, Georgia.<sup>2</sup>Ferdinand Tavadze Institute of Metallurgy and Materials Science. 16, Kazbegi aven., Tbilisi, 0160, Georgia.

**Resume:** The oxidation test of  $\text{Fe}+16\%Cr+5\%Al+0,5\%Zr+0,3\%Ce$  steel with particular corrosion resistance in combustion products of a gas fuel at  $1300 \pm 50^{\circ}\text{C}$  temperature was carried out in air at  $1200^{\circ}\text{C}$ . In this aspect the cerium effect on the steel oxidation behaviour was almost similar to the action of lanthanum, although the formation of diffusion barriers as perovskite phases was not observed.

**Key words:** heat-resisting; corrosion; adherence; kinetics.**მიღებულია დასაბუჭიდავ 25.03.14**

УДК 621.774. 333

## О МЕТОДИКЕ ПЛАНИРОВАНИЯ НАДЕЖНОГО ЭКСПЕРИМЕНТА В ПРОИЗВОДСТВЕННЫХ УСЛОВИЯХ

А.И. Тутберидзе\*, К.Г. Папава, С.А.Мебония

Департамент металлургии, материаловедения и обработки металлов, Грузинский технический университет, Грузия, 0175, Тбилиси, ул. М. Костава 69

E-mail: atutber 34 @ mail.ru

**Резюме:** На основании методов математической статистики разработана методика планирования надежного эксперимента по улучшению качества труб в производственных условиях. Установлено, что достаточная для производственных условий достоверность эксперимента  $P=0.813$  получается при проведении его в течение 12 смен подряд с постоянным положительным выходом.

**Ключевые слова:** прокатка труб; автоматстан 400; нестабильность результатов; планирование эксперимента; достоверность; вероятность.

### 3. ВВЕДЕНИЕ

Технологический процесс производства труб является классическим примером нестационарного объекта. На формирование окончательной продукции – трубы – оказывает влияние целый комплекс различных, часто взаимно коррелированных факторов. Несмотря на то, что операции производства труб в этом высокотемпературном процессе протекают в примерно неизменных условиях и с возможной тщательностью производственных операций, результаты их в отношении, например, точности геометрических размеров, качества поверхности, механических свойств и т.д. нестабильны, т.е. они испытывают случайное рассеивание – варьирование (флуктуацию), достигающее часто значительных величин. Причиной этого явления служит влияние факторов, как поддающихся, так и не поддающихся контролю, например, таких как случайное, но в то же время неучитываемое отклонение от оптимальных значений параметров выплавки стали, нарушение температурных режимов выпуска, скорости разливки, случайных воздействий на металл при их многократном нагреве по технологическому маршруту производства труб, случайных колебаний параметров прокатки и т.д., т.е. процесс протекает в перенасыщенном поле факторов.

Технологический процесс производства труб явля-

ется единым объектом, как бы замкнутой системой от производства стали до готовой продукции – трубы.

Планирование и проведение надежного эксперимента даже в лабораторных условиях требует тщательной подготовки и высокой квалификации экспериментатора. Производственные условия создают дополнительные затруднения, связанные с ограничением свободы действий экспериментатора, с одной стороны, и со случайными колебаниями показателей процесса, с другой, а также с невозможностью постоянного и строгого соблюдения заданных значений тех или иных факторов воздействия.

Активный эксперимент, проведенный в производственных условиях, является вмешательством в процесс и он должен вызвать некоторое возмущение текущих условий, некоторое изменение тех или иных характеристик процесса. Но эти характеристики и без того претерпевают случайные колебания и, проводя эксперимент в производственных условиях, необходимо убедиться, что эти изменения в процессе являются не результатом случайных колебаний, а направленных запланированных действий экспериментатора [1-3].

Таким образом, перед проведением производственных экспериментов необходимо предварительно изучить тот производственный фон, в котором намечено произвести изменения тех или иных (искомых) признаков.

### 4. ОСНОВНАЯ ЧАСТЬ

Целью данной работы является разработка упрощенного и в то же время достаточно надежного эксперимента при исследовании технологии прокатки труб в производственных условиях на примере ТПА 400 Руставского металлургического завода.

Авторами данной статьи собран обширный статистический материал по данным "Ведомости и окончательного осмотра труб ОТК" для стана 400 РМЗ. Рассмотрено 3016 ведомостей, в которых обединена работа 3016 смен по осмотру около 200 000 труб. Как показали сводные данные, относительные значения выхода пленистых труб для каждой смены

являются случайными величинами, характеризующимися нормальным законом распределения [4]. На основании расчета по данным всех 3016 ведомостей, количество труб, пораженных пленами, колеблется в пределах 0,089 – 0.104, т.е. из общего количества осмотренных труб в среднем 10% оказались пленистыми. Полученные значения завышены примерно на

4 – 5% , так как в них вошли трубы, которые после обреза и ремонта были приняты годными. Работу смены, в которой количество труб, пораженных пленами, меньше 10%, условно назовем «эффективная смена», работу же смены с выходом труб с пленами больше 10% - «выпадом». Ниже приведена показательная таблица выхода пленистых труб (табл.1).

Табл. 1

Число, № смены		Количество труб			Оценка смены	Число, № смены		Количество труб			Оценка смены
		n <sub>1</sub>	n <sub>2</sub>	n <sub>1</sub> / n <sub>2</sub>				n <sub>1</sub>	n <sub>2</sub>	n <sub>1</sub> / n <sub>2</sub>	
1	I	452	53	0.117	-	10	I	471	39	0.083	+
	II	316	38	0.12	-		II	523	13	0.025	-
	III	757	135	0.178	-		III	440	13	0.030	+
2	I	610	33	0,054	+	11	I	546	18	0.043	+
	II	633	66	1,104	+		II	430	65	0,151	-
	III	679	55	1,081	+/-		III	599	68	0.114	-
3	I	563	78	0,139	-	12	I	471	39	0.083	+
	II	653	44	0,067	+		II	523	13	0.025	+
	III	522	25	0,048	+		III	440	13	0.030	+
4	I	491	44	0,090	+	13	I	403	13	0.032	+/-
	II	704	52	0,074	+		II	180	8	0.044	+
	III	785	30	0,039	+		III	483	26	0.053	+
5	I	461	67	0,145	-	14	I	531	20	0.038	+
	II	726	62	0,085	+/-		II	382	21	0.055	+
	III	637	47	0,074	+		III	162	52	0.321	-
6	I	822	53	0,064	+	15	I	189	5	0.025	+
	II	827	39	0,047	+		II	139	19	0.137	-
	III	757	54	0,124	-		III	770	0	0	+
7	I	992	52	0,052	+	16	I	325	14	0.043	+
	II	736	51	0,069	+		II	725	11	0.015	+
	III	482	21	0,044	-		III	461	4	0.009	+/-
8	I	607	25	0,041	+	17	I	709	78	0.102	+
	II	575	86	0,150	+		II	746	62	0.083	+
	III	614	44	0,073	-		III	765	61	0.080	+
9	I	546	18	0.033	+	26	I	595	33	0.052	+
	II	430	65	0.151	+		II	421	110	0.261	-
	III	599	68	0.114	+		III	728	82	0.113	-

В таблице 1 дается частота появления событий, причем приняты следующие обозначения: 1. «эффективная смена» обозначена знаком (+); 2. «выпад» - знаком (-); 3. количество труб в смене -  $n_1$ ; 4. количество труб с пленами -  $n_2$ .

Получена картина некоторой закономерности чередования этих событий - закон их распределения. За 10 месяцев из общего числа рабочих смен (909) оказались «эффективными» 687, т.е. вероятность появления «эффективной смены» равна

$$P_{\text{эф.}} = 687/909 = 0,756.$$

Рассмотрим появление «эффективной смены»  $A_{xi}$  по следующим признакам: обозначим количество единичных «эффективных смен», т.е. до и после которых появляются «выпады» символом  $-A_1$ ; количество двух «эффективных смен» подряд  $-A_2$ , трех  $-A_3$  и т.д.

Ниже приводится показательная таблица распределения частоты появления события «эффективная смена» (табл.2).

Табл. 2

$A_{xi}$	$A_1$	$A_2$	$A_3$	$A_4$	$A_5$	$A_6$	$A_7$	$A_8$	$A_9$	$A_{10}$	$A_{11}$	$A_{12}$	$A_{13}$	$A_{14}$	$A_{15}$	$A_{16}$	$A_{26}$
Случай эф.	47	34	11	14	13	9	2	4	5	7	3	3	1	2	2	1	3
Всего смен	47	68	33	56	65	54	14	32	45	70	33	36	13	30	48	17	26

В соответствии с принятыми признаками для наглядности построен график распределения частоты появления «эффективных смен» (рис.1).

Установим границы для среднего значения в общей совокупности по его значениям в частной совокупности. Выбрав 5% -ный уровень значимости при числе степеней свободы  $(n-1)=10-1=9$ , можно утверждать, что с вероятностью 0.95 среднее значение выхода труб, пораженных пленами, в общей совокупности находится между границами 0.0894 – 0.1106.

Как говорилось ранее, вероятность появления «эффективной смены»  $P_{\text{эф.}} = 0,76$ , из чего, однако, можно заключить, что наугад взятая смена будет «эффективной» с той же вероятностью  $P_1 = 0,76$ . Вероятность появления двух «эффективных смен» подряд  $P_2 = 0,70$  из того расчета, что в ней уже участвует вероятность появления единичной «эффективной смены» (см. табл.2), что следует из нижеприведенного расчета:

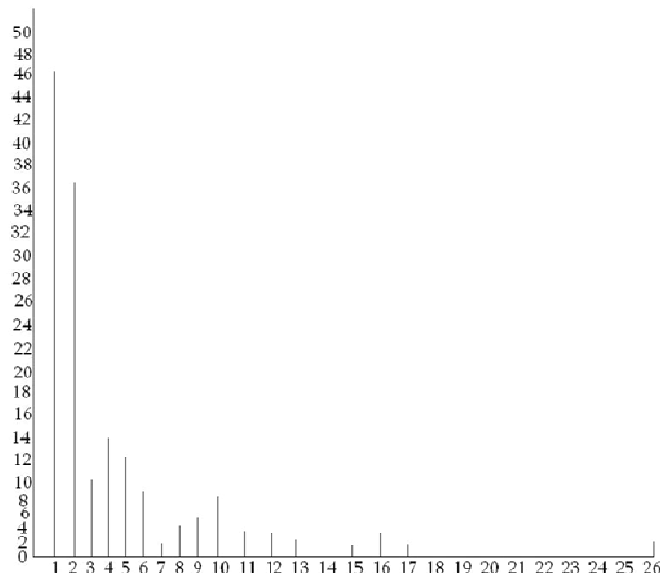


Рис.1 График распределения частоты появления события «эффективная смена»

$$P_1 = (687 - 47)/909 = 0,701.$$

Проводя аналогичные расчеты, получаем:

$$P_2 = [687 - (47 + 68)]/909 = 0,628; P_3 = 593; P_4 = 593; P_5 = 0,531; P_6 = 460; P_7 = 0,400; P_8 = 0,385; P_9 = 350;$$

$P_{10}=0.300$ ;  $P_{11}=0.223$ ;  $P_{12}=0.187$ ;  $P_{13}=0.147$ ;  
 $P_{14}=0.133$ ;  $P_{15}=0.100$ ;  $P_{16}=0.047$ ;  $P_{26}=0.029$ .

Исходя из этих расчетов, можно заключить: проводя эксперимент в течение одной смены, и заведомо зная, что с вероятностью 0.76 она будет «эффективной», полученные вследствие эксперимента искомые результаты будут достоверны с низкой вероятностью  $P=1-0.756=0.244$ .

Достоверность эксперимента будет возрастать с увеличением количества смен следующим образом:

$P_1=1-0.756=0.244$ ;  $P_2=1-0.704=0.296$ ;  $P_3=1-0.628=0.372$ ;  $P_4=0.407$ ;  $P_5=0.469$ ;  $P_6=0.540$ ;  $P_7=0.600$   
 $P_8=0.615$ ;  $P_9=0.650$ ;  $P_{10}=0.700$ ;  $P_{11}=0.777$ ;  $P_{12}=0.813$ ;  
 $P_{13}=0.853$ ;  $P_{14}=0.867$ ;  $P_{15}=0.900$ ;  $P_{16}=0.953$ ;  $P_{26}=0.971$ .

### 3. ЗАКЛЮЧЕНИЕ

Таким образом, при проведении активного эксперимента, например, по улучшению качества труб, управляя тем или иным (выбранным) параметром процесса прокатки на автоматстане 400 Руставского

металлургического комбината, получаем достаточную для производственных условий достоверность эксперимента  $P=0.813$ . Такая достоверность эксперимента получается при проведении его в течение 12 смен подряд с постоянным выходом «эффективной смены».

### ЛИТЕРАТУРА

- Папава К.Г., А.И. Тутберидзе А.И., Оклей Л.Н. Критерий надежности эксперимента при исследовании качества труб // Сообщения АН ГССР, #3, 1974, с. 645-647.
- Оклей Л.Н., Тутберидзе А.И. Планирование эксперимента на РМЗ // Сообщ. АН ГССР, #2, 1986, с. 445-448.
- Адлер Ю.Ф. Введение в теорию планирования эксперимента. М.: Наука, 1969.-276 с.
- Митопольский А.К. Техника статистических исследований – М.: Наука, 1971.

უაკ 621.774. 333

საქართველო პირობებში საიმედო ექსპრიმენტის დაგეგმვის მეთოდის შესახებ  
ა. თუთბერიძე, კ. პაპავა, ს. მებონია

მეცნალურების, მასალათმცოდნების და ლითონების დამუშავების დეპარტამენტი, საქართველოს  
ტექნიკური უნივერსიტეტი, საქართველო, 0175, თბილისი, მ. კოსტავას 69

**რეზიუმე:** მათემატიკური სტატისტიკის მეთოდების საფუძველზე შემუშავებულია საწარმოო პირობებში საიმედო ექსპრიმენტის დაგეგმვის მეთოდიკა.

დადგენილია, რომ საწარმოო პირობებისათვის ექსპრიმენტის საკმარისი უეჭველობა მიიღება მისი ზედიზედ 12 ცვლის განმავლობაში ჩატარებისას მუდმივი დადებითი გამოსავლით.

**საკვანძო სიტყვები:** მილის გლინვა; შედეგების არასტაბილურობა; ექსპრიმენტის დაგეგმვა; უტყუარობა; ალბათობა; ავტომატური დგანი 400.

UDC 621.774. 333

ON THE METHODS OF PLANNING A RELIABLE EXPERIMENT IN PRODUCTION CONDITIONS

A.Tutberidze, K. Papava, S. Mebonia

Department of metallurgy, materials science and metal working, Georgian Technical University, 69, M. Kostava str, Tbilisi, 0175, Georgia

**Resume:** There have been developed the methods of planning a reliable experiment for mass production conditions on the basis of mathematical statistics.

According to the methods evolving; reliability of the obtained results will have a fully high ( $P=0.8$ ) probability.

**Key words:** rolling of tube; automatic tool 400; non-stability of results; planning of experiment; reliable; probability.

მიღებულია დასაბუქრად 13.03.14

# სატრანსპორტო და მანქანათმშენებლობის სექცია

უაკ 69.1:628.611

ეპონომიკური სუბიექტების პონტურმნიული პოლიტიკა და მისი როლი  
ძველის ეპონომიკის განვითარებაში

გ. ტყეშელაშვილი, ა. მებონია\*

ტრანსპორტის და მანქანათმშენებლობის დეპარტამენტი, საქართველოს ტექნიკური უნივერსიტეტი,  
საქართველო, 0175, თბილისი, მ. კოსტავას 68<sup>მ</sup>

E-mail: a.mebonia@gtu.ge

**რეზიუმე:** განხილულია კონკურენციული პოლიტიკის როლი ეკონომიკის განვითარებაში, კონკურენციის არსი, მისი ძირითადი მიზანი და ამოცანები, მათთან დაკავშირებული სირთულეები. დასახულია ამ ამოცანების გადაჭრის გზები.

**საკანონო სიტყვები:** კონკურენცია; ბაზარი;  
ბიზნესი.

## 1. შესავალი

ქვეყნის ეკონომიკის განვითარების მთავარი წინაპირობა არის ცივილიზაციული და თავისუფალი საბაზრო ურთიერთობების ჩამოყალიბება, მისი ერთ-ერთი საფუძველთაგანი კი – ეკონომიკაში რეალური კონკურენციის არსებობა.

კონკურენცია არის ეკონომიკურ სუბიექტებს შორის ისეთი შეჯიბრი, რომლის დროსაც მათი დამოუკიდებელი მოქმედებები უფასებრიანად ზღუდავს თითოეულის შესაძლებლობას ცალმხრივად იმოქმედოს საქონლის მიმოქცევის საერთო პირობებზე შესაბამის სასაქონლო ბაზარზე. კონკურენცია არის ეკონომიკური სუბიექტების ინტერესების შეტოვება კაპიტალის ოპტიმალურად გამოყენების მიზნით. კონკურენციის არარსებობის პირობებში მომსმარებელს გაცილებით მეტი თანხის გადახდა მოუწევდა სასურველი საქონლის შესაძნად, ვიდრე რეალურად დირს [5].

კონკურენცია უძველესი დროიდან არსებობდა, მაგრამ, ცხადია, შედარებით მარტივი სახით. იმ სახით, როგორიც დღეს არის გაბატონებული, კონკურენცია განვითარდა ეკონომიკური შუასაუკუნო-

ვანი პრივილეგიების ლიკვიდირების და კაპიტალიზმის თანდათან დამკიდრების შემდეგ. კონკურენციის ცნების დახვეწა-განვითარებას როგორც თეორიული, ისე პრაქტიკული თვალსაზრისით ბიძგი მისცა შრომის საზოგადოებრივი განაწილების დამკიდრებამ და სხვა ფაქტორებმა.

## 2. ძირითადი ნაწილი

კონკურენცია ეკონომიკის მდგრადი განვითარების საწინდარია, რადგან სტიმულს აძლევს მოთხოვნილი პროდუქციის ფართო ასორტიმენტის წარმოებას საჭირო რაოდენობით და ნაკლებ ფასად, ასევე ტექნიკურ პროგრესს (მოთხოვნის ზრდა თავის მხრივ ხელს უწყობს პროდუქციის ხარისხის გაუმჯობესებას), რესურსების ოპტიმალურ განაწილებას, ბაზრის სტრუქტურის განახლებას.

კონკურენცია შეიძლება მივიჩნიოთ თავისუფალი ბაზრის სიმბოლოდ, საბაზრო ურთიერთობების ძირითად ქვაკუთხედად, რომლის საფუძველზეც ხდება საბაზრო მეურნეობის და თავისუფალი ეკონომიკური არჩევანის ძირითადი პრიციპების შესრულება.

კონკურენციის ფაქტორი ასევე დიდია ამა თუ იმ სახის პროდუქციის ფასწარმოქმნის პროცესში. მის როლს ითვალისწინებენ სასაქონლო ბაზრის მოთხოვნა-მიწოდების დაბალანსებისას. აღნიშვნული ფაქტორი ხელს უწყობს მომხმარებლისთვის მეტაპლებად მისაღები ფასის ფორმირებას. ასე რომ, კონკურენცია ფასწარმოქმნის მნიშვნელოვანი ელემენტია.

კონკურენციის ძირითადი მიზანები და ამოცანებია:

- ლოგალური თვალთახედვით ანუ მეწარმის პოზიციიდან უპირატესობის მოპოვება ბაზრის ეკონომიკურ სუბიექტებს შორის და ამის შედეგად მაქსიმალური მოგების მიღება.

- გლობალური თვალთახედვით ანუ სახელმწიფოს ეკონომიკური პოლიტიკიდან გამომდინარე, ეკონომიკაში ცივილიზებული საბაზრო ურთიერთობების ჩამოყალიბება და ეკონომიკურ სუბიექტებს შორის კონკურენციული ბრძოლის თანაბარი პირობების შექმნა, რაც უზრუნველყოფს ბაზრის სტაბილურობას და მდგრადობას.

კონკურენციის მექანიზმის მოქმედებისას აისახება როგორც მომხმარებლის, ისე მწარმებლის ინტერესები. მაქსიმალური მოგებისაკენ სწრაფვა მწარმოებელს დანახარჯების შემცირებისაკენ მიმართავს, რაც შესაძლებელია წარმოების ოპტიმიზაციით – ახალი ტექნიკისა და ტექნოლოგიების დანერგვით, მომსახურე პერსონალის კვალიფიკაციის ამაღლებით, შრომის ორგანიზაციის სრულყოფით და სხვა. შედეგი პროდუქციის ერთეულის ფასის შემცირებაა, რაც მოგების გაზრდის საწინარია [5].

ზოგადად კონკურენციის პოლიტიკა ეფუძნება იმ ფუნდამენტურ თეზის, რომლის მიხედვითაც საბაზრო ძალაუფლების მოპოვებამ და მისმა გამოყენებამ შესაძლოა საფრთხე შეუქმნას საზოგადოების ეკონომიკური კეთილდღეობის დონეს. კონკურენციული პოლიტიკის მექანიზმები საფუძველს უქმნიან საბაზრო ურთიერთობებს და ხელს უწყობენ ისეთი კონკურენტუნარიანი ფირმების შექმნა-განვითარებას, რომლებსაც ძალაუფლობის წარმატებული მოღვაწეობა ქვეყნის მასშტაბით, ისე მონაწილეობა საერთაშორისო ვაჭრობაში. ზოგადად, კონკურენციის პოლიტიკის მიზანი მომხმარებლის კეთილდღეობაა. აღნიშნული არის: კონკურენციული პოლიტიკის ტექნიკური ფუნქცია, რომელიც უშუალოდ აკავშირებს ერთმანეთთან კონკურენციის ხელშეწყობისა და ეკონომიკური ეფექტურობის ზრდას; მომხმარებლის დაცვა – ინდივიდის დაცვა დიდი ბიზნესის გან, რაც მორალური ან პოლიტიკური მიზნებითაა განპირობებული.

აღნიშნული დადებითი ფაქტორები (რომლებიც აისახება ქვეყნის ეკონომიკის განვითარებაზე) ეფექტიანია მაშინ, როდესაც ადგილი აქვს რეალურ, ჯანსაღ კონკურენციას და არა ამა თუ იმ ეკონომიკური სუბიექტის ან სუბიექტების მიერ ბაზრის არსებული მდგრმარეობის, ასე ვთქვათ ”ბოროტად გამოყენებას” (მაგ.: კარტელური შეთანხმება ფასის დაწესებასთან დაკავშირებით,

კონკურენტი ბიზნესის ჩაგდებისთვის ბრძოლის არასამართლებრივი და ზოგჯერ ბინდური მეთოდების გამოყენება, ფარული გარიგება შესაბამის სახელმწიფო სტრუქტურასთან და სხვა), რაც არცთუ იშვიათია. აქედან გამომდინარე, სახელმწიფოს ეკონომიკური პოლიტიკის ერთ-ერთი უმნიშვნელოვანები ამოცანაა იმ სამართლებრივი მექანიზმების შემუშავება და, რაც მთავარია, შესრულება, რომლებიც უზრუნველყოფებ შესაბამის სასაქონლო ბაზრების დომინანტი ეკონომიკური სუბიექტების მხრიდან არსებული მდგრმარეობის არაკეთილსინდისიერად გამოყენების ალბათობის მაქსიმალურად შეზღუდვას, მსგავსი ფაქტების გამოვლენას და აღკვეთას.

იქ, სადაც მცირეა ბაზრის მოცულობა და მწარმებელთა რაოდენობა, ადგილად იბადება მონოპოლიური და ოლიგოპოლიური სტრუქტურები. ასეთ შემთხვევაში სახელმწიფოს ჩაურევლობა ბაზარზე ხშირად მიჩნეულია, როგორც მონოპოლიის ხელშეწყობა, რაც მკვეთრად უარყოფითი შედეგების მომტანია [1].

როგორც სახელმწიფოს ეკონომიკური პოლიტიკის, ისე კერძო ბიზნესის დონეზე კონკურენციის როლის უგულებელყოფამ, მისი მოსალოდნებლი სოციალურ-ეკონომიკური შედეგების გაუთვალისწინებლობამ, შეიძლება საქმე კრიზისამდე მიიყვანოს.

თანამედროვე ტიპის პროგრესული საზოგადოებისათვის დამახასიათებელია შეზღუდული ეკონომიკური რესურსების ოპტიმალური განაწილება საბაზრო მეურნეობის პირობებში, სადაც მაქსიმალურად დაცულია კონკურენტული გარემო.

პრაქტიკულად დადასტურებულია, რომ საზოგადოების ეკონომიკურ წარმატებას ჯანსაღ კონკურენციაზე დაფუძნებული ურთიერთობები განაპირობებს [3].

კონკურენციული პოლიტიკის საკითხები უშალოდაა დაკავშირებული „ბიზნესის ეთიკის“ საკითხებთან. კონკურენციულ ბრძოლაში წარმატების ერთ-ერთი საწინარია ბიზნესის ეთიკის ნორმების მაქსიმალურად დაცვა ეკონომიკური სუბიექტის მხრიდან. კონკურენციული ბრძოლის და ბიზნესის ეთიკის ნიუასები პირდაპირ კავშირშია ერთმანეთთან. ბიზნესის ეთიკისა და ქცევის წესების პრობლემებთან დაკავშირებით აღსანიშნავია შემდეგი გარემოებები: ეკონომიკური სუბიექტი ვერ ახერხებს სტაბილურობის შენარჩუნებას, რაც აისახება მის მიერ წარმოებული პროდუქციის ხარისხის ჯერ თანდათანობით, შემდეგ კი მკვეთრ გაუარესებაში, რაც იწვევს მომხმა-

რებლის სკეპტიციზმს და ესა თუ ის ბიზნესობიექტი თანდათან კარგავს მომხმარებელს (დახურვა, ლიკვიდაცია). ეს მოსაზრება მეტწილად ეხება კვების ობიექტებს, რომელთაც მომხმარებელი, ასე თუ ისე, სტაბილურად ჰყავთ. ზოგ შემთხვევაში ისინი მაინც ინარჩუნებენ მომხმარებელს (მცირე დანაკარგის გამოკლებით), რადგან მომხმარებელი მიჩვეულია კონკრეტულ ადგილას ერთი და იმავე სახის პროდუქციის შეძენას, თაგან არიდებს შორს წასვლას და სჯერდება იმას, რაც არის. ასეთი სურათი გვაქვს კონკურენციის არარსებობის ან არასაგმარისი კონკურენციის პირობებში. კონკრეტულ ადგილას სხვა ანალოგიური პროდუქციის მწარმოებელი საწარმოს ფუნქციონირების შემთხვევაში X მეწარმე იძულებული იქნება იზრუნოს (მაქსიმუმი გაიღოს) მომხმარებლის შესანარჩუნებლად, რადგან ეს უკანასკნელი პოტენციურად Y მეწარმის მომხმარებელიცაა და წინააღმდეგ შემთხვევაში მომხმარებელი გახდება Y მეწარმის კლიენტი.

კონკურენცია აიძულებს მეწარმეს იყოს მუდმივად მობილისტებული, რათა პროდუქციის წარმოების პროცესი ჩავარდნის გარეშე წარიმართოს, ვინაიდან კონკურენციის მკაცრი კანონებიდან გამომდინარე, მეწარმე მყის დაკარგავს მომხმარებელს, რომელიც მისი კონკურენციის მომხმარებელი გახდება, ამიტომ თითოეული ეკონომიკური სუბიექტი კონცენტრირებული იქნება არა, მაგალითად, ნედლეულის ეკონომიკურ, რაც უარყოფითად აისახება პროდუქციის ხარისხზე, არამედ პროდუქციის ხარისხის გაუმჯობებებასა (თუნდაც მასზედ გაწეული დანახარჯების გაზრდის შემთხვევაში) და ამით მეტი მომხმარებლის მოზიდვაზე [4]. შედეგად მოგებული დარჩება არა მარტო მომხმარებელი, არამედ მეწარმეც და, აქედან გამომდინარე, ქვეყნის ეკონომიკაც. ასე ხდება მირითადად დასავლეთის განვითარებულ ქვეყნებში.

ეკონომიკაში აღიარებული არაერთი მეცნიერის მოსაზრებით, სრულყოფილი კონკურენცია ბუნებაში არ არსებობს და ეს მხოლოდ თეორიული კონსტრუქციაა [2], მაგრამ, მიგვაჩინა, რომ სახელმწიფოს ეკონომიკური პოლიტიკის განხორციელების პროცესში, ამ კონკრეტული მომართულებით მიზანი უნდა იყოს სრულყოფილებისკენ სწრაფვა. ეს იმაზე უკეთესი შედეგის მომტანია, გილრე დაყაბულება, რომ სრულყოფილი კონკურენცია ხონსენსია და შეუძლებელია მისი მიღწევა, რადგან უოველთვის იქნება ბიზნესისა და ეკონომიკის ჩრდილოვანი კონ-

ტროლი. პირველ რიგში აუცილებელია საზოგადოების აზროვნების სტილის შეცვლა გარკვეული სტერეოტიპების აღმოფხვრის გზით, იმის შესახებ, რომ კლანურობა არა მარტო ეკონომიკას, არამედ პოლიტიკასაც და საზოგადოებრივი ყოფის სხვა სფეროებსაც ეხება. ზოგადად ჩვენი საზოგადოებისთვის დამახასიათებელია გარკვეული სტერეოტიპების „ტყვეობაში ყოფნა“. აუცილებელია ამ სტერეოტიპების აღმოფხვრა ჯერ საზოგადოების დონეზე. ნებისმიერი მიმართულებით ეკონომიკური პოლიტიკის განხორციელებისას მიზანი უნდა იყოს შესაძლებლიდან მაქსიმუმის დაგეგმვა და მიღება, ქვეყნისა და საზოგადოების სასარგებლოდ და არა რამდენიმე ჩინოვნიკისა და ბიზნესმენის გასამდიდრებლად. ამ მოსაზრებას, ზოგადად, ყველა ეთანხმება, მაგრამ, რეალურად, აღნიშნული არასრულყოფილად ხორციელდება. ეს არის ერთ-ერთი მიზეზი იმისა, რომ ბოლო 20-22 წლის განმავლობაში ეკონომიკის განვითარების დინამიკა არამყარია, რისი ნიშანიც ამ პერიოდში მოსახლეობის დიდი ნაწილის გადარიბებაა; მაგრამ აღსანიშნავია ეკონომიკური აღმავლობის პერიოდებიც (2005-2008 წლის I ნახევრამდე), რომელიც, სამწუხარიდ შეტერდა საყოველთაოდ ცნობილი მიზეზების გამო.

სრულყოფილი კონკურენციის თეორიული მოდელის საფუძვლად იგულისხმება ფასის განსაზღვრა კონკრეტულ შემთხვევაში არსებული მოთხოვნა-მიწოდების ბალანსის მიხედვით. ასევე აღსანიშნავია:

1. მრავალი დამოუკიდებელი ეკონომიკური სუბიექტის და მომხმარებლის არსებობა, რომელთანან ვერც ერთი ვერ შეძლებს ფასების დიქტატს;
2. ბაზარზე იღენტური საქონლის გამოტანა;
3. ყველა ეკონომიკური სუბიექტისა და მომხმარებლისთვის საქონლის ფასებზე სრული ინფორმაციის არსებობა;
4. იმ შეზღუდვების გამორიცხვა, რომელიც ხელს შეუშლიდა ბაზარზე ახალი ეკონომიკური სუბიექტის შემოსვლას და სხვ.

### 3. დასკვნა

საბაზრო ურთიერთობათა რელსებზე ქვეყნის ეკონომიკის მოდიფიკაციის პროცესი რომ როგორია, ბოლო ათწლეულებმა გვიჩვენა (ეს ზოგადად პოსტინციალისტური სივრცის ყველა ქვეყანას ეხება). ყველგან, სადაც ეს პროცესი მეტნაკლები წარმატებით განვითარდა, დადებითი შედეგის განმაპირობებელი ფაქტორი იყო სა-

ხელმწიფოს პოლიტიკური ნება, რაც გამოიხატება გატარებული ეკონომიკური რეფორმებით, რომელთა ერთ-ერთი მნიშვნელოვანი შემადგენელი ელემენტია თანამიმდევრული კონკურენციული პოლიტიკის რეალიზაცია, რომელიც უნდა იყოს პარმონიზებული გარე სამყაროსთან. ამისათვის ჯერ საზოგადოებრივი აზრი უნდა იყოს მომზადებული, ვინაიდან აუცილებელია საზოგადოების მზაობა ამა თუ იმ პრობლემის გადაჭრისთვის ბრძოლაში, რომ სახელმწიფო დონეზე განხორციელდეს იმ ტიპის ეკონომიკური რეფორმები, რომლებიც საბოლოოდ წარმატების მომტანი იქნება ქვეყნისათვის.

### ლიტერატურა

1. პ. ლეიაშვილი. ეკონომიკური თეორია და პრაქტიკა გარდამავალ ეტაპზე. თბილისი: აზრი, 1996.- 60 გვ.
2. ვ. პაპავა. საქართველო საბაზრო ეკონომიკის გზაზე. თბილისი: მეცნიერება, 1995.- 203გვ.
3. რ. ასათიანი. ეკონომიკის. თბილისი: თსუ, 1996.- 228გვ.
4. ლ. გარდიშვილი. კონკურენტული გარემოს ფორმირების მეთოდების სრულყოფა საქართველოში. თბილისი: თსუ, 1999.- 120გვ.
5. გ. ოოდუა, რ. გოგოხია, რ. ქუბიძე. ეკონომიკის პრინციპები (ლექციების კურსი). თბილისი: 2008.- 176გვ.

**UDC 69.1:628.611**

## COMPETITION POLICY OF ECONOMIC SUBJECTS AND ITS ROLE IN DEVELOPMENT ECONOMY OF COUNTRY

**G. Tkeshelashvili, A.Mebonja**

Department of transport and mechanical engineering, Georgian Technical University, 68<sup>b</sup>, M. Kostava str, Tbilisi, 0175, Georgia

**Resume:** There is considered the role of a competition policy in economy development, essence of the competition, its main purposes and problems, difficulties connected with their achievement. There are planned certain ways for the solution of these tasks.

**Key words:** competition; market; business.

**УДК 69.1:628.611**

## КОНКУРЕНТНАЯ ПОЛИТИКА ЭКОНОМИЧЕСКИХ СУБЪЕКТОВ И ЕЕ РОЛЬ В РАЗВИТИИ ЭКОНОМИКИ СТРАНЫ

**Ткешелашвили Г.В., Мебония А.С.**

Департамент транспорта и машиностроения, Грузинский технический университет, Грузия, 0175, Тбилиси, ул. М. Костава, 68<sup>b</sup>

**Резюме:** Рассмотрена роль конкурентной политики в развитии экономики, сущность конкуренции, ее основные цели и задачи, трудности, связанные с их осуществлением. Намечены определенные пути для решения этих задач.

**Ключевые слова:** конкуренция; рынок; бизнес.

გილებულია დასაბუქდა 21.03.14

**შაბ 613292**

## მცენარეული ნედლეულისბან მრავალკომარნენტიანი საპვებ-სამპურნალო პროდუქციის მიღების გაუმჯობესების გზები

**თ. მეგრელიძე, ვ. ლევანიანი, გ. გუგულაშვილი, ე. სადადაშვილი\*, ბ. ლევანიანი**  
კვების ინდუსტრიის დეპარტამენტი, საქართველოს ტექნიკური უნივერსიტეტი, საქართველო, 0175,  
თბილისი, მ. კოსტავას 68<sup>ა</sup>

E-mail: etosadagashvili@gmail.com

**რეზიუმე:** განხილულია მრავალკომპონენტიანი საკებ-სამკურნალო მცენარეული პროდუქტის წარმოების არსებული ტექნოლოგია. ნაჩვენებია, რომ მიღებული საბოლოო პროდუქტის ხარისხის გასაუმჯობესებლად სასურველია ყველა კომპონენტის ერთდროულად გადამუშავება დამჭერილებული საფიქსაციო მანქანაში. შემოთავაზებულია დამჭერილებული საფიქსაციო მანქანის მკვებავი მოწყობილობა და მოცემულია მისი მწარმოებლობის განსაზღვრის მეთოდიკა.

**საკვანძო სიტყვები:** კომპონენტები; ნედლეული; ხარისხი; ფიქსაცია; დამჭერილებული საფიქსაციო.

### 1. შესავალი

დღევანდვლი მსოფლიოში განსაკუთრებული მნიშვნელობა ენიჭება ისეთი მაღალეფების უზრუნველყოფით პროდუქტების და სამკურნალო საშუალებების წარმოებას, რომლებიც ძალზე სასარგებლო იქნება ადამიანის ჯანმრთელობისათვის.

ამ მხრივ აღსანიშნავია საქართველოს საკვებ-სამკურნალო მცენარეული ნედლეული, რომელიც ხასიათდება მრავალმრივი კვებითი, სამკურნალო თვისებებით და შეიცავს უამრავ ბიოლოგიურად აქტიურ ნივთიერებას. მათგან შესაძლებელია ეკოლოგიურად სუფთა და მრავალკომპონენტიანი ფუნქციური პროდუქტებისა და კარგი ბიოლოგიური თვისებების მქონე სამკურნალო საშუალებების მიღება.

### 2. ძირითადი ნაწილი

საკვებ-სამკურნალო მცენარეული ნედლეულის სასარგებლო თვისებების მაქსიმალურად შენარჩუნებისათვის საჭიროა ამ ნედლეულის გადა-

მუშავება ისეთ პირობებში, როდესაც არ მოხდება მცენარის უჯრედისგან გამოსული წვენის ფარმენტაცია. ამისათვის დამუშავებულია მცენარეული ნედლეულის გადამუშავებების მეთოდი და მისი რეალიზაციისათვის საჭირო დამჭერილებრ-დამჭერილებების საფიქსაციო მანქანა, რომელშიც ხორციელდება გადასამუშავებელი ნედლეულის ჰყლები-დამჭერილებები. ამის შედეგად უჯრედშიგა კაპილარული წვენი გამოიდევნება ზედაპირზე. ეს განაპირობებს გარემოსთან ფერმენტების საკონტაქტო ფართობის მკვეთრ ზრდას. აღნიშნული პროცესი მიმდინარეობს მაღალი ტემპერატურის (100–110 °C) წელის ორთქლის გარემოში, რის შედეგადაც პროდუქტის ყველა ნაწილის ტემპერატურა 2–3 წელში აღწევს 55–60 °C-ს. ეს აუცილებელი და საგარეოსა ფერმენტების ინაქტივაციისა და პროდუქტის არსებული ნივთიერებების საწყისი მონაცემების ფიქსაციისათვის.

საკვებ-სამკურნალო მცენარეების დიდი ნაწილი უშუალოდ ცალკე გამოიყენება, რისთვისაც არსებობს მათი გადამუშავებების და სამკურნალო საშუალებების წარმოების შესაბამისი ტექნოლოგიები. მაგრამ, როგორც სამკურნალო, ისე კვების დანიშნულებით სამკურნალო საშუალებების დიდი ნაწილი გამოიყენება ნარევების სახით. ამისათვის ხორციელდება წინასწარ საბოლოო პროდუქტის სახემდე ცალკე მომზადებული მცენარეული კომპონენტების უშუალოდ გამოყენების წინ კუპაჟირება და სასურველი შედეგების ნარევის მიღება. შეიძლება აღინიშნოს, რომ წინასწარ საბოლოო სახემდე დაყვანილი კომპონენტების შერევის ეფექტურობა მცირეა. ვერ ხერხდება ცალკეული კომპონენტების ყველა სასარგებლო თვისების შენარჩუნება. ამის გამო, მრავალკომპონენტიანი საკვები და სამკურნალო საშუალებების თვისებები გაუარესებულია ცალკეული კომპონენტების თვისებებთან შედარებით. ამ თვისებების გაუმჯობესება

შესაძლებელია ნერევში შემავალი კომპონენტების ერთობლივი გადამუშავების შემთხვევაში.

მაღალხარისხიანი მრავალქომპონენტიანი პროდუქტის მიღების უკეთესი გზა არის სხვადასხვა მცენარეული ნედლეულის ფოთლების ერთობლივი გადამუშავება. ამ შემთხვევაში უშააღლოდ გადამუშავების პროცესში ყოველი კომპონენტის ფოთლები ერთდროულად და ერთნაირად დაქუცმაცდება. ამ კომპონენტების ნაწილაკების გახლუნილი უჯრედებიდან ერთდროულად გამოიედინება უჯრედის წვენი, აირევა ერთმანეთში და ერთნაირად დაფარავს ყოველი კომპონენტის დაქუცმაცებულ ნაწილაკებს. ამით მიიღწევა ყველა კომპონენტის სრული შერევა, მათგან გამოდენილი წვენის მასის ყველა ნაწილაკზე თანაბრად განაწილება და ყველა ნაწილაკის დაფარვა უჯრედის წვენით. ასეთ მდგომარეობაში ფიქსირებული მასა ხასიათდება კომპონენტების სასარგებლო თვისებების ერთიანობით. სხვადასხვა მცენარეული ნედლეულის ფოთლების ერთობლივი გადამუშავებისათვის საჭიროა მათი მიწოდება დამჭერებულ-დამჭერებულ საფიქსაციო მანქანაში. ამასთან, ერთობლივი გადამუშავებისათვის აუცილებელია არა ამ კომპონენტების თანამიმდევრობით მიწოდება, არამედ ყველა კომპონენტის ფოთლების ერთობლივი მიწოდება.

ამისათვის შეიძლება სხვადასხვა ტიპის შერევი მოწყობილობის გამოყენება, მაგრამ, უნდა აღინიშნოს, რომ ფიზიკური თვისებებით (ზომა, სიხისტე, სიმკვრივე, ხახუნის კოეფიციენტი, დენადობა და ა.შ.) მკვეთრად განსხვავდებული ფოთლების ერთმანეთთან შერევა ძალიან რთულია, მოითხოვს დიდ დროს და მნიშვნელოვან ეკონომიკურ დანახარჯებს. ამასთან, რაც ყველაზე მნიშვნელოვანია, ხანგრძლივი შერევის პირობებში სხვადასხვა სიმტკიცის ფოთლები სხვადასხვაგარად დაზიანდება, რასაც თან სდევს წვენის გამოყოფა და ნაადრევი ფერმენტაცია. ეს კი აუარესებს საბოლოო პროდუქციის ხარისხს.

ზემოთ აღნიშნულის გათვალისწინებით დამუშავებული ახალი მეთოდი ითვალისწინებს ყველა მცენარეული ნედლეულის ცალ-ცალკე ჰყლება-დაქუცმაცებას და ფიქსაციას ყოველი კომპონენტის მიღებისათვის საჭირო შესაბამისი რეჟიმის

პარამეტრების დაცვით და შემდგომ ყველა კომპონენტის შერევას იმავე ტიპის დამჭერებულ-დამჭერებულ მანქანაში, რომელშიც წელის ორთქლის ნაცვლად მიეწოდება გამომშრალი ცხელი 80–90°C ტემპერატურის მქონე პაერი, რომელიც უზრუნველყოფს მასიდან ტენის მოცილებას და მის მომზადებას შრობისათვის.

ნარევში შემავალი ყველა კომპონენტის საჭირო დოზით ერთდროულად მიწოდებისათვის დამუშავებულია დამჭერებულ-დამჭერებულ საფიქსაციო მანქანაში კომპონენტების მიმწოდებელი მარტივი მოწყობილობა (იხ. ნახ.), რომელიც შედგება გამომტკირთი ნაწილით 1 დამჭერებულ-დამჭერებელი მანქანის 2 მკვებავი ბუნკერისაკენ ორიენტირებული და პორიზონტალურ სიბრტყეში სიმეტრიულად განლაგებული ორი ან მეტი 3, 4, 5 მკვებავი შენეკისაგან. კონსტრუქციული ზომებით ყველა შენეკური მკვებავი ერთმანეთის ტოლია. ამასთან, ყოველი მკვებავი აღჭურვილია ინდივიდუალური 6, 7 ამძრავებით, რომლებსაც აქვთ შეჯის ლილგის ბრუნთა რიცხვის მდოვრედ რეგულირების საშუალება. მკვებავების შენეკის ბრუნთა რიცხვების სათანადო რეგულირებით ნედლეულით დამჭერებულ-დამჭერებული საფიქსაციო მანქანის მუდმივად და თანაბრად მომარაგების (კვების) პირობებში მიიღწევა ყველი კომპონენტის საჭირო, წინასწარ დადგენილი თანაფარდობით მიწოდება 8 მილიუნის გავლით.

დამჭერებულ-დამჭერებულ მანქანაში კომპონენტების პროპორციული მიწოდება შემდეგნაირად მიიღწევა:

ვთქვათ, მწარმოებლობათა თანაფარდობა მოცემულია შემდეგი სახით:

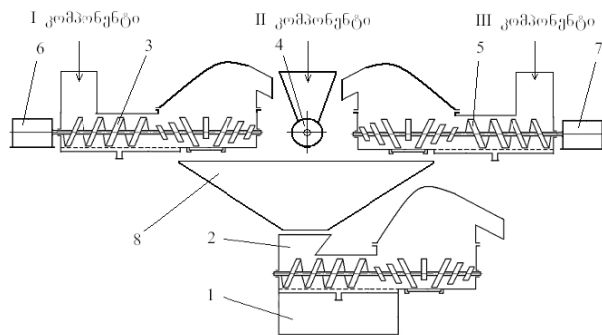
$$Q_1 : Q_2 : \dots : Q_n = K_1 : K_2 : \dots : K_n \quad (1)$$

დამჭერებულ-დამჭერებული მანქანის მწარმოებლობა

$$Q = Q_1 + Q_2 + \dots + Q_n \quad (2)$$

განვსაზღვროთ თანაფარდობათა ჯამი

$$K_{\text{ჯამ}} = \sum_1^n K_i = K_1 + K_2 + \dots + K_n \quad (3)$$



დამჭულებულ-დამჭუცმაცებელ საფიქსაციო მანქანაში  
კომპონენტების მიმწოდებელი მოწყობილობა

მანქანის საერთო მწარმოებლობისა და თანაფარდობათა ჯამის საშუალებით განვაზღვრავთ პროპორციულობის კოეფიციენტს

$$P = \frac{Q}{K_{\text{კო}}^{\text{კო}}} = \frac{Q}{\sum_{i=1}^n K_i}. \quad (4)$$

მიღებული პროპორციულობის კოეფიციენტის მეშვეობით განისაზღვრება თითოეული მკვებავი შენების მწარმოებლობა

$$\begin{aligned} Q_1 &= P \times K_1, \\ Q_2 &= P \times K_2, \\ &\dots \\ Q_n &= P \times K_n. \end{aligned} \quad (5)$$

მკვებავების მიღებული მწარმოებლობების ჯამი დამჭულებულ-დამჭუცმაცებელი მანქანის საერთო მწარმოებლობის ტოლია

$$Q_1 + Q_2 + \dots + Q_n = P(K_1 + K_2 + \dots + K_n) = Q. \quad (6)$$

ცნობილია, რომ შენებური მკვებავის მწარმოებლობა იანგარიშება ფორმულით:

$$Q = FS\gamma\varphi, \quad (7)$$

სადაც  $F$  არის მკვებავის ცილინდრის განივგვეთის ფართობი,  $\text{m}^2$ ;

$S$  – შენების ბიჯი, მ;

$n$  – შენების ბრუნთა რიცხვი, ბრ/წთ;

$\gamma$  – შენებით მიწოდებული ნედლეულის კუთრი წონა,  $\text{kg}/\text{m}^3$ ;

$\varphi$  – შენებური მკვებავის ცილინდრის შევსების კოეფიციენტი.

ცალკეული შენებური მკვებავების გეომეტრიული ზომები ( $F, S$ ) ერთმანეთის ტოლად მივიღოთ. მაშინ თითოეული მკვებავისათვის გვექნება:

$$\begin{aligned} Q_1 &= FS\gamma_1\varphi_1, \\ Q_2 &= FS\gamma_2\varphi_2, \\ &\dots \\ Q_n &= FS\gamma_n\varphi_n. \end{aligned} \quad (8)$$

შეგების ბრუნთა რიცხვები თითოეული მკვებავისათვის ტოლია

$$\begin{aligned} n_1 &= \frac{Q_1}{FS\gamma_1\varphi_1}, \\ n_2 &= \frac{Q_2}{FS\gamma_2\varphi_2}, \\ &\dots \\ n_n &= \frac{Q_n}{FS\gamma_n\varphi_n}. \end{aligned} \quad (9)$$

პროპორციულობის კოეფიციენტის გამოყენებით (5) ფორმულებიდან გვექნება:

$$\begin{aligned} n_1 &= \frac{PK_1}{FS\gamma_1\varphi_1}, \\ n_2 &= \frac{PK_2}{FS\gamma_2\varphi_2}, \\ &\dots \\ n_n &= \frac{PK_n}{FS\gamma_n\varphi_n}. \end{aligned} \quad (10)$$

პროპორციულობის კოეფიციენტის მნიშვნელობათა (4) ფორმულიდან ჩასმით მივიღებთ:

$$\begin{aligned} n_1 &= \frac{QK_1}{FS\gamma_1\varphi_1 \sum_{i=1}^n K_i}, \\ n_2 &= \frac{QK_2}{FS\gamma_2\varphi_2 \sum_{i=1}^n K_i}, \\ &\dots \\ n_n &= \frac{QK_n}{FS\gamma_n\varphi_n \sum_{i=1}^n K_i}. \end{aligned} \quad (11)$$

მიღებული ფორმულები შემდეგნაირად გადავწერთ:

$$\begin{aligned} n_1 &= \frac{K_1}{\sum_1^n K_i} \times \frac{Q}{FS} \times \frac{1}{\gamma_1 \varphi_1}, \\ n_2 &= \frac{K_2}{\sum_1^n K_i} \times \frac{Q}{FS} \times \frac{1}{\gamma_2 \varphi_2}, \\ &\dots \\ n_n &= \frac{K_n}{\sum_1^n K_i} \times \frac{Q}{FS} \times \frac{1}{\gamma_n \varphi_n}. \end{aligned} \quad (12)$$

მიღებული საბოლოო ფორმულები გვიჩვენებს, რომ ნებისმიერი შენებური მკვებავის შენების ბრუნთა რიცხვი დამოიდებულია ამ მკვებავით მისაწოდებელი ნედლეულის მასური წილის შეფარდებაზე მასათა საერთო თანაფარდობასთან, დამჭულებრ-დამქუცმაცებელი მანქანის საერთო მწარმოებლობის შეფარდებაზე ამ მკვებავის განვივეთის ფართობისა და ბიჯის ნამრავლზე და, აგრეთვე, მისაწოდებელი კომპონენტის კუთრ წონასა და ამ კომპონენტით მკვებავის ცილინდრის შევსების კოეფიციენტზე.

### 3. დასკვნა

დამჭულებრ-დამქუცმაცებელი მანქანის მწარმოებლობა ( $Q$ ) და შენებური მკვებავების კონსტრუქციული ზომები ( $F, S$ ) წინასწარ ცნობილია. ამიტომ არსებული დამჭულებრ-დამქუცმაცებელი საფიქსაციო მანქანის პირობებში მცენა-

რეული კომპონენტების ნებისმიერი ნარევის მოსამზადებლად შენებური მკვებავების შენების ბრუნთა რიცხვის დასადგენად საჭიროა მხოლოდ აღნიშნული კომპონენტების ნარევში თანაფარდობისა და თითოეული კომპონენტის ფიზიკურ-მექანიკური ( $\gamma$  კუთრი წონისა და  $\varphi$  ცილინდრის შევსების კოეფიციენტს) თვისებების დადგენა.

### ლიტერატურა

1. ო. რევიშვილი, ვ. დვაჩლიანი, გ. გუგულაშვილი, ო. ლვაჩლიანი. ჩაის ფოთლის დამტუშავებელი დანადგარი. საპატენტო სიგელი № GE P 4861 B. 12.10.2009 წ. კლასი A 23 F 3/12.
2. ო. მეგრელიძე, ვ. ლვაჩლიანი, ლ. გუგულაშვილი, გ. მეგრელიძე, გ. გუგულაშვილი. თბოგადამცემი დანადგარი. საპატენტო სიგელი № GE P 4902 B. 25.02.2010 წ. კლასი F 25 B 15/00.
3. ო. მეგრელიძე, ზ. ჯაფარიძე, ვ. ლვაჩლიანი, გ. გუგულაშვილი, ვ. სადაღაშვილი, ს. მღებრიშვილი. ნედლეულის გადამამუშავებელი მოწყობილობა. საპატენტო სიგელი № GE P 5314 B. 25.10.2011 წ. კლასი C 12 G 1/02.
4. ო. მეგრელიძე, ვ. ლვაჩლიანი, გ. გუგულაშვილი, ე. სადაღაშვილი, ბ. ლვაჩლიანი. ჩაის ფერმენტაციის ინტენსიფიკაცია ახალი აპარატის გამოყენებით // საქართველოს ტექნიკური უნივერსიტეტის შრომები №3 (481) თბილისი: ტექნიკური უნივერსიტეტი, 2011 წ. გვ. 83-86.

UDC 613.292

MANY-COMPONENT NUTRITIVE-MEDICAL PRODUCTS RECEIVING IMPROVEMENT WAYS FROM  
VEGETABLE RAW MATERIALS

**T. Megrelidze, V. Gvachlian, G. Gugulashvili, E. Sadagashvili, B. Gvachlian**

Department of food industry, Georgian Technical University, 68<sup>b</sup>, M. Kostava str, Tbilisi, 0175, Georgia

**Resume:** There is considered the existent technology of produce the many-component nutritive-medical vegetable products. There is indicated, that for quality increase of final product, is better all components simultaneous remake in smasher-crusher and fixation machine. For this, there is given the new packer equipment of smasher-crusher and fixation machine and its productivity determination method.

**Key words:** components; raw materials; quality; fixation; smasher-crusher.

УДК 613.292

## К ВОПРОСУ УСОВЕРШЕНСТВОВАНИЯ СПОСОБА ПОЛУЧЕНИЯ МНОГОКОМПОНЕНТНЫХ ЛЕЧЕБНО-ПИЩЕВЫХ РАСТИТЕЛЬНЫХ ПРОДУКТОВ

**Мегрелидзе Т.Я., Гвачлиани В.В., Гугулашвили Г.Л., Садагашвили Э.З., Гвачлиани Б.В.**

Департамент пищевой индустрии, Грузинский технический университет, Грузия, 0175, Тбилиси, ул. М. Костава, 68<sup>6</sup>

**Резюме:** Рассмотрена существующая технология производства многокомпонентных лечебно-пищевых растительных продуктов. Показано, что для повышения качества конечного продукта наиболее приемлема совместная переработка всех компонентов в машине для мятия-измельчения и фиксации. С этой целью предложено питающее устройство машины мятия-измельчения и фиксации и приведена методика определения ее производительности.

**Ключевые слова:** компоненты; сырье; качество; фиксация; мятие-измельчение.

მიღებულია დასაბუჭიდავ 13.03.14

უაგ 621.56

სამაცივრო კამერის პარტში ოზონის კონცენტრაციის და მოქმედების

ხანგრძლივობის გაზლენა ხილისა და ბრსფეულის ცივად შენახვის პროცესზე

თ. მეგრელიძე<sup>1\*</sup>, გ. მეგრელიძე<sup>1</sup>, რ. გახოკიძე<sup>2</sup>, გლ. თალაქვაძე<sup>3</sup>, გ. ბასილაძე<sup>3</sup>

<sup>1</sup>კვების ინდუსტრიის დეპარტამენტი, საქართველოს ტექნიკური უნივერსიტეტი, საქართველო, 0175, თბილისი, გ. კოსტავას 68<sup>6</sup>

<sup>2</sup>ქიმიის დეპარტამენტი, იგ. ჯავახიშვილის სახ. თბილისის სახელმწიფო უნივერსიტეტი, საქართველო, 0128, თბილისი, ი. ჭავჭავაძის გამზ. 3

<sup>3</sup>გ. უგანიას სახელობის პედიატრიის აკადემიური კლინიკა, საქართველო, თბილისი, ლუბლიანას 21

E-mail: tmegrelidze@yahoo.com

**რეზიუმე:** განხილულია სამაცივრო კამერის პარტის ტენის კონცენტრაციისა და მოქმედების ხანგრძლივობის გაზლენის კვლევის შედეგები ზოგიერთი სახეობის ხილისა და ბოსტნეულის ცივად შენახვის პროცესზე. კარტოფილისა და სტაფილოს ცივად შენახვის რეჟიმის კვლევის შედეგების დამატებითი კრიტერიუმის გამოვლენის მიზნით შესწავლილია ზოგიერთი მიკრო- და მაკროელემნტის ცვლილება ტემპერატურასა და ტენიანობაზე დამოკიდებულებით. დადგენილია, რომ მცენარეული პროდუქტის ოზონით დამუშავებისას საჭიროა დიფერენცია-

ლური მიღებობა. ხილის ნაზი არომატის შენარჩუნებით შენახვის ხანგრძლივობა შეიძლება დაახლოებით 2-ჯერ გაიზარდოს.

**საკვანძო სიტყვები:** მაცივრის პარტი; ოზონის კონცენტრაცია; ცივად შენახვა; რეჟიმი; ელემენტები.

### 1. შესავალი

ხილისა და ბოსტნეულის შენახვას დიდი მნიშვნელობა აქვს როგორც სოფლის მეურნეობის, ისე კვების მრეწველობისათვის. შენახვის

ამოცანაა პროდუქციის ხარისხის მაქსიმალურად შენარჩუნება რაც შეიძლება ხანგრძლივი დროის განმავლობაში. ასეთი ამოცანის გადაწყვეტას კი ართულებს პროდუქციის არაერთგვაროვნება. ერთმანეთისაგან თვისებებითა და შენახვის უნარით განსხვავებულია არა მარტო ხილისა და ბოსტნეულის სახეობები, არამედ ერთი და იმავე დასახელებისა და ჯიშის, მაგრამ სხვადასხვა ადგილზე მოვანილი პროდუქტები. ამიტომ, პროდუქტის ყოველი ახალი სახეობისათვის პრაქტიკულად აუცილებელი ხდება სპეციალური ცდების ჩატარება მისი შენახვის ოპტიმალური პარამეტრების დადგენის მიზნით. სწორედ ეს გარემოება განაპირობებს შენახვის ხერხებისა და პარამეტრების სიმრავლეს. ხილისა და ბოსტნეულის შენახვის ერთ-ერთი ახალი ხერხი არის მათი ცივად შენახვა სამაცივრო კამერის ჰაერში თხონის შერევის პირობებში.

## 2. პირითადი ნაწილი

გამოჩენილი მეცნიერ-მკვლევრების მონაცემებით, თხონის გამოყენებით ხილისა და ბოსტნეულის ცივად შენახვისას მცირდება ლპობისა და სუნთქვის ინტენსივობით გამოწვეული დანაკარგები. დამწიფების პროცესში აგრეთვე იცვლება ეთილენისა და სხვა აქროლადი ნივთიერებების შემცველობა, თანაც, სხვადასხვა ჯიშის ხილისა და ბოსტნეულის მგრძნობიარობა განსხვავებულია. მაგალითად, ჰაერისა და თხონის ნარევში (თხონის კონცენტრაცია ჰაერში შეადგენს 2...3 მგ/მ<sup>3</sup>) “გოლდენის” ჯიშის ვაშლი კარგად ინახება, ხოლო ჰაერში თხონის კონცენტრაციის მომატების შემთხვევაში (10...12 მგ/მ<sup>3</sup>-მდე) ვაშლის არომატი უარესდება. მართალია, ზოგიერთი მონაცემი საწინააღმდეგოს აღნიშნავს, მაგრამ ავტორთა უმრავლესობა თანხმდება, რომ ხილისა და ბოსტნეულის ცივად შენახვისას თხონის გამოყენება დადგითად მოქმედებს შენახვის ხარისხზე [3, 4, 5].

მეცნიერები აღნიშნავენ, რომ თხონი ხელს უშლის ვაშლის გაფუჭებას. ხენდროს, მარწყვის, ყურძნის შენახვის ხანგრძლივობა თხონის გამოყენებით (ჰაერში თხონის კონცენტრაცია 4...6 მგ/მ<sup>3</sup>) ორმაგდება (თხონირების ხანგრძლივობა 3 სთ-ია დღე-დამეში). ასეთი რეზიმის პირობებში ხენდროს შენახვისას აღინიშნება არომატის გაუმჯობესება. ბანანის შენახვისას თხონის ოპტიმალური კონცენტრაციაა 3 მგ/მ<sup>3</sup>. მეტი კონ-

ცენტრაცია იწვევს ნაყოფის კანზე შავი დაჭქბის წარმოქმნას. გვანეს მიხედვით ოზონის მოქმედება უფრო მდგრადია ფორთოხლის (კონცენტრაცია 40 მგ/მ<sup>3</sup>) და ხახვისათვის (კონცენტრაცია 300 მგ/მ<sup>3</sup>). აღნიშნული კონცენტრაციების პირობებში ოზონის მოქმედებისას არ ირღვევა ნივთიერებათა ცვლა. კარტოფილი კარგად ინახება, როდესაც ჰაერში ოზონის კონცენტრაციაა 0,002...2 მგ/მ<sup>3</sup> [4, 5]. სამაცივრო საკანზი თხონის გამოყენებით კარტოფილის ცივად შენახვისას ოზონის გამოყენება მიზანშეწონილია მიკროორგანიზმების განვითარების საწყის ჰერიოდში (სამაცივრო კამერაში ჰერიოს ფარდობითი ტენიანობაა 85...90%, ჰაერში ოზონის კონცენტრაცია  $C = 12 \dots 15$  მგ/მ<sup>3</sup>, ჰერიოს ტემპერატურა – 276...277K). როგორც ჰერიოდულად (3 და 6 სთ დღე-დამეში), ისე განუწყვეტლივ (48სთ) მცირდება სოკოს განვითარების პირობები [5].

თხონის გამოყენებით კარტოფილის შენახვის რეჟიმის კვლევის შედეგების დამატებითი კრიტერიუმის გამოვლენის მიზნით შევისწავლეთ მასში ზოგიერთი მიკრო- და მაკროელემენტის ცვლილება 276–277 K ტემპერატურისა და 85–90 % ტენიანობის პირობებში. კვლევის ობიექტად გამოვიყენეთ სხვადასხვა ჯიშის კარტოფილი, მოვათავსეთ საწარმოო ტიპის საცდელ სამაცივრო კამერაში (შენახვის ხანგრძლივობა 6 თვე). კვლევამ გვაჩვენა, რომ კარტოფილის შენახვისას საკონტროლო რეჟიმთან შედარებით არ მომატებულა კალიუმის, მაგნიუმის, კალციუმის, თუთიისა და კობალტის რაოდენობა.

მიღებული შედეგები საფუძვლად დაედო კარტოფილის შენახვისას თხონის გამოყენების შესაძლებლობას (კონცენტრაცია 12...16 მგ/მ<sup>3</sup> 5 საათი დღე-დამეში, კამერის ტემპერატურა 276...277 K, ფარდობითი ტენიანობა 90...95 %). 8 დღე შენახვის განმავლობაში კარტოფილში მიმდინარე საეციფიკური პროცესი დიდ გავლენას ახდენს კარტოფილის ხარისხზე, შეინიშნება გარდაქმნები ნახშირწყლების კომპლექსში. კარტოფილის შენახვისას ხარისხის მაჩვენებლები მცირდება განსხვავდება საკონტროლო ნიმუშის ხარისხის მაჩვენებლებისაგან. თხონირებულ კარტოფილში სახამებლის შემცველობა, შენახვის ბოლოს, საკონტროლო ნიმუშის სახამებლის შემცველობას აღემატება 4...5 %-ით, ხოლო შაქრის შედგენილობა 1,2...1,5-ჯერ ნაკლებია. თხო-

ნის ზემოქმედებით შეიმჩნევა ასკორბინის მეავას შემცველობის გაზრდა საშუალოდ 1,25-ჯერ. ოზონირებული კარტოფილის სუნთქვის ინტენსივობა შენახვის პროცესში უმნიშვნელოდაა განსხვავებული საკონტროლოსაგან [4, 5].

განსხვავებულია კარტოფილის შენახვის პროცესში ოზონის მოქმედებით გამოწვეული ბიოქიმიური ცვლილებები. კერძოდ, ოზონირება არ იწვევს სერიოზულ ფიზიოლოგიურ გაუარესებას. კარტოფილის ზედაპირული შრე არ შეიცავს ადვილად დამჟანგველ ნივთიერებებს, ხოლო ოზონს, როგორც ცნობილია, უპირატესად ზედაპირული მოქმედება აქვს. ამავე დროს, ოზონი ანადგურებს პათოგენურ ზედაპირულ მიკროფლორას. ოზონით დამჟანგვებული მიკრობებით დაბინძურებული ბოლქვების შენახვის ბოლოს, საკონტროლოსთან შედარებით, მნიშვნელოვნად დაბალია ხარისხი. ოზონირება უფრო მეტად უწყობს ხელს კარტოფილის დაზიანებული ნაწილების შეხორცებას, ვიდრე მათი წინააღმდეგობის გაზრდას ახალი ინფექციების მიმართ. კარტოფილის ლპობის პროცენტი ოზონირებულ პარტიაში მნიშვნელოვნად დაბალია (1,6...2,5-ჯერ) [5].

სტაფილოს ცივად შენახვისას გამოკვლეული იყო ოზონით დამჟანგების გავლენა პეროქსიდაზას და კატალაზას აქტიურობაზე. ოზონის კონცენტრაცია შეადგენდა 10...15, 50...60 და 110...120 მგ/მ<sup>3</sup>. ოზონირების ხანგრძლივობა არის 6 სთ 273...274 K შენახვის ტემპერატურაზე. შენახვის პერიოდია ოქტომბერი – მაისი. ავტომებს გამოქვთ დასკნა, რომ სტაფილოს ოზონით დამჟანგება ცვლის პეროქსიდაზასა და კატალაზას აქტიურობას, ამავე დროს, სტაფილოს შენახვის საწყის პერიოდში ოზონირება უფრო მეტადაა აუცილებელი (არანაკლებ 8...10 დღე), ვიდრე შენახვის ბოლო პერიოდში. ხანგრძლივი შენახვისას პერიოდული ოზონირება არაუმტებს 10...15 მგ/მ<sup>3</sup> კონცენტრაციით უფრო სასარგებლო. ვაშლის შენახვისას ოზონის გამოყენების დანიშნულებაა მისი კანის ზედაპირის დამჟანგება მიკროორგანიზმების მოცილების მიზნით. გამოვლენილია, რომ ოზონი არ იწვევს მნიშვნელოვან ცვლილებებს ცილის ქიმიურ შედგენილობაში, თუმცა მას შეუძლია ძირითადი დამცველი ფუნქციის გაძლიერების ინიცირება ტენის დაკარგვის სიჩქარის შემცირებისას. ოზონის დიდი დოზით დამჟანგება იწვევს დამცველი ფენის ნაწილის დაზიანებას,

რაც განაპირობებს ტენის დანაკარგების სიჩქარის ზრდას. ვაშლის პერიოდულ დამჟანგებას ოზონის დაბალი კონცენტრაციით (0,7...3,0 მგ/მ<sup>3</sup>, დამჟანგების ხანგრძლივობა 40...120 წთ ყოველდღიურად) შენახვის პროცესში შეუძლია ცილოვანი შრის ფორმირება. გამოვლინდა აგრეთვე, რომ ოზონი განსხვავებულად მოქმედებს სხვადასხვა ხარისხის ვაშლზე: ვაშლის დამწიფება ჩქარდება ეთილენის და სხვა აქროლადი ნივთიერებების არსებობისას, რომლებიც იწვევენ მისი კანის შეტურვას. ეთილენი გამოიყოფა და სწრაფად იქანება ოზონით. როდესაც ოზონს უკვე აღარ შეუძლია მეტად შებუროს ნაყოფის კანი, იგი ახდენს აქროლადი ნივთიერებების ნეიტრალიზაციას. ეს პროცესი დამახასიათებელია ექნეროვანი და სხვა აულტურებისათვის, მათ შორის ბანანის, ფორთოხლის, უოლოს, მარწყვის და სხვ. შენახვის ხანგრძლივობა ხილის ნაზი არმატის შენარჩუნებით შეიძლება გაიზარდოს დაახლოებით 2-ჯერ.

### 3. დასტანა

ამრიგად, სიცივესთან ერთად ოზონის კომბინირებული გამოყენება მნიშვნელოვნად ამცირებს შენახვის პროცესში ხილისა და ბოსტებულის დანაკარგებს. ამასთან, მცენარეული პროდუქტების ოზონით დამჟანგების რეჟიმში აუცილებელია დიფერენცირებული მიღგომა.

### ლიტერატურა

- თ. მეგრელიძე, ნ. მაღლაკელიძე, გ. გუგულაშვილი. საცივარი კამერის ოზონირების პროცესის ოპტიმალური პარამეტრების დასაბუთება // სამეცნიერო-ტექნიკური ჟურნალი “ხელოვნური სიცივე და გარემო“. თბილისი, 2013, № 1, გვ. 19–25.
- თ. მეგრელიძე, გ. გუგულაშვილი, ე. სადადაშვილი, ვ. ლგაჩლიანი, ნ. მაღლაკელიძე. ოზონის გამოყენება კვების პროდუქტების გაუცენებლობისათვის // საერთაშორისო სამეცნიერო კონფერენციის “გამოყენებითი ქიმიის პრობლემები“ შრომების კრებული. თბილისი, 2012, 254–258 გვ.
- თ. მეგრელიძე, ზ. ჯაფარიძე, გ. გოლეთიანი, ვ. ლგაჩლიანი, გ. გუგულაშვილი, გ. ბერუაშვილი, თ. ჭუჭულაშვილი, ე. სადადაშვილი. კვების პროდუქტების წარმოების და სიცივის

- მიღების პროცესი და აპარატები. თბილისი: ტექნიკური უნივერსიტეტი, 2012.-275 გვ.
5. Е.А. Ильина, В.В. Коваль, Р.А. Козлова и др. Озонирование камер при хранении пищевых продуктов // Холодильная техника, 1979, № 8, с. 18-25.
4. Бабакин Б.С. Электротехнология в холодильной промышленности. М.: ВО Агропромиздат, 1990. с. 136.

UDC 621.56

## INFLUENCE OF OZONE CONCENTRATION IN THE AIR OF REFRIGERATION CAMERA AND ACTION CONTINUANCE ON FRUITS AND VEGETABLE COOL KEEPING PROCESS

**T. Megrelidze, G. Megrelidze, R. Gakhokidze, V. Talakvadze, G. Basiladze**

<sup>1</sup>Department of food industry, Georgian Technical University, 68<sup>b</sup>, M. Kostava str, Tbilisi, 0175, Georgia

<sup>2</sup>Department of chemistry, Iv. Javakhishvili, Tbilisi State University, 3 I. Chavchavadze avenue, Tbilisi, 0128, Georgia

<sup>3</sup>G. Zhvania pediatric academic clinic, 21 Lubliana str, Tbilisi, Georgia

**Resume:** There is considered the influence of products cool keeping process from the air of refrigeration camera ozone concentration and action continuance. For potato and carrot cool keeping regimes additional criterion exposure there were studied some micro and macro elements depending on temperature and humidity. There is established, that with vegetable products ozone elaboration is possible to increase their keeping continuance about 2 times.

**Key words:** refrigerator air; ozone concentration; cool keeping; regimes; elements.

УДК 621.56

## ВЛИЯНИЕ КОНЦЕНТРАЦИИ ОЗОНА В ВОЗДУХЕ ХОЛОДИЛЬНОЙ КАМЕРЫ И ПРОДОЛЖИТЕЛЬНОСТИ ЕГО ВОЗДЕЙСТВИЯ НА ПРОЦЕСС ХОЛОДИЛЬНОГО ХРАНЕНИЯ ФРУКТОВ И ОВОЩЕЙ

**Мегрелидзе Т.Я., Мегрелидзе Г.Т., Гахокидзе Р.А., Талаквадзе В.В., Басиладзе Г.Л.**

<sup>1</sup>Департамент пищевой индустрии, Грузинский технический университет, Грузия, 0175, Тбилиси, ул. М. Костава, 68<sup>b</sup>

<sup>2</sup>Департамент химии, Тбилисский государственный университет им. Ив. Джавахишвили, Грузия, Тбилиси, 0128, пр. И. Чавчavadze 3

<sup>3</sup>Академическая клиника педиатрии им. Г. Жвания, Грузия, Тбилиси, ул. Любляны 21

**Резюме:** Рассмотрены результаты исследования влияния концентрации озона в воздухе холодильной камеры и продолжительности его воздействия на процесс холодильного хранения некоторых видов фруктов и овощей. С целью выявления дополнительных критериев режимов холодильного хранения картошки и моркови, были изучены изменения некоторых микро- и макроэлементов в зависимости от температуры и влажности холодильной камеры. Установлено, что в режиме обработки озоном растительных продуктов необходим дифференциальный подход. Продолжительность хранения фруктов с максимальным сохранением их мягкого аромата возможно увеличить приблизительно в два раза.

**Ключевые слова:** холодильный воздух; концентрация воздуха; холодильное хранение; режимы; элементы.

მიღებულია დასაბუქდა 13.03.14

**უაკ 665.5.006**

**მუხლის კასრში საპონიაპი სპირტის დაძველების მქსტრაჟციული პროცესის  
პინეტიპა**

**ზ. ჯაფარიძე\*, მ. ხოშტარია**

კვების ინდუსტრიის დეპარტამენტი, საქართველოს ტექნიკური უნივერსიტეტი, საქართველო, 0175,  
თბილისი, გ. კოსტავას 68<sup>ა</sup>

E-mail: z.jafaridze @ gtu.ge

**რეზიუმე:** განხილულია მუხლის კასრში საკონიაკე სპირტის დაძველების დიფუზიური პროცესის ფიზიკური მოდელი. გამოყვანილია ექსტრაქციული პროცესის კინეტიკის ექსპონენციალური განტოლება.

**საკვანძო სიტყვები:** მუხლა; კასრი; სპირტი; კონიაკი; ექსტრაქცია; დიფუზია; თხევადი ფაზა; მყარი ფაზა; გამყოფი ზედაპირი; წონასწორული კონცენტრაცია.

## 1. შესავალი

მუხლის კასრში სპირტის დაძველება ექსტრაქციული პროცესია. ამ დროს სპირტი აღწევს მუხლის შემში და გამოაქვს სსნადი მიზნობრივი ნივთიერებები, რომლებიც პროდუქტს ანიჭებენ მისთვის დამახასიათებელ გემოს, არომატს, ფერს და სხვა ორგანოლეგატიკურ თვისებებს.

ორგაზიანი (მყარი სეეული – სითხე) ექსტრაპირების პროცესში მონაწილეობს: მიზნობრივი პროდუქტის მატარებელი მყარი ფაზა; მიზნობრივი პროდუქტის გამხსნელი თხევადი ფაზა და თვით მიზნობრივი ნივთიერება, რომელიც გადადის ერთი ფაზიდან მეორეში. ნივთიერების მოძრაობა ფაზებს შორის დამოკიდებულია მის შემცველებაზე ორივე ფაზაში, კონცენტრაციული წონასწორობის პირობის დაცვით.

მასაცვლის პროცესის თეორიის მიხედვით ნივთიერების გადატანა შესაძლებელია ორი გზით – მოლექულური და კონვექციური დიფუზიური. ორივე შემთხვევაში პროცესის მამოძრავებელი ძალა არის ფაზებს შორის კონცენტრაციათა სხვაობა.

## 2. ძირითადი ნაწილი

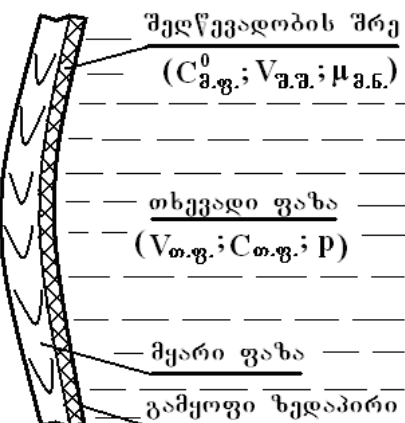
არსებული თეორიული მოდელებიდან ცნობილია, რომ ექსტრაპირების პროცესის ძირითადი განმსაზღვრელი პარამეტრებია დიფუზიურია და მასათა გადაცემის კოეფიციენტები. პირველი ახასიათებს ნივთიერების გადატანის სიჩქარეს

მყარი სეეულის შიგნით, ხოლო მეორე – მყარი სეეულის ზედაპირიდან საექსტრაქციო სითხეში.

მყარი ფაზის ზონაში (შეღწევადობის შემ) დიფუზიური ნაწილაკები გამყოფი ზედაპირისკენ მოძრაობები სტრესტიკურად. მათი გადასვლა ექსტრაგენტში მოხდება გარანტირებულად, როდესაც ისინი აღმოჩნდებინა გამყოფ ზედაპირზე.

გამომშრალი ნედლეულიდან (მოცემულ შემთხვევაში მუხლა) ექსტრაქციის პროცესში აღინიშნება შემდეგი სტადიები: ექსტრაგენტის შეღწევა კასრის კედელში (შეღწევადობის შემ), რომელიც მიმდინარეობს კაპილარული ძალების მოქმედებით; უკრედში არსებული მიზნობრივი ნივთიერების დასველება და გახსნა; ნივთიერების გამორეცხვა გახსნილი ფორებიდან; ნივთიერების მასაგადატანა მოლექულური დიფუზიურით სასაზღვრო ზედაპირიდან სსნარში.

ექსტრაქციის პროცესი ხასიათდება ექსპონენციალური კანონზომიერებით, რაც გულისხმობს მყარ და თხევად ფაზებს შორის კონცენტრაციის წონასწორობის დამყარებას დროის მიხედვით, რომლის შემდეგ მიზნობრივი ნივთიერების გადასვლა მყარი ფაზიდან თხევადში წყდება და პროცესი პრაქტიკულად მთავრდება.



ნახ. 1. მუხლის კასრში მიმდინარე ექსტრაქციის პროცესის ფიზიკური მოდელი

მუხის კასრში მიმდინარე ექსტრაქციის პროცესის კინეტიკა შესაძლებელია წარმოვადგინოთ ექსპონენციალური განტოლებით:

$$C = \frac{C_{\text{ა.მ.}}^0 V_{\text{ა.მ.}} - C_{\text{თ.მ.}}^0 V_{\text{თ.მ.}}}{V_{\text{ა.მ.}} + V_{\text{თ.მ.}}} (1 - e^{-k\tau}) \quad \text{კგ/მ}^3, \quad (1)$$

სადაც  $C$  არის თხევად ფაზაში (სპირტში) მიმდინარე კონცენტრაცია, კგ/მ<sup>3</sup>;

$C_{\text{ა.მ.}}^0$  – მყარ ფაზაში მიზნობრივი ნივთიერების საწყისი კონცენტრაცია, კგ/მ<sup>3</sup>;

$V_{\text{ა.მ.}}$  – შეღწევადობის შრის მოცულობა, მ<sup>3</sup>;

$C_{\text{თ.მ.}}^0$  – თხევად ფაზაში მიზნობრივი ნივთიერების საწყისი კონცენტრაცია, კგ/მ<sup>3</sup>;

$V_{\text{თ.მ.}}$  – კასრში მოთავსებული თხევადი ფაზის (სპირტის) მოცულობა, მ<sup>3</sup>;

$k$  – ექსტრაქციის პროცესის კონსტანტა;

$\tau$  – მიმდინარე დრო.

(1) განტოლებაში ( $C_{\text{ა.მ.}}^0 - C_{\text{თ.მ.}}^0$ ) პროცესის მამოძრავებელი ძალაა. ვინაიდან საწყის მომენტში თხევად ფაზაში მიზნობრივი ნივთიერების კონცენტრაცია ნულის ტოლია, ე. ი.  
 $C_{\text{თ.მ.}}^0 = 0$ , ამიტომ (1) განტოლება მიიღებს შემდეგ სახეს:

$$C = \frac{C_{\text{ა.მ.}}^0 V_{\text{ა.მ.}}}{V_{\text{ა.მ.}} + V_{\text{თ.მ.}}} (1 - e^{-k\tau}) \quad \text{კგ/მ}^3. \quad (2)$$

კასრში მიმდინარე პროცესის ადეკვატური აღწერისათვის გადამწყვეტი მნიშვნელობა ენიჭება  $k$  კონსტანტას სწორად შეფასებას, რომელიც რამდენიმე მნიშვნელოვან ფაქტორზეა დამოკიდებული. ჩვენი შეფასებით და ექსპერიმენტული მონაცემების საფუძველზე,  $k$ -ს მნიშვნელობა შესაძლებელია განისაზღვროს შემდეგი ემპირიული ფორმულით:

$$k = \frac{C_{\text{ა.მ.}} \cdot \exp[-(C_{\text{ა.მ.}} - C_{\text{მ.მ.}}) / C_{\text{ა.მ.}}^{1,1}] p k_V k_k k_\ell \psi}{\mu_{\text{მ.მ.}}} \quad \text{1/წ, (3)}$$

სადაც  $C_{\text{ა.მ.}}$  არის მყარ ფაზაში მიზნობრივი ნივთიერების საწყისი მასური კონცენტრაცია, კგ/მ<sup>3</sup>;

$C_{\text{მ.მ.}}$  – მყარ ფაზაში მიზნობრივი ნივთიერების საწყისი, მინიმალური, მასური კონცენტრაცია, კგ/მ<sup>3</sup>;

$p$  – კასრის კაპილარებში მიმდინარე ჟანგითი პროცესის შედეგად გამოწვეული სპირტისა და წყლის აირების ნარევის წნევა, კბა;

$k_V = V_{\text{ა.მ.}} / V_{\text{თ.მ.}}$  – შეღწევადობის შრის მოცულობის ფარდობა თხევადი ფაზის მოცულობასთან, მ<sup>3</sup>/მ<sup>3</sup>;

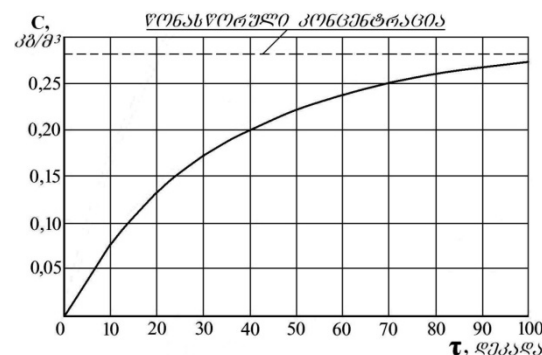
$k_v = v_{\text{გ.მ.}} / v_{\text{მ.მ.}}$  – მყარ ფაზაში ხსნადი ნივთიერების მოძრაობის სიჩქარეთა ფარდობა ბოჭკოვის განვითარებად და გრძივად;

$k_\ell$  – მუხის მასალაში ნივთიერების გამტარი კაპილარების განვითარების განვითარებაში, მ/მ;

$\psi$  – მუხის მასალის ფორიანობის კოეფიციენტი;

$\mu_{\text{მ.მ.}}$  – კაპილარებში გასხვილი მიზნობრივი ნივთიერების დინამიკური სიძლანტე, კბა.წ.

(3) განტოლებიდან მიღებული  $k$ -ს მნიშვნელობისათვის (2) ფორმულიდან კსაზღვრავთ მყარიდან თხევად ფაზაში მიზნობრივი ნივთიერების, მაგალითად, ტანინის გადასვლის კინეტიკას, რომელიც გამოისახება ექსპონენციალური გრაფიკის სახით (ნახ. 2).



ნახ. 2. მუხის კასრში ტანინის გენერაციის კინეტიკური გრაფიკი

გრაფიკის ასაგებად მიღებული გვაქვს შემდეგი საწყისი მონაცემები:

ტანიდების მინიმალური შემცველობა 12-15% ტენიანობის მუხის მასალაში, ლიტერატურის მონაცემებით [1]  $C_{\text{მ.მ.}} \approx 2\%$  მთლიან მასასთან მიმართებით;  $C_{\text{ა.მ.}} = C_{\text{მ.მ.}} = 0,02 \text{ კგ/მ}^3$ ;  $V_{\text{თ.მ.}} = 0,4 \text{ მ}^3$ ;

$p \approx 0,15 \text{ კბა}$  [3]; კასრის კედელში თხევადი ფაზის შეღწევადობის შრის საშუალო სისქე  $\delta = 3,0\text{მ}$ , შესაბამისად შეღწევადობის შრის მოცულობა 40 დალ ტევადობის კასრისთვის –  $V_{\text{ა.მ.}} = 0,00831 \text{ მ}^3$ ;  $k_v = 0,006$  [2];  $k_\ell = 0,01$  [2,4];  $\psi = 0,5$  [2,4];  $\mu_{\text{მ.მ.}} = 0,05 \text{ კბა.წ}$ ; საკასრე მუხის მასალის მოცულობითი მასა  $\gamma \approx 700 \text{ კგ/მ}^3$  [2,4].

ამ მონაცემებისათვის მიზნობრივი ნივთიერების წონასწორული კონცენტრაცია (2) განტო-

ლების მიხედვით შეადგენს  $0,28 \text{ кг}/\text{м}^3$ . ამავე გან-  
ტოლებით გამოითვლება მიმდინარე კონცენტ-  
რაცია. (3) განტოლებიდან კონსტანტას მნიშვნე-  
ლობა  $k = 36 \cdot 10^{-9} \text{ л}/\text{м}^2$ .

### 3. დასკვნა

როგორც გრაფიკიდან ჩანს, თეორიული  
კვლევებით მიღებული მიზნობრივი ნივთიერების  
კონცენტრაციული წონასწორობა ( $0,28 \text{ кг}/\text{м}^3$ ) მყარ-  
და თხევად ფაზებს შორის მყარდება დაახლოე-  
ბით 80 დეკადის შემდეგ. მიღებული შედეგები  
მაღალი სიზუსტით შესაბამისობაშია ექსპერი-  
მენტული კვლევების მონაცემებთან [3]. სპირტის  
დაძველების ხანგრძლივობის შემდგომი გაზრ-

დით ტანიდების ექსტრაქცია გრძელდება, მაგრამ  
გაცილებით ნაკლები ინტენსივობით.

### ლიტერატურა

1. Оноприйко А.В., Оноприйко В.А. Коньячный спирт: получение, выдержка и использование в производстве бренды. Ставрополь: СевКавГТУ, 2002.-31с.
2. Рыжова Н.В., Шутов В.В. Физика древесины. Кострома: изд-во КГТУ. 2009.-75 с.
3. Скурихин И.М. Химия коньяка и бренды. - М: Дели принт, 2005. - 296 с.
4. Уголев Б.Н. Древесиноведение с основами лесного товароведения. М.: Лесная промышленность, 1986.- 365 с.

**UDC 665.5.006**

## THE KINETICS OF THE EXTRACTION PROCESS WITH THE COGNAC ALCOHOL EXPOSURES IN OAK BARRELS

**Z. Japaridze, M. Khoshtaria**

Department of food industry, Georgian Technical University, 68<sup>b</sup>, M. Kostava str, Tbilisi, 0175, Georgia

**Resume:** There is discussed the physical model of the diffusion process with cognac alcohol exposure in oak barrels. There is obtained exponential equation of extraction process.

**Key words:** oak; barrel; cognac; extraction; diffusion; liquid phase; solid phase; separation surface; equilibrium concentration.

**УДК 665.5.006**

## КИНЕТИКА ЭКСТРАКЦИОННОГО ПРОЦЕССА ПРИ ВЫДЕРЖКЕ КОНЬЯЧНОГО СПИРТА В ДУБОВЫХ БОЧКАХ

**Джапаридзе З.Ш., Хоштария М.Г.**

Департамент пищевой индустрии, Грузинский технический университет, Грузия, 0175, Тбилиси, ул. М. Костава, 68<sup>б</sup>

**Резюме:** Рассмотрена физическая модель диффузионного процесса при выдержке коньячного спирта в дубовых бочках. Получено экспоненциальное уравнение экстракционного процесса.

**Ключевые слова:** дуб; бочка; коньяк; экстракция; диффузия; жидккая фаза; твердая фаза; разделительная поверхность; равновесная концентрация.

**გთღებულია დასაბუქდად 13.03.14**

# არქიტექტურის, ურბანისტიკისა და დიზაინის სექცია

შაპ 72

თბილისის არქიტექტურა XIX-XX საუკუნეების მიჯნაზე

თ. ქუთათელაძე\*, გ. ბაგრატიონ-დავითაშვილი\*\*

დიზაინისა და არქიტექტურათმცოდნების დეპარტამენტი, საქართველოს ტექნიკური უნივერსიტეტი,  
საქართველო, 0175, თბილისი, მ. კოსტავას 68<sup>ბ</sup>

E-mail: tkutateladze@yahoo.com, giabag@hotmail.com

**რეზიუმე:** მოცემულია თბილისის არქიტექტურის თავისებურებები XIX-XX საუკუნეებში. XIX საუკუნის თბილისური საცხოვრებელი სახლი სხვადასხვა ტრადიციის შერწყმის შედეგია. ცხადია, ეს არ ის განსხვავებულ ფორმათა მექანიკური ჯამი: რუსეთიდან შემოსულ, სავსებით ჩამოყალიბებულ კანონიზებულ ფორმებს ასეთივე კანონიზებული ადგილობრივი ფორმები კი არ მომატებია, არამედ მათ აქ დახვდა ადგილობრივი პირობები, ცოცხალი ადგილობრივი ტრადიციები, რომელთა ევოლუციამ ახალ შემოსულ ფორმებთან შეხამბის პროცესში თვისებრივად ახალი რამ მოგვცა. ამიტომაა, რომ XIX საუკუნის თბილისური საცხოვრებელი სახლი, ისევე, როგორც საქართველოს სხვა ქალაქთა იმდროინდელი საცხოვრებელი სახლები, შეგვიძლია მივწინოთ ქართული ხუროთმოძღვრების გარკვეულ საფეხურად.

**საკვანძო სიტყვები:** საცხოვრებელი; ქალაქების განვითარება; კლასიციზმი; მონუმენტურობა; მოდერნი.

## 1. შესავალი

XIX საუკუნის დამდეგს რუსული კლასიციზმის გავლენით თბილისის არქიტექტურულ-სამშენებლო პრაქტიკამ პროგრესული ნიშან-თვისებები შეიძინა. დაიწყო ქალაქის განაშენიანება ქალაქთმშენებლობის წესების შესაბამისად: გაჩნდა საზოგადოებრივ ნაგებობათა ახალი ტიპები (სასწავლო დაწესებულებები, ადმინისტრაციული შე-

ნობები, თეატრები და ა.შ.), საცხოვრებელი შენობების არქიტექტურაში იწერება რუსული კლასიციზმის ელემენტები, რომლებიც ხალხური ხუროთმოძღვრების ტრადიციებთან შერწყმით სახლებს თავისებულ იქრს ანიჭებს.

XIX-XX საუკუნეების მიჯნაზე თბილისი მეფის რუსეთის კოლონიური განაპირა მხარის ტიპური ადმინისტრაციულ-სავაჭრო ცენტრია. აქ კავკასიის მეფისნაცვლის რეზიდენციაა. საქართველო კაპიტალისტური განვითარების საერთო კალაპოტში ექცევა.

## 2. ძირითადი ნაწილი

ძელი თბილისი, ფეოდალიზმის ეპოქის ქალაქი, რომელიც ასახავდა პატრიარქალურ კარჩაკუტილობას და იყო საქართველოსა და მთელი ამიერკავკასიის მთავარი ადმინისტრაციულ-სავაჭრო ცენტრი, კაპიტალისტური ქალაქის თვისებებს იძნდა. თბილისი სწრაფად იცვლიდა სახეს: აქ იქმნებოდა მთავარი მოედანი და მაგისტრალი. თანდათან ისახებოდა მთავარი – გუნიბის მოედნის (ამჟამად აქ საქართველოს ყოფილი პარლამენტის კორპუსებია) კონტურები. XIX საუკუნეში ამ მოედნის ირგვლივ და ქალაქის მთავარ მაგისტრალზე – გოლოვინის ქუჩაზე (ამჟამად რუსთაველის პროსპექტი) იგება მნიშვნელოვანი საზოგადოებრივი შენობები რუსული კლასიციზმის სულისკვეთებით: სასულიერო სემინარია (ამჟამად ხელოვნების სახელმწიფო მუზეუმი), კავკასიის არმიის ჯარების შტაბი, კავკასიის მეფისნაცვლის სასახლე, მოგვიანებით რენესანსის სტილში რეკონსტრუირებული (ამჟამად მოსწავლე ახალ-

გაზრდობის ეროვნული სასახლე), პაუპტვახტი, გიმნაზია და სხვა.

ფასადის საერთო სახისოვის არსებითი მნიშვნელობა ენიჭება პილასტრებს, რომელთა თანაბარზომიერი რიტმი ანაწევრებს მეორე სართულს. დიდი ხნის ინტერვალის შემდეგ აქ კვლავ ვხედავთ აკადემიური კანონების დაცვით აგებულ ორდერს.

XIX ს-ის თბილისური საცხოვრებელი სახლი სხვადასხვა ტრადიციის შერწყმის შედეგია. ცხადია, ეს არ ის განსხვავებულ ფორმათა მექანიკური ჯამი: რუსეთიდან შემოსულ, საქართველო ჩამოყალიბებულ, კანონიზებულ ფორმებს ასეთივე კანონიზებული ადგილობრივი ფორმები კი არ მიმატებია, არამედ მათ აქ დახვდა ადგილობრივი პირობები, ცოცხალი ტრადიციები, რომელთა ევოლუციამ ახალ შემოსულ ფორმებთან შეხამების პროცესში თვისობრივად ახალი რამ მოგვცა. ამიტომაა, რომ XIX ს-ის თბილისური საცხოვრებელი სახლი ისევე, როგორც საქართველოს სხვა ქალაქთა იმდროინდებული საცხოვრებელი სახლები, ჩვენ შეგვიძლია მივიჩნიოთ ქართული ხუროთმოძღვრების გარკვეულ საფეხურად.

როგორც ცნობილია, ქართული ქალაქური საცხოვრებელი სახლის სახე XIX საუკუნეში მარტო თბილისური სახლებით არ შემოიფარგლებოდა. ქალაქური საცხოვრებელი სახლების საინტერესო ნიმუშები შეიქმნა ქუთაისში, თელავში, სიღნაღმი, გორსა და ღუშეთში. იქაურ სახლებს პრინციპულად იგივე საფუძველი აქვს, რაც თბილისურს: აქაც ხდება კლასიციზმის ფორმათა გარდაქმა, მათი შეგუება ქართულ ტრადიციასთან; აქაც, მრავალ შემთხვევაში, სრულიად ითელება კლასიციზმის თეორია.

თბილისში ყალიბდება საცხოვრებლის ტიპი, რომელშიც „აპრობირებული“ ფასადის უკან ჩართულია ადგილობრივი ელემენტები – ჩაშენებული კარადები, ნიშები, ლია ვერანდა ეზოს მხრიდან და სხვა. იმ სახლების პროექტებში, რომლებიც გათვალისწინებული იყო ქველი უბისათვის, პირველ სართულებზე ეწყობოდა სავაჭრო ორგანიზაციები. ადგილობრივი ტრადიციები კარნასობრივ გადაწყვეტას.

მაგალითად, XIX ს-ის პირველ ნახევარში, ძირითადად სახლებში გამოყენებული იყო ტრადიციული ბანიანი გადახურვა. ადგილობრივი ტრადიციული ფორმები საცხოვრებელში ვლინდება არა მხოლოდ ეზოს მხრიდან, არამედ მთავარ ფასადშიც.

XIX საუკუნის დასაწყისში რუსეთის იმპერიის ფარგლებში საქართველოს მოქცევამ დიდი გავლენა მოახდინა ქართული ხუროთმოძღვრების შემდგომ ბედზე. საუკუნის პირველ ნახევარში თბილისში აშენდა სახელმწიფო ბრივი საზოგადოებრივი დანიშნულების ნაგებობები, იმ დროს იმპერიაში გავრცელებული გ.წ. გვიანდელი რუსული კლასიციზმის სტილით, მაგალითად, მთავარმართებლის სასახლე ი. ზუბალაშვილის სახლი (დღევანდებული ხელოვნების სახელმწიფო მუზეუმის შენობა), სიონის სამრეკლო, თბილისის, თელავის, სიღნაღმის, გორის, ახალციხის თრ- სამსართულიანი შენობების არქიტექტურაში ადგილობრივ სამშენებლო ტრადიციებთან (ფართო აივნები, მოსარატებული მოაჯირები, თაღური გადახურვა, აზიდული პროპორციები) ორგანულად იყო შერწყმული კლასიცისტური ფორმები და ელემენტები.

XIX საუკუნის II ნახევარში, კაპიტალიზმის ინტენსიური განვითარების პირობებში, რუსეთისა და ევროპის მიბაძვით საქართველოს ქალაქების არქიტექტურაში ეკლექტიზმი გაძარღვდა, რომლის ნიმუშებია ყოფილი ქარვასლისა და თეატრის შენობები. ახლანდებ თავისუფლების მოედანზე, ქალაქის სათათბიროს (დღევანდებული საკურებულოს) შენობა, სახაზინო თეატრი (დღევანდებული ზაქარია ფალიაშვილის სახელობის ოპერისა და ბალეტის სახელმწიფო აკადემიური თეატრი), დიდების ტაძარი (დღევანდებული საქართველოს მხატვართა გალერეა), არტისტული საზოგადოების შენობა (დღევანდებული შოთა რუსთაველის სახელობის სახელმწიფო აკადემიური თეატრი), სახელმწიფო „მაჟესტიკა“ (დღევანდებული სახელმწიფო „თბილისი მერიოტი“), ქაშუეთის ეკლესია, სათავადაზნაურო საადგილმამულო ბანკი (დღევანდებული საქართველოს პარლამენტის ეროვნული ბიბლიოთეკა). ქართული არქიტექტურისათვის დამახასიათებელია მონუმენტული, სისადავე, სილადე, ორნამენტის ზომიერი, გემოვნებით გამოყენება, ფუნქციური თუ ცრუ თაღების სიუხვე, სიმაღლისკენ დატოლვა, გაწონასწორებული პროპორციები თავისუფალი ფართობისადმი (სადა კედლისადმი) ტრფიალი, შიგა და გარე ფორმებს შორის სრული შესატევისობა, განვითარების მთელ მანძილზე (მცხეთის ჯვრიდან და ხერთვისიდან გრემსა და ანანურამდე) გარემომცველ ბუნებასთან ძეგლის საოცარი შერწყმა, ნაგებობათა ხალისიანი, მაჟორული იერი, მოსაპირკეოებელი მასალის დი-

დი გემოვნებით შერჩევა, მნიშვნელოვანი არქიტექტურული დეტალების აქცენტირება, საკულტო ძეგლებისათვის საპარადო, საზეიმო, თუ შეიძლება ითქვას, საერო იერის მიცემა.

XIX საუკუნის არქიტექტურამ შეცვალა არა მხოლოდ ქალაქის გეგმარებითი სტრუქტურა, არამედ თვით საცხოვრებელი სახლის სახე. ადმინისტრაცია თბილისში ნერგავდა რუსეთში უკვე გავრცელებულ ბოლო პერიოდის რუსული კლასიციზმის ფორმებს. ეს ეხებოდა ადმინისტრაციულ ნაგებობებს. საცხოვრებელ ნაგებობათა მშენებლობა მიმდინარეობდა სხვაგვარად. ამ პერიოდში თბილისში ჩამოყალიბდა საცხოვრებლის სრულიად განსხვავებული ტიპი. ვინაიდან საცხოვრებელ სახლებს აშენებდნენ ოფიციალური ფორმების მიხედვით, მის ფასადებში აგრეთვე კლასიციზმის ფორმები ყალიბდებოდა. მაგრამ თბილისის ბუნებრივი პირობები, მშენებლობის მრავალსაუკუნოვანი ტრადიციები აძლევდა ამ სახლებს განუმეორებელ სახეს. ფასადების კლასიკურ საფუძველს ემატებოდა ხის დახურული აივნები თრნამენტირებული თაღებითა და მოაჯირებით. თავისებური ხასიათი ჰქონდა გეგმარებასაც.

თბილისი – საქართველოს გული, მისი ძირითადი ქულტურული და პოლიტიკური ცენტრი, პაკასიის ქულტურული კავშირების ცენტრიც იყო.

თელავის, სიღნაღის, ქუთაისისა და სხვა ქალაქების ადრინდელ სახლებში ნაკლებად ჩანს შეზღუდვა სანიმუშო პროექტით. უმჭველია, უმეტეს შემთხვევაში, ამ სახლებს თვით თსტატები აშენებდნენ, „ნასწავლი“ არქიტექტორის მონაწილეობის გარეშე.

თბილისური სახლები არსებითად განსხვავდება მეზობელი ქვეწების, მაგ., აზერბაიჯანის, ქალაქური სახლებისაგან. იქ ისევე, როგორც აღმოსავლეთის სხვა ქვეწებში, XIX ს-ის მანძილზე, მაღიან დიდხანს ინარჩუნებდა ძალას ქუჩისკენ ზურგით მიქცეული სახლის შენების ტრადიცია, „ჩაკეტილი სახლის“ პრინციპი უცნობია თბილისისთვის. სახლის ფასადი, მისი დრმა აივნები და გალერეები შიგა ეზოსკენ იყო მიმართული. მხოლოდ წინააღმდეგობით სავსე ევოლუციის შემდეგ, გარკვეული გარდამავალი საფეხურების გავლით, გაჩნდა სარკმლები ქუჩის ფასადზე. მაგრამ ზოგჯერ ნამდვილ სარკმლებს მაინც მხოლოდ მეორე სართულში აკეთებდნენ, პირველში კი სარკმლების დეკორატიულ იმიტაციას სჯერდებოდნენ. ქუჩის მხარეს დაკიდებული

ლი აივანიც აქ შედარებით გვიან ჩნდება, როგორც გარე გავლენის შედეგი, ისიც მხოლოდ ზოგიერთ ქალაქში, მაგ., ყუბაში. ყუბის აივნები ზოგადად ძალიან პგავს თბილისურს, აზერბაიჯანის სხვა ქალაქების საცხოვრებლების ფონზე კი განმარტოებით გამოიყურება.

დასასრულ, აზერბაიჯანის ქალაქურ სახლებში საერთოდ ნაკლებად იგრძნობა კლასიციზმის კალი, სამაგიეროდ ძალიან ძლიერია ტრადიციული – „ისლამური ხასიათის“ – დეკორატიული და სურომოძღვრული ფორმების ხევდრითი წილი (აგურის სახეებიანი, ხალიჩისებრი წყობა, სრული თაღები მართეულთხა ჩარჩოში და სხვა). შემაბანდთა ალათების ნახატში თბილისურსა და აზერბაიჯანულ სახლებში გახვდება საერთო წყაროდან მომდინარე ანალოგიური მოტივებიც, მაგრამ ეს ვერ ცვლის არსებითი განსხვავების შთაბეჭდილებას.

### 3. დასტანა

ქართული არქიტექტურისათვის დამახასიათებელია მონუმენტურობა, სისადავე, სილადე, ორნამენტის ზომიერად და გემოვნებით გამოყენება, ფუნქციური თუ ცრუ თაღების სიუხვე, სიმაღლისებ ლტოლვა, გაწონასწორებული პროპორციები თავისუფალი ფართობისადმი (სადა კედლისადმი) ტრფიალი, შიგა და გარე ფორმებს შორის სრული შესატყვისობა, განვითარების მთელ მანძილზე (მცხეთის ჯვრიდან და ხერთვისიდან გრემსა და ანანურამდე) გარემომცველ ბუნებასთან ძეგლის საოცარი შერწყმა, ნაგებობათა ხალისიანი, მაჟორული იერი, მოსაპირკეთებელი მასადის დიდი გამოვნებით შერჩევა, მნიშვნელოვანი არქიტექტურული დეტალების აქცენტირება, საკულტო ძეგლებისათვის საპარადო, საზეიმო, თუ შეიძლება ითქვას, საერო იერის მიცემა.

ნაგებობანი, რომლებშიც ადგილობრივი ტრადიციები შერწყმულია კლასიციზმთან, ქმნიან ძველი თბილისის განუმეორებელ სახეს.

### ლიტერატურა

1. ვ. ბერიძე. თბილისის სურომოძღვრება. 1801-1917წ., ტომი I, თბილისი, 1960, II, თბილისი, 1963.
2. თ. გერსამია. ძველი თბილისი. 1984.
3. კვირკველია. ძველი თბილისის ქუჩებსა და ქუჩაბანდებში. თბილისი, 1989.

- 
4. გ. მანია, გვროველი არქიტექტორები თბილის-  
ში, 2006.
5. სუმბაძე, თბილისური პერიოდი. თბ., 2013.
6. დ. ბაკრაძე, ნ. ბერძენის. თბილისი в историческом и  
этнографическом отношениях. СПБ, 1870.
7. თ. რ. კვირკველია, Архитектура Тбилиси. Москва, 1985.
- 

**UDC 72****TBILISI'S ARCHITECTURE ON THE EDGE OF XIX-XX CENTURIES****T. Kutateladze, G. Bagration-Davitashvili**Department of theory and basis of architecture, Georgian Technical University, 68<sup>b</sup>, M. Kostava str, Tbilisi, 0175, Georgia

**Resume:** XIX century Tbilisi dwelling-house is merger of various traditions. Obviously, this is not the mechanical sum of the different forms: received from Russia, completely formed, canonized forms are not added to local canonized forms. Here they were met by local conditions, local alive traditions and evolution of combination process with recently received gave us new forms. That's why the XIX century dwelling-house in Tbilisi, as well as in other cities of the houses of that time, we can consider as a certain stage of Georgian architecture.

**Key words:** dwelling-house; town-planning; classicism; monumentalism; modernist style.

---

**УДК 72****АРХИТЕКТУРА ТБИЛИСИ НА РУБЕЖЕ XIX-XX ВЕКОВ****Кутателадзе Т.Г., Багратион-Давиташвили Г.Н.**Департамент основ и теории архитектуры, Грузинский технический университет, Грузия, 0175, Тбилиси, ул. М. Костава, 68<sup>b</sup>

**Резюме:** Тбилисский жилой дом XIX века является итогом слияния различных традиций. Это не является механической совокупностью разнообразных форм: здесь не произошло слияние пришедших из России канонизированных форм с местными, также канонизированными формами, здесь сыграли роль местные условия, живые местные традиции, эволюция которых в процессе слияния с новыми формами создала качественную архитектуру. Поэтому тбилисское жилище XIX века, так же как в других городах Грузии того периода, надо считать определенным этапом развития грузинского зодчества.

**Ключевые слова:** жилище; градостроительство; классицизм; монументальность; модерн.

---

*გილეაბულია დასაბუქდა 21.03.14*

# ბიზნესინგერინგის სექცია

შაპ 339.92

აპტომატიზაციის ეფექტურობა წარმომადის სფეროში

ა. კობიაშვილი, ნ. ფაილოძე\*, კ. რამაზაშვილი

ბიზნესის აღმინისტრირების დეპარტამენტი, საქართველოს ტექნიკური უნივერსიტეტი, საქართველო,  
0175, თბილისი, მ. კოსტავას 77

E-mail: n.pailodze@gtu.ge

**რეზიუმე:** განხილულია ავტომატიზაციის ეფექტურობის შეფასების კრიტერიუმები წარმოებაში. ნაჩვენებია გამოშვებული პროდუქციის მაღალი ხარისხის უზრუნველყოფის ხერხები. მოცემულია წარმოების სისტემური და ოპერაციული ეფექტურობის მაჩვენებლები. გაანალიზებულია წარმოების პროცესში ოპერაციული ეფექტურობის მიღწევის გზები. მოცემულია აღნიშნული მაჩვენებლების უზრუნველყოფისათვის საჭირო რეკომენდაციები ექსპერტებისათვის.

**საკვანძო სიტყვები:** წარმოების ავტომატიზაცია; სისტემური ეფექტურობა; ოპერაციული ეფექტურობა.

## 1. შესავალი

წარმოების ეფექტურად მართვა უზრუნველყოფს მომხმარებლის დაკმაყოფილებას მაღალი ხარისხის პროდუქციით [1], რაც მიიღება:

- საწარმოო ციკლის ზუსტად დაგეგმვით, რომლის დროსაც გამოირიცხება ავრალები – მაღალი ხარისხის უზრუნველყოფის ხელშემძლელი ფაქტორები.

- მასალისა და მაკომპლექტებელი ნაკეთობების შეძენის ზუსტად დაგეგმვით, რაც გამოიიცხავს არასწორ ან/და არადროულ მიწოდებას და, შესაბამისად, ნაკეთობაში უხარისხო კომპონენტების გამოყენებას.

- საწყობება და საწარმოში მარაგის ზუსტად აღრიცხვით, რაც უზრუნველყოფს შეძენის პრო-

ცესის ზუსტად დაგეგმვას.

- წარმოების დანახარჯების ზუსტად დაგეგმვით, რაც უზრუნველყოფს კონკრეტული ფასის შენარჩუნების შესაძლებლობას.

შეკვეთის (დამზადება, რემონტი) შესრულების მოკლე და მკაცრად დადგენილი ვადებიც ხელშეწყობი ფაქტორია მომხმარებლის მოთხოვნილებათა დაკმაყოფილებისათვის.

## 2. ძირითადი ნაწილი

ეფექტურ საწარმოო სისტემას ძალუმს სწრაფად გამოიტანოს ახალი საქონელი ბაზარზე, რასაც განაპირობებს როგორც დაგეგმვის სიზუსტის მაჩვენებლები, ისე საწარმოო პროცესის სწრაფად გადაწყობის უნარი. ამ შემთხვევაში იგულისხმება არა მართვის სისტემის, არამედ საწარმოო ობიექტების (რიცხვით-პროგრამული მართვის მქონე ჩარხები, სწრაფი გადაწყობის საშუალებები) ავტომატიზაცია. ამავე დროს, წარმოების მართვის სისტემა უნდა ითვალისწინებდეს ამ ობიექტების არსებობას და ამ სისტემას უნდა პქონდეს წარმოების სხვადასხვა ტიპის (ერთეულოვანი, სერიული) მართვის კომბინირების შესაძლებლობა, უნდა შეეძლოს გეგმის სწრაფად გადახედვა გარემოებებიდან გამომდინარე [2].

ეფექტურობის მაჩვენებლების უზრუნველყოფის შესაძლებლობა ბევრადაა დამოკიდებული საინფორმაციო ბაზის მდგრმარეობასა (სისრულე, საიმედოობა) და მასში ინფორმაციის დროულად განახლების შესაძლებლობაზე. ეს საინფორმა-

ციო ბაზა პრაქტიკულად მთლიანად იქმნება წარმოების ტექნიკური მომზადების სტადიაზე. და ოუ ეს სტადია არაა ავტომატიზებული გარკვეული მაჩვენებლების უზრუნველყოფით, შეიძლება განხდეს მნიშვნელოვანი გართულებები.

იმისათვის, რომ შევძლოთ დანახარჯების მართვა, აუცილებელია ანალიზისათვის საკმარისი

დანახარჯების წყაროების კლასიფიკაცია, დანახარჯების სანდო და დროული აღრიცხვა. ყველაფერმა ამან ასახვა უნდა პოვოს ავტომატიზებულ სისტემაში.

პირველ ცხრილში მოცემულია წარმოების სისტემური ეფექტურობის მაჩვენებლები.

### ცხრილი 1

#### წარმოების სისტემური ეფექტურობის მაჩვენებლები

ფაქტორი	ფაქტორის წონა	მაჩვენებელი	არ არის	უმნიშვნელებელი	საპარისია	არსებობია	ეფექტურობის ინდექსი
C7-ა. უზრუნველყოფს მომსმარჯბლის დაკმაყოფილებას	5	არის თუ არა უზრუნველყოფილი წარმოების ტექნიკური მომზადების ავტომატიზაცია					
C7-ბ. უზრუნველყოფს მომსმარჯბლის დაკმაყოფილებას	10	არის თუ არა უზრუნველყოფილი წარმოებისა და შესყიდვების დაგეგმვის სიზუსტის გაზრდა					
C7-ბ. უზრუნველყოფს მომსმარჯბლის დაკმაყოფილებას	10	არის თუ არა უზრუნველყოფილი წარმოებაზე დანახარჯების სრული და სანდო აღრიცხვა (ნორმატიულისა და ფაქტორის)					
C14-2. სწრაფად გამოაქვს ახალი საქონელი ბაზარზე	10	მცირდება თუ არა პროდუქციის წარმოების ვალები					

უდავოა, რომ ყველა ავტომატიზებულ საწარმო სისტემას აქვს საჭირო მონაცემების შეტანის შესაძლებლობა პირდაპირი გზით ან ინტერფეისის საშუალებით. გასათვალისწინებელია, რამდენად ოპერატორულადაა შესაძლებელი ახალი (შეცვლილი) ტექნოლოგიური მონაცემების შეტანა. ამიტომ, როდესაც ისმის კითხვა „არის თუ არა უზრუნველყოფილი წარმოების ტექნიკური მომზადების ავტომატიზაცია“, მხედველობაშია ტექნოლოგიური მონაცემების მომზადების სიჩქარე (და არა ბეჭდური დოკუმენტების მომზადების სიჩქარე) და მათი შენარჩუნება აქტუალურ მდგრამარებაში. აქვე უნდა გავითვალისწინოთ ტექნიკური დოკუმენტების მიმოქცევა (ცვლილებების შესახებ შეტყობინებების წარმოების ავტომატიზაცია, ელექტრონული არქივი) და საწარმო სისტემაში ინფორმაციის გადაცემის ავტომატიზაცია, და არა მისი მაღლით, ხელით „მოთავსება“

ქადალდზე არსებული დოკუმენტებიდან მაშინაც კი, როდესაც ისინი მიღებულია ავტომატიზებული ხერხით. იმის მიხედვით, თუ რამდენად ახლოს მივდივართ გამჭოლ პროცესთან „წარმოების მომზადება – წარმოება“, ექსპერტი აკეთებს დასკნას მოცემული მაჩვენებლის ზეგავლენის შესახებ.

წარმოებისა და შესყიდვების დაგეგმვის სიზუსტე დამოკიდებულია როგორც ტექნოლოგიური მონაცემების სარისხებე, ისე შრომითი და მატერიალური ნორმირების მეთოდიკასა და ინფორმაციის დეტალიზაციის სიღრმეზე. ექსპერტს სჭირდება ნორმირების არსებული მეთოდიკის შესწავლა და იმის დადგენა თუ რამდენად იცვლება ის ავტომატიზაციის შედეგად.

წარმოებაზე დანახარჯების (ნორმატიულისა და ფაქტორბრივის) სრული და სანდო აღრიცხვა დამოკიდებულია დანახარჯების აღრიცხვის მეთოდიგზე. აღრიცხვის გაუმჯობესებული მეთოდების

გამოყენება სულაც არ უზრუნველყოფს დაგეგმვის სიზუსტის გაზრდის. ექსპერტმა უერადღება უნდა მიაქციოს, ავტომატიზაციის შედეგად რამდენად უმჯობესდება ინფორმაციის დეტალიზაციის ხარისხი და როგორ იქნება ორგანიზებული ფაქტობრივი დანასარჯების შეგროვება და აღრიცხვა.

მიღებულია, რომ ავტომატიზებულ სისტემაში საწარმოო გარემოს ელემენტს უწოდონ სამუშაო ცენტრი, რომელიც არის სამუშაო აღგილი (მაგალითად, უბანი), მოწყობილობა (ან მოწყობილობათა ჯგუფი) და პერსონალი (მაგალითად, ბრიგადი). სამუშაო ცენტრს აქვთ განსაზღვრული ნორმატიული მწარმოებლურობა, რომელიც შეიძლება დამოკიდებული იქნის სამიერ კომპონენტზე. წარმოების ვადის შემცირება შესაძლებელია სამუშაო ცენტრებს შორის სამუშაოს ოპერატიული განაწილების ხარჯზე. რომ განსაზღვროს, მცირდება თუ არა პროდუქციის წარმოების ვადები, ექსპერტმა უნდა დაადგინოს, რამდენად ზუსტად განისაზღვრება სისტემაში საწარმოო გარემო და როგორია სისტემის შესაძლებლობები დატვირთვის გადანაწილების მოხედვით სამუშაო ცენტრებს შორის.

ოპერაციული ეფექტურობა წარმოების პროცესში მიღებული შემდეგი გზებით:

- პროდუქციის გამოშვების რაოდენობის გაზრდით;
  - წარმოების ციკლის დროის შემცირებით;
  - შრომის მწარმოებლურობის გაზრდით;
  - მოწყობილობების დატვირთვის გაზრდით;
  - საწარმოო სიმბლაფრების გამოყენების გაუმჯობესებით;
  - სასაქონლო-მატერიალური მარაგის მიმოქცვის დაჩქარებით;
  - ინფრასტრუქტურასა და მართვის აპარატზე დანასარჯების შემცირებით;
  - შემსრულებლის კვალიფიკაციის გაზრდით,
- რაც უზრუნველყოფს ახალი ამოცანების გადაწყვეტას.

აუცილებლად უნდა აღვნიშნოთ, რომ ფაქტორების გარკვეული ნაწილი ურთიერთზეგავლენას ახდენს. მაგალითად, პროდუქციის გამოშვების ციკლის დროის შემცირება იწვევს პროდუქციის რაოდენობის ზრდას, შრომის მწარმოებლურობის ზრდას იწვევს პროდუქციის მოცულობის ზრდას ან პროდუქციის თვითდინებულების შემცირებას და სხვა. მიუხედავად ამისა, ეს კავშირები რთული და არაერთმნიშვნელოვანია. ამიტომ გამოთვლების გასამარტივებლად ფაქტორები შეფასდება რო-

გორც დამოუკიდებელი, ხოლო მაჩვენებლებიდან ვირჩევთ მხოლოდ არსებითს.

პროდუქციის გამოშვების (წარმოების მოცულობის) ზრდას უზრუნველყოფს:

- სარისხის გაუმჯობესება;
- სხვა დამოუკიდებელი ფაქტორები.

საწარმოო ციკლის შემცირება მიიღწევა წარმოებისა და მომარაგების სიზუსტის გაუმჯობესებით.

შრომის მწარმოებლურობის ზრდა მიიღწევა:

- შრომის ნორმატივების გამოთვლების სიზუსტის გაზრდით;
- დანაკარგის აღრიცხვით (და შემდგომი გამოსწორებით), მოცდებებისა და დროის არასაწარმოო ხარჯვის აღრიცხვით.

მოწყობილობის დაგვირთვის ზრდა მიიღწევა:

- შრომითი ციკლების გათანაბრების შესაძლებლობის მიღწევით;
- მოწყობილობის ხელმისაწვდომობის გაზრდით, დაზიანებების რაოდენობის შემცირებისა (გეგმური რემონტი) და არაგეგმურ, ხელმეორე გამართვაზე დანაკარგების შემცირების ხარჯზე.

საწარმოო სიმძლავრეების გამოყენების გაუმჯობესება მიიღწევა:

- დამზადების მარშრუტების სწრაფი ცვლილებით (გადატვირთვების ან დაზიანებების შემთხვევაში);
- საწყობის ფართობის ოპტიმალურად გამოყენებით.

სასაქონლო-მატერიალური მარაგების მიმოქცევის დაზიარებას უზრუნველყოფს მასალებისა და მაკომბლექტებელი დეტალების მარაგების შემცირება.

ინფრასტრუქტურასა და მართვის აპარატზე ხარჯების შემცირებას უზრუნველყოფს პერსონალის რაოდენობის პირობითი გამოთავისუფლება, რაც შესაძლებელი ხდება:

- რეტინული სამუშაოს (აღრიცხვა, გამოთვლები, დოკუმენტაციის გამოშვება) მოცულობის შემცირების ხარჯზე;

• მენეჯერის საქმიანობის (გადაწყვეტილებების მიღებისათვის მენეჯერის საჭირო ინფორმაციით უზრუნველყოფა) მოცულობის შემცირების ხარჯზე.

დაგეგმვისათვის საჭირო ინფორმაციის დამუშავების მეთოდოლოგია (MRP, APS და სხვა) მოითხოვს ცოდნის სხვა დონეს და ამით ხელს უწყობს შემსრულებლების კვალიფიკაციის ამაღლებას ახალი (შეცვლილი) ამოცანების გადასაწყვეტად.

ცხრილი 2

## წარმოების ოპერაციული ეფექტურობის მაჩვენებლები

ფაქტორი	ფაქტორის წონა	მაჩვენებელი	არ არის	უმნიშვ- ნელობა	საქმა- რისია	არსე- ბითია
Φ12. ზრდის პროცესის გამოშვებას (მოცულობას)	10	გაუმჯობესდება თუ არა პრო- ცესის ხარისხი				
Φ13. ამცირებს წარმო- ების ციკლის დროს	20	გაუმჯობესდება თუ არა წარმო- ებისა და მომარაგების დაგვ- გმვის სიზუსტე				
Φ14A. ზრდის შრომის მწარმოებლურობას	10	გაიზრდება თუ არა შრომითი ნორმატივების სიზუსტე				
Φ14B. ზრდის შრომის მწარმოებლურობას	10	იქნება თუ არა უზრუნველყო- ფილი დროისა და მოცდების დანაკარგების აღრიცხვა				
Φ17A. ზრდის მოწყო- ბილობის დატვირთვას	10	უზრუნველყოფს თუ არა დაგეგ- მვის სისტემა საწარმოო ციკ- ლების ოპტიმიზაციას				
Φ17B. ზრდის მოწყობი- ლობის დატვირთვას	10	გაიზრდება თუ არა მოწყობი- ლობის წვდომა (დატვირთვა)				
Φ18A. აუმჯობესებს სა- წარმოო სიმძლავრეების გამოყენებას	20	გაიზრდება თუ არა წარმოების მარშრუტების ცვლილების ოპე- რატიულობა				
Φ18B. აუმჯობესებს სა- წარმოო სიმძლავრეების გამოყენებას	10	გაუმჯობესდება თუ არა საწარ- მოო ფართობების გამოყენება				
Φ19-2. აჩქარებს სასაქონ- ლო-ძარღიალური მარა- გის მიმოქცევას	10	შემცირდება თუ არა მასალე- ბისა და მაკომპლექტებელი დუ- ბალების მარაგი				
Φ16-2A. ამცირებს დანახ- არჯებს ინფრასტრუქტუ- რასა და მართვის აპა- რატზე	10	შემცირდება თუ არა რეტინული სამუშაოს (აღრიცხვა, გამოთვ- ლები, დოკუმენტაციის გამოშ- ვება) მოცულობა				
Φ16-2B. ამცირებს დანახ- არჯებს ინფრასტრუქტუ- რასა და მართვის აპა- რატზე	10	შემცირდება თუ არა მენეჯერის შრომა (მენეჯერული გადაწყვე- ტილებების მიღების დრო და დასაბუთებულობა)				
K4-2. უზრუნველყოფს გა- დასაწყები ამოცანების შესაბამის კვალიფიკაციას	5	გაიზრდება თუ არა შემსრულებ- ლის კვალიფიკაცია აეტომატი- ზებული სისტემის გამოყენების შედეგად				

სისტემური და ოპერაციული ეფექტურობების ამოცანების შედეგების გადასაწყები ამოცანების შესაბამის კვალიფიკაციას

სას შეიძლება გამოყენებულ იქნეს რეკომენდა-  
ციები, რომლებიც ეხება სისტემურ ეფექტურო-  
ბას. ქვემოთ მოყვანილია მხოლოდ ის რეკომენ-

დაციები, რომლებიც განსხვავდება მაჩვენებლების მხრივ.

მოცულობის გაზრდა პროდუქციის ხარისხის გაუმჯობესების მიზეზით ხდება იმ მიზეზების ჩამოცილების შედეგად, რომლებიც ახდენს წარმოების დეზორგანიზაციას. კერძოდ, ცუდი ხარისხი ამცირებს წარმოების მოცულობას შემდეგი მიზეზების გამო:

- პროდუქციის წუნის, გადაკეთებისა და უკან დაბრუნების გამო;
- მატერიალური ნაკადების დარღვევების გამო;
- დამატებითი მიწოდებისა და გამართვის გამო;
- სარეზერვო მარაგის ზრდის გამო.

ხარისხის გაუმჯობესება საშუალებას იძლევა თავიდან ავიცილოთ დროისა და შრომის დანაკარგები. ეს პარამეტრები შეიძლება აღწევდეს შემდეგ სიდიდეებს:

- დეფექტის გამოსწორებაზე დანახარჯების შემცირება 10-60%-ით;
- საწარმოო წუნის შემცირება 35%-ით;
- საწარმოო ციკლის შემცირება 30%-ით;
- ნარჩენების შემცირება 20-50%-ით.

მაჩვენებლის სიდიდის განსაზღვრისას შესაძლებელია კისარგებლოთ ქვემოთ მოყვანილი ცხრილით.

### ცხრილი 3

#### მაჩვენებლების სიდიდეები

მაჩვენებელი	არ არის	უმნიშ- ვნელოა	არსე- ბითია	საკმა- რისია
მომსახურების გაუმჯობესება (დროული მიწოდებების წილის გაზრდა)	0%	6%	16%	28%
მწარმოებლურობის გაზრდა (გამოშვების მოცულობის ზრდა)	0%	4%	10%	16%
საწარმოო ფართობების მოთხოვნილების შემცირება	0%	15%	30%	50%
მარაგის დონის შემცირება (მასალების, დაუმთავრებელი წარმოების, მზა პროდუქციის ჩათვლით)	0%	5%	17%	25%
იმ ქვედანაყოფების შრომითი დანახარჯების შემცირება, რომლებიც დაკავებული არიან წარმოების მართვით	0%	4%	10%	20%

პირობით გამოთავისუფლებაში იგულისხმება ან პერსონალის რეალური რაოდენობის შემცირება, ან მოცვემული რაოდენობის შემსრულებლების მიერ უფრო დიდი სამუშაოს შესრულება. მაგრამ ავტომატიზაციის დროს ყველაზე ხშირია შემთხვევა, როდესაც პერსონალი იწყებს იმ სამუშაოს შესრულებას, რაც ადრე არ შეეძლო. და სწორედ ეს სამუშაო (ახალი ფუნქციები) იძლევა საშუალებას დაკმაყოფილდეს ეფექტურობის ის ფაქტორები, რომლებიც უზრუნველყოფენ ოპერაციულ ეფექტურობას.

### 3. დასკვნა

მართვის ავტომატიზაცია მნიშვნელოვნად ცვლის ბევრი მუშაკის შრომის ხასიათს. ეს ეხება დისპეციერს, მომმარაგებელს, მეცნიერებელს და,

ყველაზე მეტად, წარმოების დამგეგმავს. ავტომატიზებული სისტემა ამუშავებს უზარმაზარ ინფორმაციას, მაგრამ ინფორმაციის ნაწილი (უმეტესწილად, საწარმოო გარემოს შესახებ) შეიძლება საერთოდ არ არსებობდეს ან არ იყოს სანდო. ზოგიერთ საწარმოში შემოაქვთ მთავარი დამგეგმავის თანამდებობა. ესაა სპეციალისტი, რომელიც სისტემიდან მიღებული მონაცემებისა და გარე წყაროებიდან მიღებული ინფორმაციის საფუძველზე ღებულობს გადაწყვეტილებას წარმოების მარშრუტის შეცვლის, ვადების გადაწყვისა და სხვა ცელილებების შესახებ და სისტემას აძლევს ბრძანებას (ზოგჯერ არაერთს) საწარმოო გრაფიკების გეგმის ცელილების შესახებ. რთული მრავალნომენცილტურული წარმოების შემთხვევაში ეს შეიძლება იყოს საკმაოდ რესურსტევადი ამო-

ცანა (განსაკუთრებით დროის თვალსაზრისით), თუმცა ყველა სისტემას შეუძლია ასეთი შესაძლებლობის უზრუნველყოფა.

### **ლიტერატურა**

1. Карминский А.В., Черников Б.В. Информационные системы в экономике. Часть 2. Практика использования. М.: Финансы и статистика, 2006.- 238 стр.
2. Головин А.С. Экономика информационных технологий. М., 2009.- 57 стр.
3. Брайдо В.Л. Офисная оргтехника для делопроизводства и управления. Москва: Информационно-издательский дом „Филинъ“, 1998.- 424 с.
4. Вендров А.М. CASE-технологии. Современные методы и средства проектирования информационных систем. Москва: Финансы и статистика, 199.-176 с.

**UDC 339.92**

### **EFFICIENCY OF AUTOMATIZATION IN THE SCOPE OF PRODUCTION**

**A. Kobiashvili, N. Pailodze, K. Ramazashvili**

Department of business administration, Georgian Technical University, 77, M. Kostava str, Tbilisi, 0175, Georgia

**Resume:** There are considered estimation criteria of efficiency of automatization in the scope of production. The ways of provision the high quality of output are shown. The rates of system and operational efficiency of production are given. The ways of accomplishing the operational efficiency in the working process are analyzed. Necessary recommendations for assurance of these rates for experts are given.

**Key words:** automatization of production, system efficiency, operational efficiency.

**УДК 339.92**

### **ЭФФЕКТИВНОСТЬ АВТОМАТИЗАЦИИ В СФЕРЕ ПРОИЗВОДСТВА**

**Кобиашвили А.А., Пайлодзе Н.Р., Рамазашвили К.Т.**

Департамент администрирования бизнеса, Грузинский технический университет, Грузия, 0175, Тбилиси, ул. М. Костава, 77

**Резюме:** Рассмотрены критерии оценки эффективности автоматизации в сфере производства. Показаны способы обеспечения высокого качества выпускаемой продукции. Даны показатели системной и операционной эффективности производства. Проанализированы способы достижения операционной эффективности в процессе производства. Даны необходимые рекомендации для экспертов для обеспечения данных показателей.

**Ключевые слова:** автоматизация производства; системная эффективность; операционная эффективность.

*მიღებულია დანაბეჭდით 19.03.14*

# 063070202002 და მართვის სისტემების სექცია

УДК 621.315.592

## ИССЛЕДОВАНИЕ ОБЛУЧЕННЫХ ВЫСОКОЭНЕРГЕТИЧЕСКИМИ ПРОТОНАМИ КРИСТАЛЛОВ

*n - Si* МЕТОДОМ ФОТО-ХОЛЛ – ЭФФЕКТА

Т.А. Пагава, Н.И. Майсурадзе, М.Г. Беридзе, И.Г. Каландадзе, Н.А. Эсиава

Департамент инженерной физики, Грузинский технический университет, Грузия, 0175, Тбилиси, ул. М. Костава 77

E-mail: tpagava@gtu.ge

**Резюме:** Исследуемые образцы монокристаллов *n - Si* с концентрацией электронов  $N = 6 \cdot 10^{13} \text{ см}^{-3}$  облучались протонами с энергией 25 МэВ при  $300K$ . Для исследования применяли метод фото-Холл-эффекта. В облученных образцах наблюдается аномально высокое значение Холловской подвижности электронов, что объясняется образованием в объеме кристалла высокопроводящих включений с омическим переходом на границе с матрицей кристалла. При некоторых температурах изохронного отжига наблюдается аномально высокое рассеяние электронов, которое уменьшается монохроматической ИК подсветкой заданной энергии. Подсветка деионизирует электростатически взаимодействующие вторичные глубокие центры, которые образуются в процессе изохронного отжига вокруг металлических включений и экранируют их. Показано, что экранирующими дефектами, которые образуются вокруг металлических включений в процессе изохронного отжига, являются в основном *A* – и *E* – центры.

**Ключевые слова:** высокоэнергетические протоны; метод фото-Холл-эффекта; ИК подсветка; *A* – и *E* – центры.

## 1. ВВЕДЕНИЕ

### Постановка задачи

В работе [1] показана зависимость размеров и конфигураций разупорядоченных областей (РО) от энергии первичного выбитого атома в кристаллах *Si*. Из зависимости числа взаимодействий от энергии протона

следует, что природа большинства взаимодействий кулонова и в этих условиях преимущественно образуются изолированные точечные радиационные дефекты (РД). Когда энергия отдачи превышает  $\sim 2\text{кэВ}$ , в кристалле образуются однокаскадные или субкаскадные разрушения. С ростом энергии протонов ( $\varepsilon \geq 20$  МэВ) субкаскадные разрушения становятся многокаскадными, т.е. образуются разупорядоченные области (РО).

Ядра РО состоят из вакансий, дивакансий и различного рода вакансационных ассоциатов, а в формировании их периферии (оболочки) участвуют дефекты типа примесь + вакансия.

РО в кристаллах *n - Si* характеризуются проводимостью *p* – типа, а в кристаллах *p - Si* – *n* – типа, т.е. они являются диэлектрическими включениями и вызывают уменьшение эффективного значения холловской подвижности  $\mu_{eff}$  как в области фононного рассеяния, так и в области рассеяния на заряженных дефектах [2,3,4,5,6].

Авторами работ [5,6] было высказано предположение, что ядра РО состоят из собственных межузельных атомов.

В работах [7,8,9] экспериментально доказано, что в кристаллах *n - Si*, облученных протонами с энергией 25 МэВ, преимущественно образуются металлические включения с омическим переходом на границе раздела с матрицей полупроводника, что приводит к аномальному увеличению  $\mu_{eff}$ . В процессе изохронного отжига (ИО) вокруг металлических включений (которые по-видимому, являются скоплениями межузельных атомов) образуется непрозрачная для электронов про-

водимости оболочки из отрицательно заряженных акцепторных радиационных дефектов РД, чем объясняется резкое уменьшение  $\mu_{eff}$  после отжига облученных образцов при  $T_{ann} = 110^0C$  или в процессе естественного старения в течение 30 суток при  $300K$ .

В работе [9] высказано предположение, что в области высоких температур ( $300 - 200K$ ) за экранирование металлических включений ответственны  $E$ -центры. При низких температурах кроме  $E$ -центров также  $A$ -центры, которые начинают заряжаться ниже  $200K$ . После отжига  $E$ -центров ( $T_{ann} = 160^0C$ ) экранирующая оболочка при низких температурах ( $< 200K$ ), по-видимому, состоит только из отрицательно заряженных  $A$ -центров. Следует отметить, что в силу кулоновского притяжения между положительными атомами фосфора и отрицательными вакансиями эффективности введения А-центров  $\eta_A$  и Е-центров  $\eta_E$  в наших условиях, когда концентрация кислорода на два порядка превышает концентрацию фосфора, почти равны -  $\eta_A \approx \eta_E$  [10,11].

Если в атмосфере вокруг металлических включений действительно образуются  $A$ - и  $E$ -центры и если именно они ответственны за резкое уменьшение  $\mu_{eff}$  электронов в кристаллах  $n-Si$ , облученных протонами с энергией 25 МэВ, то используя монохроматическую селективную подсветку, можно существенно повлиять на вид кривой  $\mu_{eff}(T)$  путем деионизации определенного числа этих центров.

Целью данной работы является изучение влияния селективного фотовозбуждения с помощью ИК подсветки части  $A$ - и  $E$ -центров на  $\mu_{eff}$  исследуемых образцах.

## 2. ОСНОВНАЯ ЧАСТЬ

### Эксперимент

Для исследования нами были использованы моно-кристаллы  $n-Si$ , легированные фосфором, с концентрацией электронов  $N = 6 \cdot 10^{13} cm^{-3}$ . Кристаллы были получены методом зонной плавки. Соответственно концентрация кислорода  $N_O \approx 10^{16} cm^{-3}$ ; плотность ростовых дислокаций  $N_D \approx 10^3 - 10^4 cm^{-2}$ . Часть исследуемых образцов облучалась только протонами 25 МэВ (доза  $\Phi = 8,1 \cdot 10^{12} cm^{-2}$ ); определенная часть образцов сначала небольшими дозами протонов ( $\Phi \approx 10^{11} cm^{-2}$ ), а затем электронами 2 МэВ (доза  $\Phi = 10^{14} cm^{-2}$ ).

Для изучения роли деионизации глубоких центров на  $\mu_{eff}$  мы использовали метод фото-Холл-эффекта; электроны с уровней данного типа возбуждались в зону проводимости светом с помощью монохроматора ИКС-21. ИК свет от одного монохроматора освещал только определенную часть исследуемого образца. Для усиления эффекта мы освещали кристалл из двух источников таким образом, чтобы они не перекрывали друг-друга. Уровень инъекции photoносителей не превышал  $\sim 3\%$ . Температурные зависимости  $N$ ,  $\rho$  и  $\mu_{eff}$  исследовались в интервале  $T = 77 \div 300K$ ;  $N$  измеряли компенсационным методом в магнитном поле  $H = 10k\mathcal{E}$ ;  $\rho$  измеряли двухзондовым методом; холловский фактор принимался равным единице.  $\mu_{eff}$  вычисляли по формуле  $\mu_{eff} = 1/e\rho$ , где  $e$  – заряд электрона,  $\rho$  – удельное сопротивление исследуемого образца. С целью осуществления перестройки атмосферы точечных дефектов, образующихся вокруг металлических включений, применялся изохронный отжиг ИО в интервале  $80 \div 550^0C$ , шагом  $10^0C$  с охлаждением за время  $\leq 10$  сек; время выдержки при фиксированной температуре 10 мин. Погрешность измерения этих величин не превышала 10%.

### Результаты исследований и их обсуждение

На рис.1 представлены зависимости  $N = f(10^3/T)$  в исходном кристалле (кривая 1) после облучения протонами 25 МэВ интегральным потоком  $8,1 \cdot 10^{12} cm^{-2}$  (кривая 2), а также после отжигов облученного образца при температурах 110, 160 и  $380^0C$  (кривые 3, 4, 7 соответственно). Кривая 2 на рис.1 соответствует дефекту акцепторного типа с энергией ионизации  $E_C = 0,38 \pm 0,01$  эВ, т.е. дивакансиям [12].

Как известно [13], энергия электростатического взаимодействия электронов в цепочке «оборванных» связей на дислокациях зависит от их заполнения и может быть представлена выражением

$$\varepsilon_S(F) \approx f_c \varepsilon_0 [(3/2) \ln(f/f_c) - 0.8666], \quad (1)$$

где  $\varepsilon_0 = e^2 / \varepsilon c \approx 0,5$  эВ для  $Si$ ,  $F$  – функция Ферми,  $f_c = c[\pi(N_d - N_a - n)]^{1/3}$  – степень заполнения «оборванных» связей на дислокациях,  $N_d$  и  $N_a$  – концентрация доноров и акцепторов соответственно,  $e$  – заряд электрона,  $\varepsilon$  – диэлектрическая проницаемость,  $c$  – расстояния между оборванными связями,  $n$  – концентрация электронов в зоне проводимости после деформации и отжига.

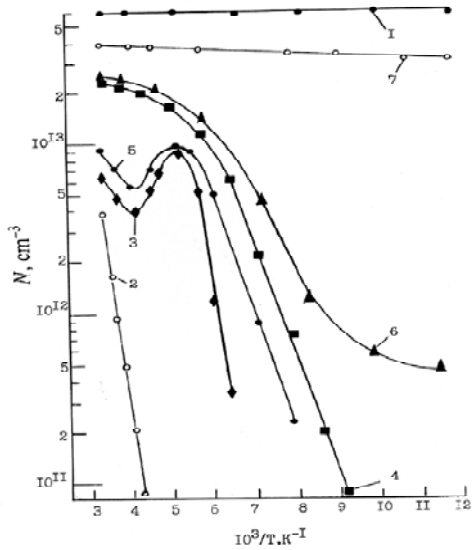


Рис.1. Температурная зависимость концентрации электронов в кристаллах  $n - Si$ , облученных протонами 25 МэВ при 300К:  
 1 – до облучения, 2 – после облучения дозой  $\Phi = 8,1 \cdot 10^{12} \text{ см}^{-2}$ ,  
 3,4,7 – после отжига при  $110$ ,  $160$  и  $350^{\circ}\text{C}$  соответственно, 5,6 – при подсветке кристаллов ИК светом с энергией фотонов  $0,44$  и  $0,17$  эВ, отожженных при  $110$  и  $160^{\circ}\text{C}$  соответственно

Если  $c$  соизмеримо  $c_K$  (расстоянием между комплексами в примесно-дефектной оболочке вокруг металлических включений, которые образуются в кристаллах  $n - Si$  в процессе высокоэнергетического облучения), то, пренебрегая вторым членом в скобках выражения (1) и применяя это выражение для атмосферы комплексов, получим  $\varepsilon_S \approx 0,03$  эВ. Однако, так как степень заполнения глубоких центров в атмосфере вокруг металлических включений  $f_K$  стремится к единице, необходима перестройка самой атмосферы вокруг включений, причем энергия взаимодействия может достигать величины  $\varepsilon_S \approx f_K \varepsilon_0$ , соизмеримой с энергией ионизации глубоких комплексов ( $\sim 0,65$  эВ). Электростатическое взаимодействие может увеличить или уменьшить энергию ионизации центров, так как в исследуемых кристаллах  $n - Si$ , помимо отрицательно заряженных акцепторных радиационных дефектов (РД), присутствуют также положительно заряженные атомы донорной примеси. Кроме этого, знак взаимодействия между отрицательно заряженными различными РД, которым соответствуют различные уровни, зависит от направлений спина электронов, захваченных акцепторными центрами.

Протонное облучение увеличивает долю электростатически взаимодействующих центров (А-, Е-центров, дивакансиев и т.д.), так как создает первичные дефекты, расположенные вдоль треков пробега протонов, и способные конденсироваться с образованием близко расположенных вакансационных комплексов и кластеров [11].

После отжига  $T_{ann} = 110^{\circ}\text{C}$  немонотонная кривая 3 на рис.1 соответствует истощению А-центров. Энергия деионизации А-центра изменена, что связано с электростатическим взаимодействием между заряженными РД [8,13]. По-видимому, когда энергия электростатического взаимодействия  $\varepsilon \geq 0,17$  эВ, электроны с уровня, соответствующего А-центрам, переходят в зону проводимости при более низких температурах, чем обычно (рис.1, кривая 3).

В силу электростатического взаимодействия в зону проводимости электроны переходят не только из А-центров, но и с более глубоких уровней. В результате угол наклона кривой 3 на рис.1 увеличивается, а концентрация электронов при 200К становится больше равновесного ( $9 \cdot 10^{12} \text{ см}^{-3}$ ). После деионизации А-центров уменьшаются силы электростатического взаимодействия и при 250К в зоне проводимости остаются только равновесные электроны ( $4 \cdot 10^{12} \text{ см}^{-3}$ ). При дальнейшем увеличении температуры измерения концентрация электронов монотонно возрастает.

На рис.2 представлены зависимости  $\mu_H(T)$  в исходном кристалле (рис. 2, кривая 1) после облучения протонами с энергией 25 МэВ интегральным потоком  $8 \cdot 10^{12} \text{ см}^{-2}$  (рис. 2, кривая 2), а также после отжигов при  $T_{ann} = 110$ ,  $160$ ,  $300$  и  $400^{\circ}\text{C}$  (рис.2, кривые 3, 4, 7 и 8 соответственно). На кривой 3 наблюдается резкое уменьшение  $\mu_{eff}$  с минимумом при  $180K$ , а на кривой 4 – при  $100K$ . Возбуждение электронов в зону проводимости с уровнем  $0,44$  эВ ( $\lambda = 2,8 \text{ мкм}$ ) в образцах, отожженных при  $T_{ann} = 110^{\circ}\text{C}$ , увеличивает значение  $\mu_{eff}$ , немного смещая его в сторону меньших температур (рис.2, кривая 5). После  $T_{ann} = 160^{\circ}\text{C}$  возбуждение электронов с уровнем  $0,17$  эВ ( $\lambda = 7,3 \text{ мкм}$ ) вызывает увеличение максимума на кривой зависимости  $\mu_{eff}(T)$  и смещает его в сторону более низких температур (рис.2, кривая 6).

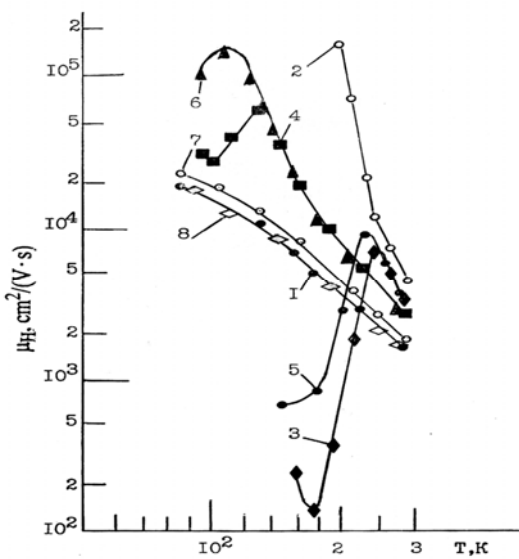


Рис.2. Зависимость подвижности электронов от температуры в облученных протонами кристаллах  $n - Si$ ; 1 – до облучения, 2 – после облучения, 3,4,7,8 – после отжига при 110, 160, 380 и 550°C соответственно, 5,6 – при подсветке кристаллов ИК светом с энергиями фотонов 0,44 и 0,17 эВ, отожженных при 110 и 160°C соответственно

Из рис.2 следует, что подсветка оказывает влияние на ход зависимости  $\mu_{eff}(T)$  не только при низких температурах ( $\sim 100K$ ) в области рассеяния на заряженных центрах, но и в области рассеяния носителей тока на фононах ( $\geq 180K$ ).

Энергия электрона на локальном уровне  $E = E_T + \varepsilon$ , где  $E_T$  – тепловая энергия, а  $\varepsilon$  – энергия электростатического взаимодействия между отрицательно заряженными дефектами в атмосфере вокруг металлических включений. Если  $E = E_i$ , где  $E_i$  – энергия деионизации центра, то электрон из локального уровня переходит в зону проводимости.

По-видимому, в интервале температур 230 – 300K  $E = E_i = 0,44\text{eV}$ , электроны с уровня, соответствующего Е-центрам, переходят в зону проводимости, степень экранирования металлических включений уменьшается и холловская подвижность согласно [14] может быть представлена выражением

$$\mu_{eff} \approx \mu_H \frac{1+3f_1}{1-6f_1}, \quad (1)$$

где  $\mu_H$  – холловская подвижность неповрежденной матрицы, а  $f_1$  – суммарная объемная доля скоплений межузельных атомов. Как видно из формулы (1),  $\mu_{eff}$  является возрастающей функцией объемной

доли  $f_1$  включений, что мы наблюдаем на кривой зависимости  $\mu_{eff}(T)$  в интервале 230 – 300K (рис.2, кривая 3). С понижением температуры  $E$  уменьшается и Е-центры начинают заряжаться. Следовательно, увеличивается степень экранирования металлических включений. Они становятся непрозрачными для электронов и согласно [3] холловская подвижность уменьшается по закону

$$\mu_{eff} \approx \mu_H \frac{1-f_2/4}{1+f_2/2}, \quad (2)$$

где  $\mu_H$  – холловская подвижность электронов в исходном образце,  $f_2$  – доля объема, занимаемая квазидиэлектрическими включениями (рис.2, кривая 3).

Следует отметить, что в данном случае кроме энергий и дозы облучения  $f_1$  и  $f_2$  являются также функциями степени экранирования металлических включений  $\gamma$ . При увеличении  $\gamma$   $f_1$  уменьшается, а  $f_2$  – увеличивается и наоборот.

На кривой зависимости  $\mu_{eff}(T)$  в области 180K наблюдается минимум. Существование минимума в работе [8] объясняется изменением степени экранирования металлических включений в зависимости от температуры в процессе измерения, хотя единого мнения по этому вопросу в научной литературе пока нет [13,14,15].

Увеличение значения  $\mu_{eff}$  в интервале 140 – 230K при возбуждении электронов в зону проводимости с уровня  $E_C - 0,44\text{eV}$ , используя ИК подсветку, объясняется уменьшением степени экранирования атомных кластеров и соответственно увеличением объемной доли металлических включений  $f_1$  (см. формулу (1)). В температурном интервале 230 – 300 K вокруг металлических включений Е-центры истощены в силу электростатического взаимодействия и высокой температуры и поэтому ИК подсветка не влияет на величину  $\mu_{eff}$ .

Е-центры в области фононного рассеяния (300 – 200K) практически электронейтральны и не могут сильно повлиять на степень экранирования металлических включений и соответственно на  $\mu_{eff}$ .

Что касается дивакансий, они в основном образуются в процессе облучения путем каскадного механизма и, несомненно, присутствуют в объеме крис-

талла. В процессе ИО, в силу электростатического отталкивания между отрицательными моновакансиями, образование дивакансий путем диффузионного механизма маловероятно. Поэтому в атмосфере вокруг металлических включений, по всей вероятности, они присутствуют в небольшом количестве.

Уменьшение  $\mu_{eff}$  в области низких температур ( $130K$ ) после полного отжига  $E$ -центров ( $T_{ann} = 160^0C$ ) в работе [9] объясняется изменением заряженного состояния  $A$ -центров. Они заряжаются отрицательно и увеличивают степень экранирования металлических включений. В этом температурном интервале металлические включения с отрицательно заряженной оболочкой сильно рассеивают электроны проводимости и тем самым уменьшают  $\mu_{eff}$ .

Возбуждение электронов в зону проводимости с уровня  $E_C - 0,17eV$  с помощью ИК подсветки приводит к уменьшению степени экранирования металлических включений  $\eta$ . В результате уменьшается влияние рассеивающего эффекта электронов отрицательно заряженными включениями на  $\mu_{eff}$ . Следовательно,  $\mu_{eff}$  продолжает расти почти до  $100K$ , а минимум, по-видимому, смещен влево, в область низких температур ( $T < 77K$ ).

После полного отжига  $A$ -центров при  $T_{ann} = 380^0C$  кривая зависимости  $\mu_{eff}(T)$  в интервале температур от комнатной до точки кипения азота меняется монотонно (рис.2, кривая 7). При  $T_{ann} = 550^0C$  металлические включения полностью отжигаются (рис.2, кривая 8).

Резкое уменьшение  $\mu_{eff}$  с минимумом при  $T \approx 100K$  наблюдается также в образцах, облученных сначала небольшими дозами ( $\Phi = 10^{11} cm^{-2}$ ) протонами, а затем электронами ( $\Phi = 10^{14} cm^{-2}$ ) (рис.3, кривая 3). По-видимому после облучения исследуемых образцов протонами дозой  $\Phi = 10^{11} cm^{-2}$ , в объеме кристалла кроме точечных РД образуется небольшое количество металлических включений, которые практически не влияют на подвижность электронов (рис.3, кривая 2), но создают локальные упругие напряжения кристаллической решетки. После облучения электронами в кристалле образуются первичные РД (ваканции – межузельные атомы). Неравновесные ваканции, по-видимому, устрем-

ляются к металлическим включениям [17]. Их определенная часть рекомбинирует с межузельными атомами металлических включений, а остальные вокруг этих включений создают непрозрачные для электронов проводимости оболочки, которые состоят из отрицательно заряженных  $A$ -центров,  $E$ -центров, дивакансий и других РД. Это приводит к превращению металлоподобных включений в квазидиэлектрические, рассеивающие электроны проводимости включений, что вызывает резкое уменьшение  $\mu_{eff}$  (рис.3, кривая 3).

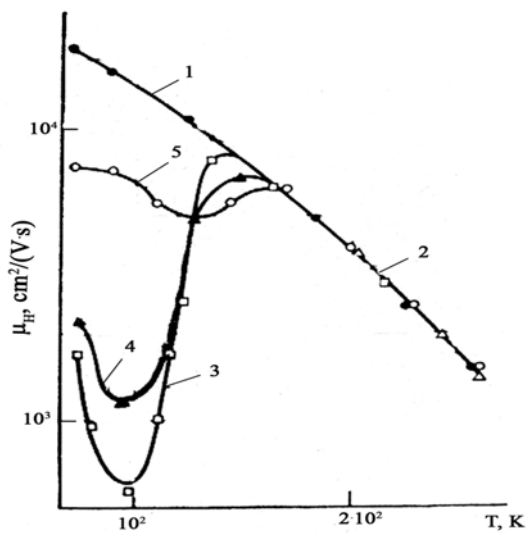


Рис.3. Температурная зависимость подвижности электронов в кристаллах  $n-Si$ , облученных протонами с энергией 25 МэВ (доза  $10^{11} cm^{-2}$ ) и электронами с энергией 2 МэВ (доза  $10^{14} cm^{-2}$ ):  
1 – исходная подвижность, 2 – после облучения протонами дозой  $\Phi = 10^{11} cm^{-2}$ , 3 – после облучения электронами – темноватая, 4 – с подсветкой  $h\nu = 0,17$  эВ и 5 – с подсветкой  $h\nu = 0,44$  эВ

При ИК подсветке с энергией  $h\nu = 0,17eV$  в процессе холловских измерений происходит деионизация  $A$ -центров. Соответственно уменьшается степень экранирования металлических включений, что приводит к увеличению  $\mu_{eff}$  в области  $100K$  (рис.3, кривая 4).

Фотовозбуждение электронов в зону проводимости с уровня  $E_C - 0,44eV$  приводит к увеличению  $\mu_{eff}$  в более широком интервале температур, т.к. Е-центры заряжены отрицательно в интервале  $77 - 300K$  (рис.3, кривая 5).

Полученные результаты лишний раз подтверждают мнение о том, что за экранирование металли-

ческих включений в основном ответственны  $A$  – и  $E$ -центры.

Существование минимума на кривой зависимости  $\mu_{eff}(T)$  объясняется зависимостью зарядового состояния экранирующих атомных кластеров оболочек от температуры измерения  $T$  и энергии электростатического взаимодействия  $\varepsilon$  между заряженными РД, которые создают экранирующую оболочку вокруг атомных кластеров. С уменьшением температуры измерения  $T$ , РД вокруг атомных кластеров начинают заряжаться отрицательно. Соответственно растет степень экранирования атомных кластеров, которые превращаются в квазидиэлектрические включения, что приводит к уменьшению  $\mu_{eff}$ . При определенной температуре энергия электростатического взаимодействия  $\varepsilon$  между отрицательно заряженными РД в оболочке становится больше, чем энергия ионизаций РД, и начинается их деионизация [8,18]. Соответственно, уменьшается степень экранирования атомных кластеров заряженными РД. Квазидиэлектрические включения опять превращаются в атомные кластеры с высокой проводимостью. Соответственно, растет  $\mu_{eff}$  и на кривой зависимости  $\mu_{eff}(T)$  появляется минимум.

### 3. ЗАКЛЮЧЕНИЕ

Для уточнения, какие именно радиационные дефекты ответственны за уменьшение холловской подвижности  $\mu_{eff}$  в облученных протонами с энергией 25 МэВ кристаллах  $n-Si$  при различных температурах, был использован метод фото-Холл-эффекта.

Проведенные исследования показали, что на селективное возбуждение  $E$  – центров ( $E_C = 0,44\text{eV}$ ) реагирует минимум на кривой зависимости  $\mu_{eff}(T)$  в области  $180K$ , а на возбуждение  $A$  – центров ( $E_C = 0,17\text{eV}$ ) – минимум при  $100K$ .

Полученные результаты подтверждают существующее мнение о том, что экранирование металлических включений в облученных протонами кристаллах  $n-Si$  в области фононного рассеяния происходит только  $E$  – центрами, а при низких температурах  $E$  – центрами и  $A$  – центрами. После полного отжига  $E$  –

центров ( $T_{ann} = 160^0C$ ) за существование минимума на кривой зависимости  $\mu_{eff}(T)$  ответственны только  $A$  – центры.

Существование минимума на кривой зависимости  $\mu_{eff}(T)$  объясняется зависимостью степени экранирования атомных кластеров от температуры измерения и энергии электростатического взаимодействия между заряженными РД, составляющих экранирующую оболочку вокруг атомных кластеров.

### ЛИТЕРАТУРА

1. J.R. Shroud, Ch.J. Marshall, P.W. Marshall. IEEE Trans. Nuclear Sci., 50(3), 653 (2003).
2. B.R. Gossik. J. Appl.Phys. 30, 1214 (1959).
3. Коноплева Р.Ф., Литвинов В.Л., Ухин Н.А. Особенности радиационного повреждения полупроводников частицами высоких энергий. Москва: Атомиздат, 1971.
4. Ухин Н.А. ФТП, 6, 831 (1972).
5. Кузнецов В.И., Лугаков П.Ф. ФТП, 13, 625 (1979).
6. Кузнецов В.И., Лугаков П.Ф. ФТП, 14, 1924 (1980).
7. Пагава Т.А., Майсурадзе Н.И. ФТП, 44, 160 (2010).
8. Пагава Т.А., Майсурадзе Н.И., Беридзе М.Г. ФТП, 45, 582 (2011).
9. Пагава Т.А., Беридзе М.Г., Майсурадзе Н.И. ФТП, 46, 1274 (2012).
10. Милевский Л.С., Гарнык В.С. ФТП, 13, 1369 (1979).
11. Козлов В.А., Козловский В.В. Обзор. ФТП, 5, 769 (2001) стр.784.
12. Вавилов В.С., Киселев В.Ф., Мукашев Б.Н. Дефекты в кремни и на его поверхности. Москва: Наука, 1990г. стр. 75.
13. Милевский Л.С., Ткачева Т.М., Пагава Т.А. ЖЭТФ, 69, 132 (1975).
14. Кучис Е.В. Гальваномагнитные эффекты и методы их исследования. Москва: Радио и связь, 1990.
15. Безлюдный С.В., Колесников И.В. ФТП, 10, 1964 (1976).
16. Пагава Т.А., Чхартишвили Ч.С. УФЖ, 48, 232 (2003).
17. Антонова И.В., Шаймиев С.С., Смагулова С.Ф. ФТП, 40, 557 (2006).
18. W.T. Read. Phil. Mag., 45, 775 (1954).

შაპ 624.042.7.519.21

**მაღალენერგეტიკული პროტონებით დასხივებული n-Si კრისტალების  
გამოკვლევა ფოტო-ჰოლის ეფექტის მეთოდით**

თ. ფადავა, ნ. მაისურაძე, მ. ბერიძე, ი. კალანდაძე, ნ. ესიავა

საინჟინრო ფიზიკის დეპარტამენტი, საქართველოს ტექნიკური უნივერსიტეტი, საქართველო, 0175,  
თბილისი, მ. კოსტავას 77

**რეზიუმე:** გამოსაკვლევ  $n - Si$  კრისტალებს კონცენტრაციით  $N = 6 \cdot 10^{13}$  სმ $^{-3}$ , ვასხივებდით 300 K-ზე 25 მგევ ენერგიის პროტონებით. კვლევისათვის ვიყენებდით ფოტო-ჰოლის ეფექტის მეთოდს. აღმოჩნდა, რომ დასხივებულ კრისტალებში ელექტრონების ძვრადობა ანომალიურად მაღალია, რაც დაკავშირებულია კრისტალის მოცულობაში მატრიცასთან შედარებით მაღალი გამტარებლობის ჩანართების გაჩენასთან. ეს ჩანართები კრისტალის მატრიცასთან საზღვარზე წარმოქმნიან ომურ გადასასვლელს. იზოქრონული გამოწვისას გარკვეულ ტემპერატურაზე ძვრადობა მკვეთრად მცირდება. ძვრადობის მნიშვნელობა კრისტალზე გარკვეული ენერგიის ინფრაწილები სინათლის ზემოქმედების შედეგად იზრდება. როგორც ჩანს, კრისტალის განათება იწვევს ელექტროსტატიკურ ურთიერთქმდებაში მყოფი დრმა ცვნილების დეონიზაციას, რომლებიც იზოქრონული გამოწვის პროცესში წარმოიქმნებიან მეტალური ჩანართების ირგვლივ და იწვევენ მის ეკრანირებას. ეკრანირების შედეგად „მეტალური“, ჩანართები გარდაიქმნება კვაზიდიელექტრიკულ ჩანართებად. ნაჩვენებია, რომ „მეტალური“ ჩანართების ეკრანირებას ძირითადად იწვევს A და E ცენტრები.

**საკვანძო სიტყვები:** მაღალენერგიული პროტონი; ფოტო-ჰოლის ეფექტის მეთოდი; A და E ცენტრები.

UDC 624.042.7.519.21

**INVESTIGATION OF n-Si CRYSTALS IRRADIATED BY HIGH-ENERGY PROTONS THROUGH THE PHOTO-HALL METHOD**

**T. Paghava, N. Maisuradze, M. Beridze, I. Kalandadze, N. Esiava**

Department of engineering physics, Georgian Technical University, 77, M. Kostava str, Tbilisi, 0175, Georgia

**Resume:** The  $n - Si$  crystals to be investigated having the concentration of  $N = 6 \cdot 10^{13} \text{ cm}^{-3}$ , have been irradiated by the protons with the energy of 25Mw at 300K. For investigation we used the photo-Hall method. It has become clear, that in the irradiated crystals the electron mobility was anomalous high, which is connected with appearing of inclusions of high conductivity in the crystal volume, in comparison to matrix. These inclusions create the ohmic transitions on the boundary of crystal matrix. During the isochronous annealing the mobility at definite temperature is sharply decreased. The value of mobility on the crystal is increased, as a result of infra-red light of definite energy. As it is evidently illumination of the crystal causes the deionization of deep centers being in electrostatic interrelation, which are formed around the metal inclusions in the process of isochronal annealing and cause its screening. As a result of screening the “metal” inclusions are transformed into quasi-dielectric ones. There is shown, that the screening of “metal” inclusions have been mainly caused by the A – and E – centers.

**Key words:** high-energy protons; method of photo-Hall effect; infra-red illumination A and E centers.

მიღებულია დასაბუქდავ 19.03.14

UDC 549.521.61

## INFLUENCE OF STRONTIUM CARBONATE PARTICLES ON THE MAGNETIC PROPERTY OF SAMARIUM MANGANITE

**M. Metskhvarishvili\*, M. Beridze, I. Kalandadze, K. Baramidze**

Department of Engineer Physics, Georgian Technical University, 77, M. Kostava str, Tbilisi, 0175, Georgia

E-mail: magdametsk@yahoo.com

**Resume:** There is investigated temperature dependence of linear and nonlinear susceptibilities for the Sr-doped samples of  $\text{Sm}_{1-x}\text{Sr}_x\text{MnO}$  ( $0.25 \leq x \leq 0.45$ ), which was prepared by the solid-state reaction method. Given results show that maximal resistivity was obtained by the small doses of samarium-Sr-substitution.

**Key words:** solid-state reaction; doping; linear and nonlinear susceptibilities; electric resistivity.

### 1. INTRODUCTION

Nowadays intensively are investigated  $\text{RE}_{1-x}\text{A}_x\text{MnO}_3$  ( $\text{RE} = \text{Pr, Nd, Sm}; \text{A} = \text{Ca, Ba, Sr, and et. al.}$ ) materials due to its colossal magnetoresistance (CMR) effect, which are observed in the range of  $0 < x < 1$  concentrations, where the ferromagnetic phase is appearing [1].

Many researchers [2-10] are showing that  $\text{RE}_{1-x}\text{A}_x\text{MnO}_3$  compound is unique due to its proximity to the charge order/orbital order (CO/OO) instability and shows the most abrupt insulator metal transition (IMT) and the most prominent magnetocaloric effect. The ground states of  $\text{RE}_{1-x}\text{A}_x\text{MnO}_3$  are ferromagnetic metallic (FMM) for  $0.3 < x < 0.52$  and antiferromagnetic insulating (AFMI) for  $x > 0.52$ . Colossal magnetoresistance (CMR) is observed at all the compositions corresponding to the FMM ground state. Near half doping ( $0.45 < x < 0.52$ ), very sharp (first order) transitions from paramagnetic insulating (PMI) to the FMM state are observed.

Unlike the above-mentioned works, the aims of our studies are investigations of the effect of doping of difference value of strontium carbonate on resistivity and magnetic properties of  $\text{Sm}_{1-x}\text{Sr}_x\text{MnO}$  system.

### 2. THE BODY OF THE ARTICLE

#### experiment

The Sr-doped samples of  $\text{Sm}_{1-x}\text{Sr}_x\text{MnO}$  ( $0.25 \leq x \leq 0.45$ ) were prepared by the solid-state reaction method. Desired ratios of the mixture of  $\text{Sm}_2\text{O}_3$ ,  $\text{SrCO}_3$  and Mn metal powder were pelletized and were heated at  $1100^\circ\text{C}$  for 7

days in air into the muffle furnace (KSL-1100X-S, MTI-corporation, temperature accuracy  $\pm 1^\circ\text{C}$ ). After grinding the received products were pressed as pallet under a pressure of 200 MPa by hydromatic press (Holzmann-maschinen, Type: WP 10H). The pallets were heated again at the same temperature for 7 days in air and then were slowly cooled to room temperature.

Obtained specimens were identified by X-ray diffractometer (XRD, Dron-3M) with  $\text{CuK}\alpha$  radiation. Measurements of linear susceptibility were carried out in the case, when collinear constant and variable fields  $H(t) = H + h\cos\omega t$  were applied to the sample. High harmonics measurements errors were  $\sim 2\%$ , when the measured signal was less, than  $0.2 \mu\text{V}$ . However, the error does not exceed 0.5% for higher amplitudes [9]. The phase method was used to study the real parts of the linear susceptibility [10]. The errors in the determination of  $\chi'$  at the higher frequencies, than 1 kHz do not exceed 1%.

#### Result and discussion

second harmonic  $\chi_2$  were carried out in the collinear constant ( $H$ ) and variable ( $h \approx 450\text{e}$ ) magnetic fields (basic frequency was  $f = 15.7 \text{ MHz}$ ) on the device described in [9, 10]. Signal of second harmonic exists because of nonlinear characteristics of presented samples. Constant field was changed from  $-300 \text{ Oe}$  till  $+300 \text{ Oe}$  and simultaneously was registered real  $\text{Re}\chi_2(H)$  part of second harmonics of susceptibility. On the fig. 1 there is presented dependence of  $\text{Re}\chi_2$  from  $T$ .

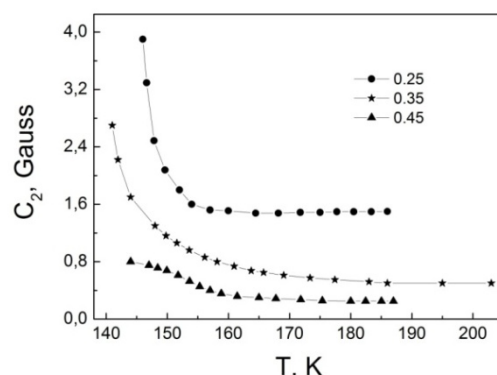


Fig. 1. Temperature dependence of second harmonics for  $\text{Sm}_{1-x}\text{Sr}_x\text{MnO}_3$  samples with,  $x=0.25$ ,  $x=0.35$ ,  $x=0.45$ .

Temperature dependence of real parts of linear susceptibilities  $\chi'(T)$  of  $Sm_{1-x}Sr_xMnO_3$  samples with  $x = 0.25$ ,  $x = 0.35$ ,  $x = 0.45$  concentration of doping of  $SrCO_3$  particles on the  $H = 0$  in the temperature range of  $60 - 240 K$  was received and presented on the fig. 2. On the  $60 - 110 K$  area of temperature behaviors of these samples are the same, but from  $125 K$  they are different. Temperature region of difference is lying in the range of  $110 - 130 K$ . Upper to  $130 K$  amount of  $\chi'$  is depending on the  $x$ . The image of  $\chi'(T)$  also is determined by level of doping. In the paper there is determined Curie temperature, which is characteristic of ferromagnets and antiferromagnets. On the temperature range  $90 - 110 K$   $\chi'(T)$  dependences for all samples are closing and for  $T < 90 K$  achieve maximums. Experimental determination of the temperature, at which the sample undergoes a transition to the magnetically ordered state, is the most complex problem.

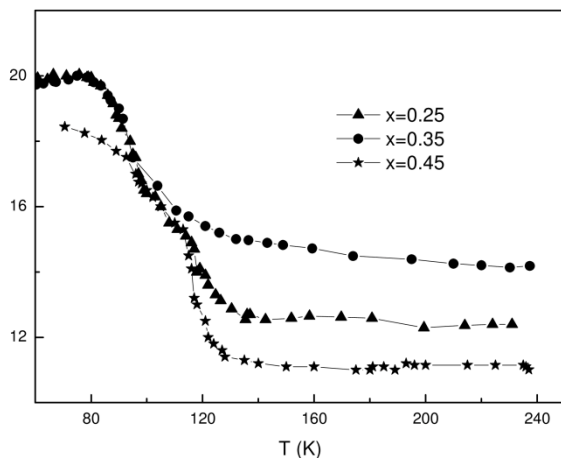


Fig. 2. Temperature dependences of real parts of susceptibility for  $Sm_{1-x}Sr_xMnO_3$  samples when  $x = 0.25, x = 0.35, x = 0.45$ .

In such complex magnets as manganites, the transition occurs over a rather wide temperature range and the Curie point is usually taken as either the temperature corresponding to a maximum of the derivative of the susceptibility with respect to temperature [11] or the temperature of the onset of a sharp increase in the susceptibility [12]. The temperature corresponding to the onset of a sharp increase in the linear susceptibility was taken as the temperature of the magnetic phase transition. The Curie point thus determined is equal to approximately  $90 K$  for the sample with  $x = 0.25$ ;  $125 K$  for the sample with  $x = 0.35$  and for the sample with  $x = 0.45$  is equal to approximately  $122 K$ .

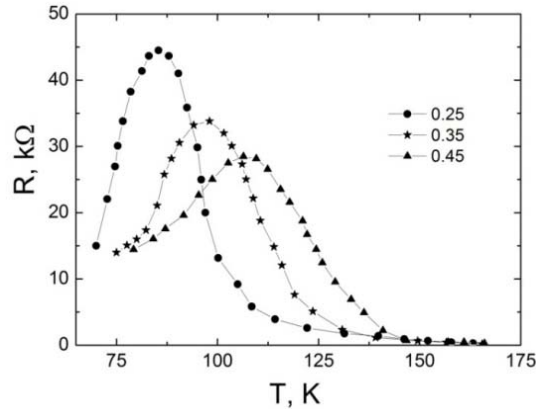


Fig. 3. Temperature dependences of resistivity for the  $Sm_{1-x}Sr_xMnO_3$  samples, when  $x=0.25, x=0.35, x=0.45$ .

The resistivity of the samples with  $x = 0.25, x = 0.35$  and  $x = 0.45$  was measured in the temperature range  $60 - 180 K$ .  $R(T)$  dependences show - that maximums are depending on  $x$ . With increasing of  $x$  maximums are decreasing. For the samples with  $x = 0.25, x = 0.35$  and  $x = 0.45$  maximums are arranging on the  $85 K, 100 K, 116 K$  temperatures respectively.

### 3. CONCLUSION

We have investigated of the effect of  $SrCO_3$  doping on  $Sm_{1-x}Sr_xMnO_3$  ( $x=0.25, 0.35, 0.45$ ). In this system which has been studied the linear and nonlinear susceptibilities and electrical resistivity. We found, that in the low level doped samples ( $x = 0.25$ ),  $SrCO_3$  enhances the value of the electrical resistivity. Maximal value of resistivity was received at  $T = 85 K$  temperature for  $x = 0.25$  and with increasing of  $x$ , maximal value of the electrical resistivity was decreasing and pick shift on high temperature.

### References

- Изюмов Ю. А., Скрябин Ю. Н. Успехи физических наук, 2, (2001), 121.
- T. Ohtani, K. Kuroda, K. Matsugami, D. Katoh. Journal of the European Ceramic Society 20 (2000) 2721-2726.
- Manoj K. Srivastava and et al. Applied physics letters 97, 182503, 2010.
- Y. Tomioka, H. Hiraka, Y. Endoh, and Y. Tokura, Phys. Rev. B 74, 104420 (2006).
- M. Egilmez, K. H. Chow, J. Jung, I. Fan, A. I. Mansour, and Z. Salman, Appl. Phys. Lett. 92, 132505 (2008).
- A. Rebello and R. Mahendiran, Appl. Phys. Lett. 93, 232501 (2008).
- P. Sarkar, P. Mandal, and P. Choudhury, Appl. Phys. Lett. 92, 182506 (2008).

- 
8. M. Egilmez, K. H. Chow, J. Jung, and Z. Salman, Appl. Phys. Lett. 90, 162508 (2007).
9. I. Metskhvarishvili, J. Low Temp. Phys. 155, (2009) 153.
10. I. Metskhvarishvili, G. Dgebuadze, B. Bendeliani, M. Metskhvarishvili, T. Lobzhanidze, G. Mumladze, J. Low Temp. Phys. 170 (2013) 68–74.
11. F. Damay, N. Nguyen, A. Maignan, et al., Solid State Commun. 98 (11), 997 (1996).
12. A. Maignan, C. Martin, F. Damay, et al., Phys. Rev. B: Condens. Matter 58 (5), 2758 (1998).
- 

**უაკ 549.521.61**

**სტუდიუმის პარტნერის ნაწილაკების გავლენა სამარიუმის მანგანიტის მაბნიტურ თვისებებზე**

**მ. მეცხვარიშვილი, მ. ბერიძე, ი. კალანდაძე, ქ. ბარამიძე**

საინჟინრო ფიზიკის დეპარტამენტი, საქართველოს ტექნიკური უნივერსიტეტი, საქართველო, 0175, თბილისი, მ. კოსტავა 77

**რეზიუმე:** გამოკვლეულია მყარფაზური მეთოდით მომზადებული  $\text{Sr}$ -ით დოპირებული  $\text{Sm}_{1-x}\text{Sr}_x\text{MnO}$  ( $0.25 < x < 0.45$ ) ნიმუშის წრფივი და არაწრფივი ამთვისებლობისა და ელექტრული წინაღობის ტემპერატურაზე დამოკიდებულება. მიღებულმა შედეგებმა გვიჩვნა, რომ მაქსიმალური წინაღობა მიღება სამარიუმის  $\text{Sr}$ -ის მცირე დოზით ჩანაცვლების შედეგად.

**საკვანძო სიტყვები:** მყარფაზური რეაქცია; დოპირება; წრფივი და არაწრფივი ამთვისებლობა; ელექტრული წინაღობა.

---

**УДК 549.521.61**

**ВЛИЯНИЕ ЧАСТИЦ КАРБОНАТА СТРОНЦИЯ НА МАГНИТНЫЕ СВОЙСТВА МАНГАНИТА  
САМАРИЯ**

**Мецхваришвили М.Р., Беридзе М.Г., Каландадзе И.Г., Барамидзе К.К.**

Департамент инженерной физики, Грузинский технический университет, Грузия, 0175, Тбилиси, ул. М. Костава 77

**Резюме:** В работе исследован эффект допирования стронция на образцы  $\text{Sm}_{1-x}\text{Sr}_x\text{MnO}$  ( $0.25 \leq x \leq 0.45$ ), которые были приготовлены методом твердофазной реакции. Была изучена зависимость линейной и нелинейной восприимчивости и электрического сопротивления от температуры. Полученные результаты показали, что максимальное сопротивление было получено при подмене самария малой дозой стронция.

**Ключевые слова:** твердофазная реакция; допирование; линейная и нелинейная восприимчивость; электрическое сопротивление.

---

*მიღებულია დასაბუქდად 14.03.14*

## ავტორთა საძიებელი

### Author's index

### Указатель авторов

ბაგრატიონ-დაგიოთაშვილი გ.	51	ტუშელაშვილი გ.	36	Motsnelidze A.	12
ბახილაძე გ.	44	ფაილოძე ნ.	55	Беридзе М.Г.	61
გალდავა ლ.	9	ქაჯაია ნ.	21	Каландадзе И.Г.	61
გახოვიძე რ.	44	ქ'ოთათელაძე თ.	51	Канделаки А.З.	28
გიურგაშვილი ს.	17	ღვაწლიანი ბ.	40	Майсурадзе Н.И.	28
გუგულაშვილი გ.	40	ღვაწლიანი ვ.	40	Майсурадзе Н.И.	61
თალაკვაძე ვლ.	44	ხოშბარია გ.	48	Мебония С.А.	32
კობიაშვილი ა.	55	ჯანაშვილი გ.	21	Микадзе Г.О.	28
კუჭუბიძე დ.	17	ჯაფარიძე ნ.	21	Микадзе О.И.	28
მებონია ა.	36	ჯაფარიძე ზ.	48	Нахуцришвили И.Г.	28
მეგრელიძე გ.	46	Baramidze K.	68	Пагава Т.А.	61
მეგრელიძე თ.	40, 44	Beridze M.	68	Папава К.Г.	32
მურლულია ნ.	17	Galdava L.	12	Тутберидзе А.И.	32
რამაზაშვილი პ.	55	Kalandadze I.	68	Эсиавა Н.А.	61
სადადაშვილი გ.	40	Metskhvarishvili M.	68		

## ავტორთა საყურადღებოდ!

საქართველოს ტექნიკური უნივერსიტეტის სამეცნიერო შრომების კრებული არის რეფერირებული პერიოდული გამოცემა, რომელიც გამოიცემა წელიწადში ოთხჯერ (პირველი ნომერი მოიცავს პერიოდს 1 იანვრიდან 31 მარტამდე, მეორე ნომერი – 1 აპრილიდან 30 ივნისამდე, მესამე ნომერი – 1 ივლისიდან 30 სექტემბრამდე და მეოთხე – 1 ოქტომბრიდან 31 დეკემბრამდე).

კრებულის დანიშნულებაა მეცნიერების განვითარების ხელშეწყობა, მეცნიერთა და სპეციალისტთა მიერ მოპოვებული ახალი მიღწევების, გამოკვლევათა მასალებისა და შედეგების ოპერატიულად გამოქვეყნება.

სტატიების მიღება შეიძლება ქართულ, ინგლისურ და რუსულ ენებზე (ქვეყნდება ორიგინალის ენაზე).

ავტორს შეუძლია მხოლოდ ორი სტატიის მოწოდება.

საქართველოს ტექნიკური უნივერსიტეტის თანამშრომელთათვის სტატიის გამოქვეყნება უფასოა.

სტატიის ავტორთა რაოდენობა ხუთს არ უნდა აღემატებოდეს.

კრებულში ქვეყნდება სტატიები ახალი მეცნიერული კვლევების შედეგების შესახებ შემდეგი თეორიული და გამოყენებითი დარგების მიხედვით:

- მშენებლობა
- ენერგეტიკა, ტელეკომუნიკაცია
- სამთო-გეოლოგია
- ქიმიური ტექნოლოგია, მეტალურგია
- არქიტექტურა, ურბანისტიკა, დიზაინი
- ინფორმატიკა, მართვის სისტემები
- ტრანსპორტი, მანქანათმშენებლობა
- ბიზნესინჟინერინგი
- ნაგებობების, სპეციალური სისტემებისა და საინჟინრო უზრუნველყოფის ინსტიტუტი

გთავაზობთ სამეცნიერო სტატიის გაფორმების წესს:

- ნაშრომის მოცულობა განისაზღვრება A4 ფორმატის ქაღალდის 1,5 ინტერვალით ნაბეჭდი 5-7 გვერდით (მინდვრები 2 სმ) ნახაზების, გრაფიკების, ცხრილების და ლიტერატურის ჩამონათვალით;
- სტატია შესრულებული უნდა იყოს DOC ფაილის სახით (MS-Word) ჩაწერილი ნებისმიერ მაგნიტურ მატარებელზე;

- ქართული ტექსტისთვის გამოიყენეთ შრიფტი – Acadnusx, ზომა 12;
- ინგლისური და რუსული ტექსტის შრიფტი – Times New Roman, ზომა 12;
- სტატიის თავი უნდა შეიცავდეს შემდეგ ინფორმაციას:
  - უაკ-ს (უნივერსალური ათწილადი კლასიფიკაცია);
  - ავტორის/ავტორების სახელს, მამის სახელს, გვარს;
  - ავტორის/ავტორების ელექტრონული ფოსტის მისამართს და საკონტაქტო ტელეფონს;
  - დეპარტამენტის დასახელებას სამივე ენაზე;
  - საკვანძო სიტყვებს სამივე ენაზე.
- სტატიაში ქვესათაურებით გამოკვეთილი უნდა იყოს შესავალი, ძირითადი ნაწილი და დასკვნა;
- ნახაზების ან ფოტოების კომპიუტერული ვარიანტი შესრულებული უნდა იყოს TIFF ფორმატში გარჩევადობით 150 dpi;
- სტატიას უნდა ახლდეს რეზიუმე ქართულ, ინგლისურ და რუსულ ენებზე;
- სტატია შედგენილი უნდა იყოს წიგნიერად, სწორმეტყველებისა და ტერმინოლოგიის დაცვით, სტილისტური და ტექნიკური შეცდომების გარეშე;
- ავტორი/ავტორები პასუხს აგებს სტატიის შინაარსსა და ხარისხზე.

გთავაზობთ სტატიის წარმოდგენისთვის საჭირო დოკუმენტაციის ჩამონათვალს:

- ორი რეცენზია;
- ფაკულტეტის სწავლულ ექსპერტთა დარგობრივი კომისიის სხდომის ოქმის ამონაწერი;
- ფაკულტეტის ან მიმართულების სემინარის ოქმის ამონაწერი.

## To the authors attention!

Transactions of Georgian Technical University represents reviewed, periodical edition, which there is published four times in year. (the first number includes the period from 1 January to 31 March, the second number - from 1 April to 30 June, the third number - from 1 July to 30 September and the fourth - from 1 October to 31 December).

Purpose of collection is assistance of science development, new achievements of scientists and specialists, operative publication materials and results of scientific researches.

The articles are accepted in Georgian, English and Russian languages (are published in original language).

Author is allowed to present only two articles.

The publication of articles for the workers of Georgian Technical University is free of charge.

The amount of authors of article mustn't exceed 5.

In transactions are published articles about new results of scientific researches according to the following theoretical and applied sphere:

- Building
- Energetics, telecommunication
- Mining-geology
- Chemical technology, metallurgy
- Architecture, urbanist, design
- Informatic, systems of management
- Transport, engineering industry
- Business-engineering
- Institute of buildings, special systems and engineering maintenance

There is offered the rule of official registration of scientific articles:

- The volume of work is determined A4 paper size at 1,5 line spacing 5-7 printed page (margins - 2cm) draughts, diagrams, tables and a list of literature;
- The article should be carried out in form file DOC (MS-WORD), written down on any magnetic carrier;
- For Georgian text is used Acadnusx font, size 12;
- For English and Russian texts is used font - Times New Roman, size 12;

- The beginning of the article should contain the following informations:
  - UDC (Universal Decimal Classification);
  - Name, surname, of author/authors;
  - E-mail and contact telephone of author/authors;
  - The name of department in all three languages;
  - Key words in all three languages.
- In the article with subtitles should be isolated introduction, the body of the article and conclusion;
- Computer version of pictures or photos must be done in size TIFF with the recognition 150 dpi;
- The article should have resume in Georgian, English and Russian languages;
- The article should be written correctly, with the observance terminology, without stylistic and grammatical mistakes;
- Author/authors are responsible for content and quality of article.

There is offered the following documentation for the article presentation:

- Two reviews;
- Extract from the minutes of a branch commission meeting of faculty learned experts;
- Extract from the seminar minutes of faculty or direction.

## К сведению авторов!

Сборник научных трудов Грузинского технического университета является реферированным периодическим изданием, которое выходит в свет четыре раза в год (первый номер включает период с 1 января по 31 марта, второй номер – с 1 апреля по 30 июня, третий номер – с 1 июля по 30 сентября и четвертый – с 1 октября по 31 декабря).

Назначение сборника – содействие развитию наук, новых достижений ученых и специалистов, оперативная публикация материалов и результатов исследований.

Принимаются статьи на грузинском, английском и русском языках (публикуются на языке оригинала).

Автор может представить только две статьи.

Для сотрудников Грузинского технического университета статьи публикуются бесплатно.

Количество авторов статьи не должно превышать 5.

В сборнике печатаются статьи, касающиеся новых результатов исследований по следующим теоретическим и прикладным отраслям:

- Строительство
- Энергетика, телекоммуникации
- Горное дело-геология
- Химическая технология, металлургия
- Архитектура, урбанистика, дизайн
- Информатика, системы управления
- Транспорт, машиностроение
- Бизнес-инженеринг
- Сооружения, специальные системы, инженерное обеспечение

Предлагаем порядок оформления научных статей:

- Объем работы определяется форматом бумаги А4 с интервалом 1,5, 5-7 печатными страницами (поля = 2см), с перечислением рисунков, графиков, таблиц и списка литературы;
- Статья должна быть выполнена в виде файла DOC (MS-Word), записанного на любом магнитном носителе;
- Для грузинского текста используется шрифт Acadnusx, размер 12;
- Для английского и русского текстов – шрифт Times New Roman, размер 12;
- В начале статьи должна содержаться следующая информация:
  - УДК (Универсальная десятичная классификация);
  - Фамилия, имя, отчество автора/авторов;

- Адрес электронной почты автора/авторов и контактный телефон;
- Название департамента на трех языках;
- Ключевые слова на трех языках.
- В статье подзаголовками следует выделить введение, основную часть и заключение;
- Компьютерный вариант рисунков или фото должен быть выполнен в формате TIFF распознаванием 150 dpi;
- Статья должна иметь резюме на грузинском, английском и русском языках;
- Статья должна быть написана грамотно, с соблюдением терминологии, без стилистических и грамматических ошибок;
- Автор/авторы ответствен/ы за содержание и качество статьи.

Для представления статьи необходимы следующие документы:

- Две рецензии;
- Выписка из протокола заседания отраслевой комиссии ученых экспертов факультета;
- Выписка из протокола семинара факультета или направления.

რედაქტორები: მ. ბაზაძე, დ. ქურიძე, მ. პრეობრაჟენსკაია  
კომპიუტერული უზრუნველყოფა ე. ქარჩავასი

გადაეცა წარმოებას 07.04.2014. ხელმოწერილია დასაბეჭდად 19.06.2014. ბეჭდვა  
ოფსეტური. ქაღალდის ზომა 60X84 1/8. პირობითი ნაბეჭდი თაბაზი 4,5. ტირაჟი 100 ეგზ.

საგამომცემლო სახლი „ტექნიკური უნივერსიტეტი“, თბილისი, კოსტავას 77

